

الله أكْرَمُ الْعِزَّةِ



دانشکده: فیزیک

گرایش: ذرات بنیادی

## مطالعه اتلاف انرژی کوارک سنگین با استفاده از سیاهچاله های RN

دانشجو: حسن نیازی

استاد راهنما :

کاظم بی تقصیر فدافن

پایان نامه ارشد جهت اخذ درجه کارشناسی ارشد

بهمن ماه ۱۳۹۰

بے یاد مادر بزرگ...

بپاس تعبیر عظیم و انسانی شان از گمه ایثار و از خودگذشتگی

بپاس قلب های بزرگشان که فریادرس است و سرگردانی و ترس در پناهشان به شجاعت می گردید

بپاس عاطفه سرشار و گرمای امید نخش وجودشان که داین سردرین روزگاران بهترین پیشان است

و بپاس محبت های بی دینشان که حرگز فروکش نمی کند

این مجموعه را به خانواده عزیزم تقدیم می کنم

با سپاس بیکران از پروردگار یگانه که به ما سلامتی و سربلندی عطا کرده و خرد هوشی در نهادمان قرار داد تا جهت درک پیچیدگی ها و زیبایی های آفرینش ، قدمی بسیار کوچک برداریم.

درود بیکران خداوند و بندگان راست کردارش به روح تمامی کسانی که در طول تاریخ در راه آگاهی بخشیدن به انسان تلاش و کوشش کرده و خود را وقف مبارزه با جهل و کج فهمی ها کرده اند.

سپاس از تلاش و کوشش خستگی ناپذیر استاد ارجمند و فرهیخته ، جناب آقای دکتر کاظم بی تقصیر فدافن که در این مدت با روی گشاده و حوصله بسیار ، راهنمایی های ارزشمند خود را از بندۀ دریغ نداشته و همیشه وقت ارزشمند خود را برای پیشبرد این رساله در اختیار بندۀ قرار دادند.

سپاس بیکران از اساتید داور ، جناب آقای دکتر حسین موحدیان و جناب آقای دکتر محمد علی اکبری که قبول زحمت کرده و داوری این رساله را به عهده گرفتند.

سپاس بیکران از اساتید خوبیم ، جناب آقای دکتر حسین موحدیان و جناب آقای دکتر حسن حسن آبادی که من را با حقایقی تازه و بکر از دانش فیزیک در طی این دوره آشنا نموده و من را با منش انسانی خود برای همیشه وامدار خود نمودند.

در پایان لازم می دانم از دوستان بسیار خوبیم که در این مدت بسیار از آنها آموختم ، تشکر و قدردانی کنم ، به ویژه از زحمات آقای احسان عظیم فرد که در این مدت مرا شرمنده خود ساختند سپاس ویژه دارم.

## تعهدنامه

اینجانب حسن نیازی دانشجوی دوره کارشناسی ارشد رشته فیزیک ذرات بنیادی دانشکده

فیزیک دانشگاه صنعتی شاهرود نویسنده پایان نامه : مطالعه اتلاف انرژی کوارک سنگین با

استفاده از سیاهچاله های RN تحت راهنمایی های دکتر کاظم بی تقصیر فدافن معهد می شوم:

- تحقیقات در این پایان نامه توسط اینجانب انجام شده است و از صحت و اصالت برخوردار است.
- در استفاده از نتایج پژوهش های محققان دیگر به مرجع مورد استفاده استناد شده است.
- مطالب مندرج در پایان نامه تا کنون توسط خود یا فرد دیگری برای دریافت هیچ نوع مدرک یا امتیازی در هیچ جا ارائه نشده است.
- کلیه حقوق این اثر متعلق به دانشگاه صنعتی شاهرود می باشد و مقالات مستخرج با نام «دانشگاه صنعتی شاهرود» و یا «Shahrood University of Technology» به چاپ خواهد رسید.
- حقوق معنوی تمام افرادی که در به دست آمدن نتایج اصلی پایان نامه تاثیرگذار بوده اند در مقالات مستخرج از پایان نامه رعایت می گردد.
- در کلیه مراحل انجام این پایان نامه، در مواردی که از موجودات زنده (یا بافت های آنها) استفاده شده است ضوابط و اصول اخلاقی رعایت شده است.
- در کلیه مراحل انجام این پایان نامه، در مواردی که به حوزه اطلاعات شخصی افراد دسترسی یافته یا استفاده شده است اصل رازداری، ضوابط و اصول اخلاقی رعایت شده است.

## تاریخ

## امضای دانشجو

### مالکیت نتایج و حق نشر

- کلیه حقوق معنوی این اثر و محصولات آن ( مقالات مستخرج، کتاب، برنامه های رایانه ای، نرم افزارها و تجهیزات ساخته شده ) متعلق به دانشگاه صنعتی شاهرود می باشد. این مطلب باید به نحو مقتضی در تولیدات علمی مربوطه ذکر شود.
- استفاده از اطلاعات و نتایج موجود در پایان نامه بدون ذکر مرجع مجاز نمی باشد.

## چکیده

با استفاده از نظریه ریسمان و دوگانی  $AdS/CFT$  سیاهچاله های فرینه  $RN$  به تازگی در مطالعات اخیر مربوط به سیستم های چگال الکترونی با همبستگی قوی بسیار مورد توجه قرار گرفته اند. در این موارد دمای نظریه میدان صفر است. در این پایان نامه انرژی اتلافی یک ذره سنگین در  $RN$  نظریه میدان و در دمای صفر مطالعه میشود. دوگان گرانشی مورد نظر سیاهچاله های فرینه  $RN$  هستند که در حالت مجانبی به فضا زمان با انحنای منفی یا همان  $AdS$  ختم میشوند. هر چند دما صفر است ولی آنتروپی سیستم مخالف صفر است و نتایج نهایی بر حسب این کمیت و پتانسیل شیمیابی بیان می شوند. زمان و اهلش، ضریب اصطکاک و نیروی کششی وارد بر ذره به دقت محاسبه شده اند. سپس اثر تصحیحات گرانشی که معادل با تصحیح ثابت جفتیدگی در نظریه میدان مورد نظر میباشد به دقت مطالعه شده اند و وابستگی آن ها به این تصحیحات بدست آمده اند.

## لیست مقالات مستخرج از پایان نامه

- ۱- دکتر کاظمی تقسیر فدافن ، حسن نیازی "مطالعه اتلاف انرژی کوارک سنگین در دمای صفر با استفاده از سیاهچاله های فرینه" اولین کنفرانس فیزیک ذرات بنیادی (دانشگاه یزد)، ۶-۷ بهمن ماه ۱۳۸۹
- ۲- دکتر کاظمی تقسیر فدافن ، حسن نیازی "مطالعه زمان و اهلش کوارک سنگین با استفاده از نظریه ریسمان" دومین کنفرانس فیزیک ذرات و میدانها (دانشگاه سمنان) ۳-۲ آذرماه ۱۳۹۰

## فهرست مطالب

### فصل اول (آشنایی با نظریه ریسمان)

۳	۱- وحدت نیروها
۷	۱-۲- وحدت نیروها و گرانش
۱۰	۱-۳- سر منشا نظریه ریسمان
۱۰	۱-۴- نظریه ریسمان ، داوطلب نظریه وحدت بزرگ
۱۳	۱-۵- معرفی شامه ها در نظریه ریسمان
۱۴	۱-۶- معرفی جهان سطح و فضای هدف
۱۶	۱-۷- دوگانی ها در نظریه ریسمان
۱۷	$T$ -۱-۱- دوگانی
۲۰	$S$ -۱-۲- دوگانی
۲۱	۱-۸- کنش ریسمان غیر نسبیتی
۲۲	۱-۹- کنش ذره نسبیتی
۲۵	۱-۱۰- کنش ریسمان نسبیتی
۲۷	۱-۱۱- معادلات حرکت ریسمان نسبیتی

### فصل دوم ( $AdS / CFT$ )

۳۱	۲-۱- فضای آنتی دوسیته
۳۲	۲-۲- نظریه میدان همدیس
۳۳	۲-۲-۱- تقارن همدیس
۳۳	۲-۲-۲- تبدیلات همدیس
۳۴	۲-۳- اصل هولوگرافی
۳۵	۲-۴- دوگانی ( $AdS / CFT$ )
۳۷	۲-۵- نگاشت بین پارامترهای نظریه ریسمان و نظریه ابر تقارنی یانگ - میلز

### فصل سوم (نظریه ریسمان و تعیین نیروی کششی وارد بر کوارک)

۴۲	۳-۱- محاسبه نیروی کششی با استفاده از معادلات حرکت ریسمان
۴۲	۳-۱-۱- تاریخچه
۴۴	۳-۱-۲- مقدمه
۴۵	۳-۲- محاسبات در ابعاد مختلف
۴۵	۳-۲-۱- محاسبات در دو بعد فضا زمانی
۴۶	۳-۲-۲-۱- دمای غیر صفر
۴۶	۳-۲-۲-۱- دمای صفر

.....۵۴	- محاسبات در سه بعد فضا زمانی
.....۵۵	- محاسبات در چهار بعد فضا زمانی
.....۵۵	- دمای صفر
.....۶۲	- دمای غیر صفر
.....۷۱	- محاسبات در چهار بعد با در نظر گرفتن تصحیحات گاوس بونت
.....۷۱	- محاسبات در دمای غیر صفر
.....۷۶	- محاسبات در دمای صفر
.....۷۸	- زمان واهلش
.....۷۸	- زمان واهلش در دو بعد فضا زمانی
.....۷۹	- زمان واهلش در چهار بعد فضا زمانی
.....۷۹	- دمای صفر
.....۸:	- دمای غیر صفر
.....۸۱	- زمان واهلش در چهار بعد فضا زمانی با در نظر گرفتن تصحیحات گاوس بونت
.....۸۱	- دمای غیر صفر
.....۸۲	- دمای صفر
.....۸۴	- نتیجه گیری و تحلیل نتایج

#### پیوستها

.....۸۸	پیوست الف : حل معادله درجه سوم
.....۹۵	پیوست ب : ادامه نمودارهای فصل سوم
.....۹۹	پیوست پ : جدول های مقادیر بدست آمده در رژیمهای مختلف

## فهرست اشکال

.....۵.	شكل ۱-۱ مدل استاندارد
.....۹.	شكل ۲-۱ فوتون ها و باز بهنجارش پذیری
.....۹.	شكل ۳-۱ گراویتون ها و باز بهنجارش ناپذیری
.....۱۲.	شكل ۴-۱ راس بر همکنش در نظریه ریسمان
.....۱۳.	شكل ۵-۱ شرط مرزی نیومان - دیریکله .
.....۱۵.	شكل ۶-۱ جهان خط ذره در نمودار های فاینمن و جهان سطح ریسمان
.....۱۵.	شكل ۷-۱ جهان سطح مربوط به ریسمان های بسته و باز و فضای هدف
.....۲۱.	شكل ۸-۱ ریسمان کلاسیکی کشیده شده بین دو نقطه
.....۲۵.	شكل ۹-۱ المان سطح رویه
.....۳۲.	شكل ۱-۲ نمایی از فضای $AdS$
.....۳۳.	شكل ۲-۲ نگاشت همدیس
.....۴۳.	شكل ۱-۳ نمایی از دوگانی $AdS/CFT$
.....۴۶.	شكل ۲-۳ فضای هدف ، جهان سطح و پیمانه ایستا
.....۵۳.	شكل ۳-۳ شکل ریسمان در دو بعد به ازای سرعتهای مختلف
.....۵۷.	شكل ۴-۳ نیروهای کششی وارد بر کوارک در چهار بعد و دمای صفر
.....۶۱.	شكل ۵-۳ شکل ریسمان در چهار بعد به ازای سرعتهای مختلف در دمای صفر
.....۶۶.	شكل ۶-۳ شکل ریسمان در چهار بعد به ازای سرعتهای مختلف در دمای غیر صفر
.....۶۷.	شكل ۷-۳ نمودار نیروی کششی بر حسب سرعت در چهار بعد و دمای غیر صفر ، دما ثابت .
.....۶۸.	شكل ۸-۳ نمودار نیروی کششی بر حسب سرعت در چهار بعد و دمای غیر صفر ، پتانسیل شیمیایی ثابت .
.....۶۹.	شكل ۹-۳ نمودار نیروی کششی بر حسب پتانسیل شیمیایی در چهار بعد و دمای غیر صفر ، دما ثابت .
.....۹۶.	شكل ب-۱ ادامه نمودارهای شکل ریسمان در دو بعد به ازای سرعتهای مختلف
.....۹۷.	شكل ب-۲ ادامه نمودارهای شکل ریسمان در چهار بعد به ازای سرعتهای مختلف در دمای صفر
.....۹۸.	شكل ب-۳ ادامه نمودارهای شکل ریسمان در چهار بعد به ازای سرعتهای مختلف در دمای غیر صفر

# آشنایی با نظریه ریسمان

# فصل اول

## آشنایی با نظریه ریسمان

❖ وحدت نیروها

❖ وحدت نیروها و گرانش

❖ سرمنشا نظریه ریسمان

❖ نظریه ریسمان ، داومطلب نظریه وحدت بزرگ

❖ معرفی شامه ها در نظریه ریسمان

❖ معرفی جهان سطح و فضای هدف

❖ دوگانی ها در نظریه ریسمان

❖ دوگانی  $T$

❖ دوگانی  $S$

❖ کنش ریسمان غیر نسبیتی

❖ کنش ذره نسبیتی

❖ کنش ریسمان نسبیتی

❖ معادلات حرکت ریسمان نسبیتی

## ۱-۱- وحدت نیروها

یکی از مهمترین هدف های فیزیک مدرن و فیزیکدان های بزرگ ، وحدت و یگانه سازی تمام نیروهای بنیادین طبیعت در قالب یک چارچوب منسجم و توصیف تمامی سیستم های فیزیکی توسط معادلات کلی می باشد. یگانه سازی نیروها از الکتریسیته و مغناطیس شروع شد. پس از آن که هر کدام از این دو حوزه علم فیزیک به صورت جداگانه مورد مطالعه قرار گرفتند ، فعالیت های افرادی نظیر اورستد ، فارادی ، آمپر و ماکسول باعث یکپارچگی این دو شاخه و پیدایش نظریه الکترومغناطیس شد. فعالیت های آزمایشگاهی کاوندیش (۱۷۷۲-۱۷۷۳) و همچنین آزمایشهای کولن (۱۷۸۵) منجر به پیشرفت الکترواستاتیک گردید. در سال ۱۸۱۹ اورستد کشف کرد که یک سیم حامل جریان می تواند عقربه قطب نما را منحرف کند. پس از آن ها ، بیو<sup>۱</sup> و ساوارت<sup>۲</sup> در سال ۱۸۲۰ و همچنین آمپر در فاصله سالهای (۱۸۲۰-۱۸۲۵) قوانینی را کشف و استخراج نمودند که میدان مغناطیسی حاصل از توزیع های جریان را تعیین می کرد. یکی از قدم های بعدی در این راه توسط فارادی در سال ۱۸۳۱ برداشته شد که نشان داد که میدان های مغناطیسی متغیر با زمان می توانند میدان های الکتریکی تولید کنند و در نهایت ماکسول در سال ۱۸۶۵ با جمع بندی نتایج قبلی توانست توصیف کاملی از پدیده های الکترومغناطیس با استفاده از چهار معادله ریاضی که به نام خود او مشهور شدند ارائه دهد.

$$\left\{ \begin{array}{l} \nabla \cdot D = 4\pi\rho \\ \nabla \times E = -\frac{1}{c}\frac{\partial B}{\partial t} \\ \nabla \cdot B = 0 \\ \nabla \times H = \frac{4\pi}{c}j + \frac{1}{c}\frac{\partial D}{\partial t} \end{array} \right. \quad (1-1)$$

این معادلات دینامیکی ، رفتار میدان الکتریکی و مغناطیسی متغیر با زمان را توصیف کرده و وجود

---

<sup>۱</sup> Biot  
<sup>۲</sup> Savart

امواج الکترومغناطیسی را که بعد از ماسکول توسط هرتز<sup>۱</sup> کشف شدند، پیش بینی کرد. البته از خصوصیت‌های جالب این معادلات این است که به دلیل عدم وجود تک قطبی مغناطیسی، این معادلات نسبت به میدان های الکتریکی و مغناطیسی نامتقارن می باشند. پس از پیشرفت فیزیک هسته ای و کشف نیروهای هسته ای قوی و ضعیف، بار دیگر تلاش ها برای یگانه سازی و وحدت نیروها شدت گرفت. در این میان فیزیکدانان توانستند، نیروهای الکترومغناطیسی و هسته ای ضعیف را در قالب یک نظریه به نام نظریه الکترو ضعیف<sup>۲</sup> وحدت بخشنند. در سالهای ۱۹۶۷ و ۱۹۶۸ استفان واینبرگ<sup>۳</sup> از هاروارد و عبدالسلام<sup>۴</sup> از لندن به طور مستقل نظریه وحدت یافته ای برای بر همکنش ضعیف و الکترومغناطیسی که بخشی از آن بر پایه نتایج شلدون گلاشو<sup>۵</sup> از هاروارد استوار بود، فرمول بندی کردند. شناخت نیروهای هسته ای پس از کشف نوترون در سال ۱۹۳۲ توسط جیمز چادویک<sup>۶</sup> صورت گرفت. واضح بود که نیرویی که بین نوکلئون های هسته (پروتون ها و نوترون ها) وجود دارد، مانع از فروپاشی هسته توسط نیروی دافعه کولنی بین بارهای مثبت می شود. از ویژگی های بارز این نیرو برد کوتاه آن ( $m^{-15}$ ) و تمایز ناپذیری بین پروتون ها و نوترون ها می باشد. پس از ارائه مدل کوارکی توسط موری گلمان<sup>۷</sup> و جورج زوایگ<sup>۸</sup> (۱۹۶۴) و سپس کشف آنها، مشخص شد که کوارک ها علاوه برداشتن درجات آزادی کوانتمی متداول نظیر بار، اسپین و ... دارای درجات آزادی دیگر موسوم به طعم (Flavour) و رنگ (Colour) می باشند. کوارکها در شش طعم  $U(Up)$  ،  $d(down)$  ،  $C(Charm)$  ،  $S(Strange)$  ،  $b(bottom)$  ،  $T(Top)$  و  $G(Green)$  ،  $R(Red)$  و سه رنگ  $B(Blue)$  وجود دارند. طعم کوارک ها عامل برهمکنش ضعیف بین آنها و همچنین برهمکنش ضعیف بین هادرон ها و لپتون ها از طریق تبادل بوزون های پیمانه ای ( $Z^0$ ،  $W^\pm$ ) می باشند.

<sup>۱</sup> Hertz

<sup>۲</sup> Electroweak

<sup>۳</sup> S.Wienberg

<sup>۴</sup> Abdusalam

<sup>۵</sup> S.Glashow

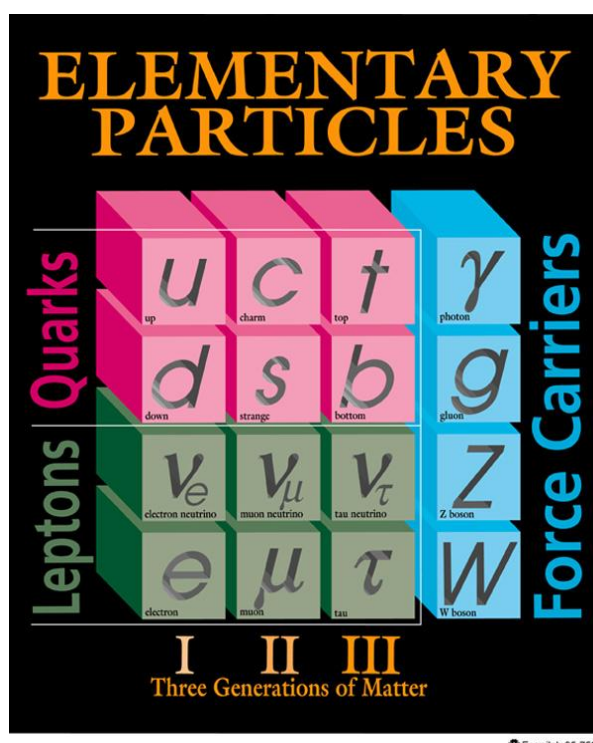
<sup>۶</sup> James Chadwick

<sup>۷</sup> M.Gellman

<sup>۸</sup> G.Zwaik

مفهوم رنگ و همچنین دینامیک کوانتمی حاکم بر آنها در سال ۱۹۶۶ توسط نامبو<sup>۱</sup> کشف شد و باعث تولد نظریه دینامیک رنگ (کرومودینامیک کوانتمی)<sup>۲</sup> گردید. کوارک‌ها به دلیل داشتن درجه آزادی آزادی رنگ از طریق گلوئون‌ها، که ذرات پیمانه ای نظریه کرومودینامیک کوانتمی هستند، نیروی هسته ای قوی به یکدیگر وارد می‌کنند. گلوئون‌ها حامل نیروی رنگ از یک کوارک به کوارک دیگر هستند و برخلاف فوتون‌ها که با یکدیگر برهمکنشی ندارند گلوئون‌ها با یکدیگر برهمکنش دارند.

نظریه دینامیک رنگ نظریه ای است که به توصیف برهمکنش بین ذراتی می‌پردازد که دارای بار رنگ بوده و حامل این نیرو، گلوئون‌ها می‌باشند. از اجتماع  $QCD$  و نظریه الکترووضعیف مدلی به نام مدل استاندارد<sup>۳</sup> شکل می‌گیرد که این مدل کامل‌ترین توصیفی است که ما از برهمکنش بین ذرات بنیادی در اختیار داریم. در این مدل ذرات به دو دسته تقسیم می‌شوند، ذرات تشکیل دهنده ماده که فرمیون هستند و ذرات حامل نیرو یا ذرات تبادلی که بوزوون می‌باشند.



شکل (۱-۱) مدل استاندارد

<sup>۱</sup> Nambu

<sup>۲</sup> Quantum Chromodynamics (QCD)

<sup>۳</sup> Standard Model

با این حال مدل استاندارد دو مشکل اساسی دارد :

۱ - این مدل شامل گرانش نمی شود.

۲ - حدود ۲۰ پارامتر در این مدل وجود دارند که قابل محاسبه توسط نظریه نبوده و باید به صورت دستی وارد شوند . از جمله این پارامترها می توان به نسبت جرم مؤنون به الکترون اشاره کرد که به

$$\text{طور دستی وارد می شود. } \left( \frac{m_m}{m_e} = 207 \right)$$

مسلماین دو مشکل ، دو نقص اساسی در این مدل است. اولا برای این که یک نظریه ، وحدت نیروها را در خود داشته باشد ، باید شامل تمامی نیروهای بنیادین طبیعت باشد ، ولی از آنجا که گرانش نیرویی است که در تشکیل جهان بزرگ مقیاس نقش اساسی دارد و در محدوده ذرات بنیادی بسیار کوچکتر از نیروهای دیگر می باشد ، عملا در مدل استاندارد وارد نمی شود. نقص دوم این مدل نیز مشکل کوچکی نیست زیرا در مدلی که پارامترها به صورت دستی وارد شوند ، فیزیک نظریه یکتا نیست و با وارد کردن عدهای متفاوت دیگر ، نظریه ای با فیزیک متفاوت به دست می آید. مدل احتمالی جذاب دیگری که ویرایش کامل تری از مدل استاندارد است دربرگیرنده ابر تقارن<sup>۱</sup> می باشد. ابرتقارن تقارنی است که بوزون ها و فرمیون ها را به یکدیگر مرتبط می سازد. براین اساس فرمیون ها و بوزون ها حالت های متفاوتی از ذره هایی یکسان هستند. از آنجایی که ذرات تشکیل دهنده ماده فرمیون<sup>۲</sup> و ذرات تبادلی بوزون<sup>۳</sup> می باشند این مفهوم باعث یکپارچه سازی ماده و نیرو می شود [۱] ، [۲] ، [۳].

---

<sup>۱</sup> Supersymmetry

<sup>۲</sup> Fermion

<sup>۳</sup> Boson

## ۱-۲- وحدت نیروها و گرانش

مشکل اساسی در سرراحت وحدت نیروها عدم اجتماع گرانش با بقیه نیروها در یک نظریه جامع می‌باشد.

تمامی نیروهای بنیادی، غیر از گرانش، کوانتمی شده‌اند. به عبارت دیگر فیزیکدان‌ها توانسته‌اند با

اعمال روش دومین کوانتش<sup>۱</sup> بر روی میدان‌های این نیروها، نظریه کوانتمی میدان این نیروها را

بدست آورده و کوانتای میدان این نیروها را آشکار سازی کنند. پس از کشف نظریه کوانتمی و

پیشرفت آن در طول دهه‌های ابتدایی قرن بیستم این حوزه از فیزیک به مقوله‌ای فراتر از یک نظریه

فیزیکی تبدیل شده است. می‌توان گفت که کوانتم به یک چارچوب منطقی تبدیل شد که هر نظریه

فیزیکی برای اینکه بخواهد در ریز مقیاس پیشگویی‌های منطقی ارائه دهد، باید در آن چارچوب قرار

گیرد. الکترودینامیک کوانتمی<sup>۲</sup> مثال بارزی از این دسته از نظریات است که با کاربرد نظریه کوانتم و

اعمال روش دومین کوانتش به میدان‌های الکترو مغناطیسی، می‌توان به توصیفی بسیار دقیق از

برهمکنش نور و ماده رسید. اما در مورد گرانش این فرایند با مشکل مواجه می‌شود. اگر بخواهیم

نیروی گرانش را در چارچوب کوانتمی وارد کنیم، باید فرایند کوانتش را روی میدان گرانش انجام

دهیم در این صورت کوانتم میدان گرانش ذره‌ای بدون جرم با اسپین ۲ است که به آن گراویتون<sup>۳</sup>

گویند. اما مشکل اینجاست که در فرایند کوانتش میدان گرانش به دلیل غیر قابل بازبینی‌گارش

پذیری نظریه، به تکینگی‌هایی<sup>۴</sup> برخورد می‌کنیم که نمی‌توان آنها را از بین برد. برای فهم باز

بینجارش پذیری<sup>۵</sup> ابتدا مقایسه ای داریم بین فوتون و گراویتون:

فوتون‌ها کوانتم های میدان الکترومغناطیسی بوده و ذراتی بدون جرم و بار می‌باشند که دارای

اسپین یک هستند. با وجود اینکه فوتون‌ها بدون بارند، در فرآیندهای الکتریکی، مشارکت می‌کنند.

<sup>۱</sup> Second Quantization

<sup>۲</sup> Quantum Electrodynamics (QED)

<sup>۳</sup> Graviton

<sup>۴</sup> Nonrenormalizable

<sup>۵</sup> Singularity

<sup>۶</sup> Renormalizable

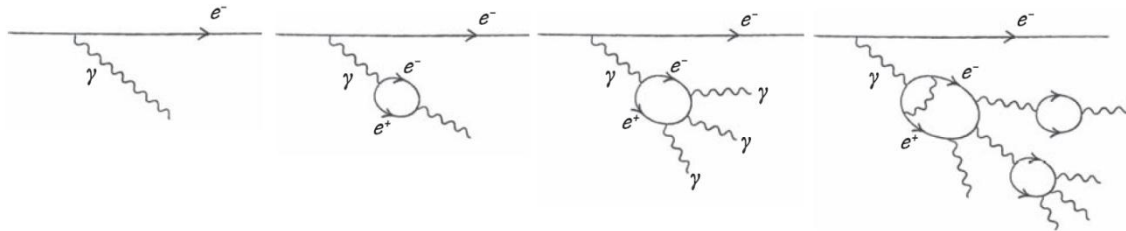
به عنوان مثال در جهش الکترون ها بین ترازهای اتمی و بازگشت به تراز اولیه فوتون گسیل می شوند یا اینکه در تولید و نابودی زوج ، از انرژی فوتون ، الکترون و پوزیترون<sup>۱</sup> بوجود می آیند و یا از برخورد الکترون و پوزیترون ، فوتون تولید می شود. پس فوتون ها ذرات تبادلی بین بارهای الکتریکی هستند ولی نکته مهم در مورد فوتون ها این است که چون این ذرات بدون بار هستند ، با یکدیگر هیچ گونه برهمنکش الکتریکی ندارند. در طرف دیگر گراویتون ذره ای بدون بار و جرم و دارای اسپین ۲ است. اگر چه گراویتون ها بدون جرم هستند ، ولی بدلیل داشتن انرژی و هم ارزی انرژی و جرم با یکدیگر برهمنکش دارند. به عبارت دیگر ، گرچه فوتون ها به دلیل نداشتن بار الکتریکی ، با یکدیگر برهمنکش الکتریکی ندارند ، ولی گراویتون ها به دلیل حمل انرژی و در نتیجه اثر گرانشی با یکدیگر برهمنکش گرانشی دارند.

بر طبق نظریه کوانتم ، گراویتون ها و فوتون ها موج - ذره اند<sup>۲</sup>. حال یک الکترون و یک گراویتون فرضی را در نظر می گیریم و با توجه به مطالب بالا باز بهنجارش پذیری و غیر قابل باز بهنجارش پذیری را توضیح می دهیم.

ابتدا یک الکترون فرضی را در نظر می گیریم اگر ناظر  $A$  به الکترون نزدیک شود میدان آشکار شده توسط او قویتر خواهد شد و یا به عبارتی فوتون های تبادلی بین ناظر و الکترون بیشتر و بیشتر خواهد شد. با کاهش فاصله ( $\Delta x$ ) ممنتوم فوتون های تبادلی ( $\Delta p$ ) افزایش می یابد. به عبارتی با نزدیک شدن ناظر  $A$  به الکترون، همزمان هم تعداد فوتون های تبادلی و هم ممنتوم این فوتون ها افزایش تصاعدی می یابد. علیرغم این افزایش تصاعدی ، به دلیل اینکه خود فوتون ها با یکدیگر برهمنکش ندارند ، میدان و در نتیجه انرژی تبادلی به سمت بینهایت میل نکرده و نظریه به یک نظریه باز بهنجار پذیر تبدیل خواهد شد.

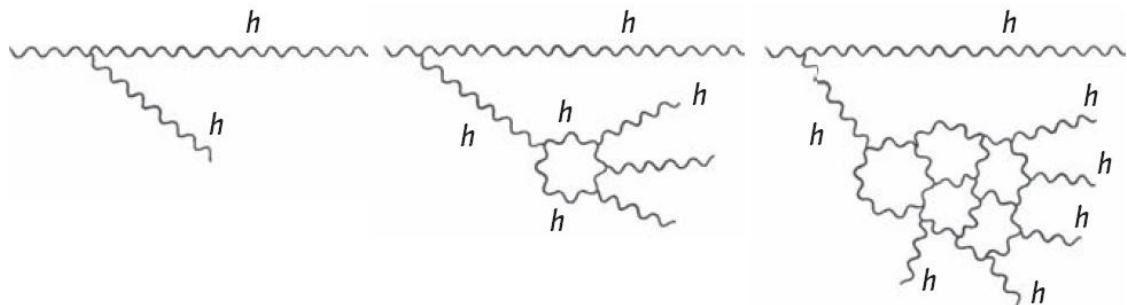
---

<sup>۱</sup> Positron  
<sup>۲</sup> Wave Particle



شکل ( ۲-۱ ) فوتون ها و باز بهنجارش پذیری

حال ناظر A را در نظر می گیریم که به یک گراویتون نزدیک می شود. با نزدیک شدن گراویتون، میدان گرانشی به شدت افزایش یافته و در نتیجه تعداد گراویتون های تبادلی به صورت تصاعدی زیاد می شوند. از طرفی به دلیل کوچک شدن ( $\Delta x$ ) عدم قطعیت ممنتوم ( $\Delta p$ ) این گراویتون ها افزایش می یابد. یعنی با نزدیک شدن به گراویتون تعداد و ممنتوم گراویتون های تبادلی مانند فوتون ها افزایش تصاعدی می یابد ، ولی در این حالت برخلاف حالت قبل گراویتون ها با یکدیگر نیز بر همکنش می کنند و این برهمکنش ها خود باعث ایجاد و تبادل گراویتون های دیگری می شود. در نتیجه میدان و انرژی به بینهایت میل کرده و نظریه غیر قابل باز بهنجارش پذیرخواهد شد .



شکل ( ۳-۱ ) گراویتون ها و باز بهنجارش ناپذیری

به نظر می رسد که عدم سازگاری گرانش و کوانتم ، یا به عبارتی عدم سازگاری نسبیت عام و کوانتم ناشی از ضعف دانش بشری در وحدت آنها باشد ، در این صورت عدم سازش بنیادی نخواهد بود ، زیرا در طبیعت مواردی وجود دارد که باید در آن موارد ، هر دو این نظریه بطور مشترک برای توصیف شرایط حاکم بکار روند. این موارد هنگامی بروز می کنند که همزمان هم نیروی گرانش بسیار قوی

باشد و هم مقیاس و اندازه محدوده مورد مطالعه در محدوده های کوانتومی باشد چنین شرایطی در سیاهچاله ها<sup>۱</sup> و همچنین در لحظات اولیه انفجار بزرگ<sup>۲</sup> حاکم بوده اند [۴].

### ۱-۳- سر منشا نظریه ریسمان

اساس این نظریه ، به تحقیقات مربوط به نیروی قوی هسته ای در دهه هفتاد میلادی بر می گردد. در آزمایش‌های مربوط به هادرون ها ، رابطه ای میان اسپین و جرم آنها به دست آمد که عبارتست از :

$$m^2 = \frac{J}{\hbar c^4 \alpha} \quad (2-1)$$

نمی توان برای یک ذره بدون بعد ، چنین رابطه ای را به دست آورد. اما این رابطه برای ریسمان چرخانی با تنش ثابت برقرار است و این ایده اساسی را القا می کند که می توان نیروی هسته ای قوی را با استفاده از نظریه ریسمان توصیف کرد. نکته مهم دوم مربوط به پتانسیل کوارک و پادکوارک می باشد . هنگامی که این دو از یکدیگر جدا می شوند ، پتانسیل به صورت خطی با تغییر فاصله بین آنها تغییر می کند. این مطلب توسط شواهدی آزمایشگاهی تایید شده است. بر طبق نظریه ریسمان ، بار رنگ دو انتهای ریسمان باز است و جمله خطی پتانسیل ناشی از تنش ریسمان باز اتصالی بین کوارک

و پادکوارک می باشد که اندازه آن در حدود  $\frac{Gev}{fm}$  است [۵].

### ۱-۴- نظریه ریسمان داوطلب نظریه وحدت بزرگ

ایده اساسی در نظریه ریسمان بسیار ساده است : ذرات بنیادی که در فیزیک بررسی می شوند ، در واقع ذراتی بدون بعد نیستند ، بلکه ریسمان هایی تک بعدی می باشند. این ریسمان ها می توانند باز یا بسته باشند. برای سازگاری نظریه ، ابعاد فضا - زمان ده می باشد و این نکته که چرا ما قادر به درک چهار بعد آن هستیم ، یکی از پیچیدگی های این نظریه است ، که یکی از راه حل های آن

<sup>۱</sup> Black Holes  
<sup>۲</sup> Big Bang

فسرده سازی ابعاد است. جذابیت چنین نظریه‌ای در آنجاست که دو حوزه متفاوت و جدا در فیزیک ، یعنی نسبیت عام و مکانیک کوانتومی را به یکدیگر پیوند می‌دهد. نظریه ریسمان<sup>۱</sup> یک گزینه عالی برای یگانه سازی نیروهای طبیعت بوده و به نوعی داوطلبی عالی برای نظریه کامل فیزیکی می‌باشد. نقاط قوت این نظریه ، که باعث شده است که فیزیکدان‌ها آن را به عنوان گزینه‌ای بسیار مناسب برای نظریه وحدت بزرگ در نظر گیرند عبارتند از :

۱ – در این نظریه تمامی ذرات و نیروها یگانه سازی می‌شوند. در نظریه ریسمان هر ذره توسط یک تراز ارتعاشی ریسمان‌های بنیادین ، که طول آنها در محدوده طول پلانک  $^{۲} 10^{-35} m$  است ، توصیف می‌شود. به عنوان مثال گراویتون ( کوانتوم میدان گرانش ) توسط یک مد ارتعاشی و فوتون ( کوانتوم میدان الکترومغناطیسی ) توسط مد ارتعاشی دیگری از این ریسمان‌های بنیادین توصیف می‌گردند. در این نظریه ریسمان‌ها می‌توانند باز یا بسته باشند. به عنوان مثال ریسمان سازنده گراویتون بسته و ریسمان سازنده فوتون باز است.

۲ – نظریه ریسمان یک نظریه کوانتمی است و از آنجا که شامل گرانش نیز می‌باشد ، یک نظریه کوانتومی گرانش است و در نتیجه نظریه‌ای است که می‌تواند توصیف کننده تمامی نیروهای بنیادین طبیعت باشد.

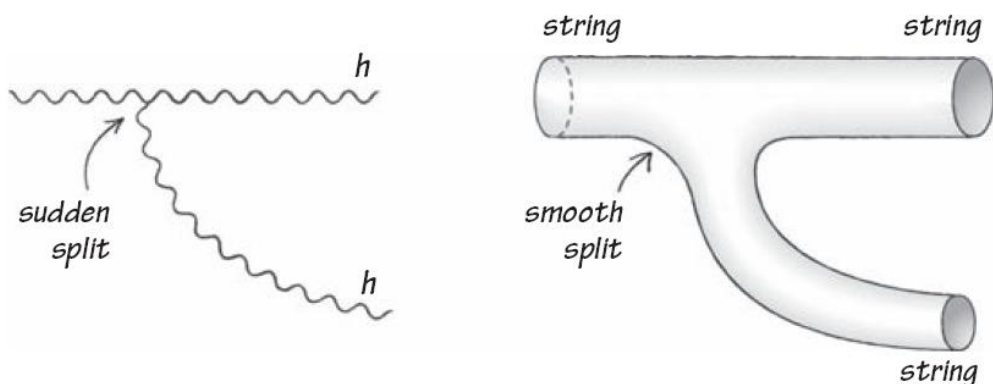
۳ – در این نظریه برخلاف مدل استاندارد کمیت‌هایی که بخواهیم به صورت دستی آنها را وارد کنیم وجود ندارند و تمامی نظریه و کمیت‌هایی که در آن به دست می‌آیند ، از یک کمیت بعد دار که همان طول ریسمان ( $L_s$ ) است تعیین می‌شوند. پس در این نظریه با شروع از کمیت طول ریسمان تمامی کمیت‌های دیگر بدست می‌آیند.

---

<sup>۱</sup> String Theory  
<sup>۲</sup> Plank Length

۴ - در نظریات دیگر، تعداد ابعاد فضا زمان را خود ما انتخاب کرده و برابر ۴ می گیریم ، ولی نظریه ریسمان ، تنها نظریه ای است که تعداد ابعاد فضا زمان به صورت پیش فرض در نظر گرفته نشده و تعداد آنها بصورت منطقی و پس از محاسبات ریاضی توسط نظریه تعیین می شود. تعداد این ابعاد در نظریه ریسمان بوزونی ، ۲۶ و در نظریه ابر ریسمان<sup>۱</sup> که بوزون ها و فرمیون ها توسط ابر تقارن به یکدیگر مرتبط می شوند ۱۰ بدست می آید .

۵ - نظریه ریسمان یک نظریه باز بهنجارش پذیر است. نقطه قوت این نظریه که باعث باز بهنجارش پذیری می شود در خود ریسمان های بنیادین نهفته است. در این نظریه اجزاء بنیادی ، ذره نبوده و ریسمان هایی یک بعدی می باشند. اگر چه ریسمان ها نیز مشابه گراویتون ها با یکدیگر برهمکنش دارند ولی به دلیل اینکه ریسمان ها نقطه ای نیستند ، برهمکنش آنها با یکدیگر خوش رفتار است. در مورد گراویتون ها با نزدیک شدن هر چه بیشتر به گراویتون ، خلق گراویتون های مجازی و در نتیجه ممتومن آنها بنا به اصل عدم قطعیت به سمت بینهایت میل می کند ولی در مورد ریسمان ها شکست و یا انشعاب ریسمان در یک محدوده فضا زمانی رخ می دهد این امر باعث می شود که ناحیه برهمکنش و در نتیجه  $(\Delta x)$  دارای حداقلی بوده و ممتومن به بینهایت میل نکند. در نتیجه نظریه یک نظریه خوش رفتار و بازبهنجارپذیر است [۱] و [۴] .

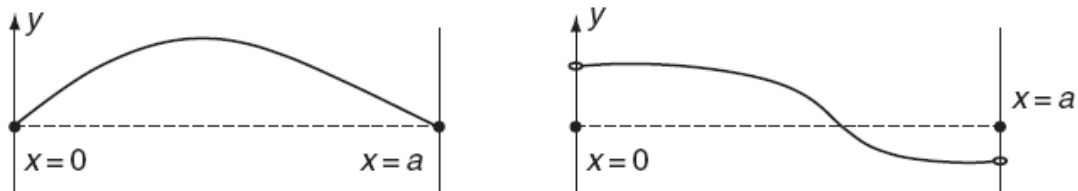


شکل (۱-۴) راس بر همکنش در نظریه ریسمان

<sup>۱</sup> Super String Theory

## ۱-۵- معرفی شامه ها در نظریه ریسمان

گفته شد که در نظریه ریسمان و ابرریسمان دو نوع ریسمان باز و بسته وجوددارد. ریسمان های بسته می توانند در نظریه ریسمان بوزونی در ۲۶ بعد فضا زمانی و همچنین در نظریه ابرریسمان در ۱۰ بعد فضا زمانی نوسان کنند. اما در مورد ریسمان های باز قضیه متفاوت است. برای ورود به بحث ریسمانی کلاسیکی را در نظر می گیریم که بین دو نقطه کشیده شده است.



شکل (۱-۵) شرط مرزی نیومان – دیریکله

هنگامی که معادله حرکت ریسمان را می نویسیم دو نوع شرایط مرزی دیریکله<sup>۱</sup> و نیومان<sup>۲</sup> را می توان در نظر گرفت. در شرط مرزی دیریکله دو انتهای ریسمان ثابت بوده و حرکتی ندارند، در حالی که در شرایط مرزی نیومان دو انتهای ریسمان به دو حلقه بدون جرم متصلند و آزادانه حرکت می کنند. در شرط مرزی دیریکله مقدار تابع در مرزها مشخص بوده و صفر است ولی در شرط مرزی نیومان مشتق اول آن در مرزها مشخص است و الزاماً باید مقدار آن در مرزها صفر باشد، زیرا در غیر این صورت ریسمان در دو مرز به دو میله انتهایی عمود نبوده و چون حلقه ها باید بدون جرم می باشند، مولفه عرضی کشش طناب باعث شتاب بی نهایت حلقه ها میشود. با محاسبه ممنتوم عرضی ریسمان در شرایط مرزی دیریکله و نیومان به این نتیجه مهم می رسیم که ممنتوم عرضی ریسمان در شرط مرزی نیومان پایسته است در حالی که در شرط مرزی دیریکله اینگونه نیست. در حقیقت وقتی دو

<sup>۱</sup> Dirichlet Boundary Conditions  
<sup>۲</sup> Neumann Boundary Conditions

انتهای طناب به دو مرز متصل هستند مرزها نیروهایی به طناب وارد کرده و در نتیجه مقدار ممتومن عرضی ناپایسته خواهد بود. برای مدت زمان زیادی نظریه پردازان ریسمان شرط مرزی دیریکله را فقد اعتبار فیزیکی می دانستند زیرا اولاً ممتومن عرضی ریسمان در این شرط پایسته نیست و ثانیاً این سوال مهم به ذهن می رسد که دو انتهای ریسمان ببروی چه موجوداتی قرار دارند؟ اما پس از مدتی نظریه جدیدی در این باره ظهر کرد و آن معرفی موجوداتی بنام شامه<sup>۱</sup> و ( $D-brane$ ) بود. در حقیقت این موجودات که اشیائی دینامیکی هستند با جذب ممتومن عرضی ریسمان می توانند ناپایستگی ممتومن را توجیه کنند.

یک  $Dp-brane$  موجودی بسط یافته در فضا زمانی با  $p$  بعد فضایی می باشد. در نظریه ریسمان بوزونی تمامی فضا توسط این رویه های ۲۵ بعدی پر شده اند زیرا تعداد ابعاد فضا در این نظریه است در حالی که در نظریه ابر ریسمان این رویه ها فضای ۹ بعدی را پر کرده اند و دو انتهای ریسمان های باز ببروی این موجودات گسترش یافته و روی آن ها می لغزد. حرف  $D$  نشان دهنده حرف اول کلمه  $Dirichlet$  می باشد. براین اساس می توان رویه هایی با ابعاد مختلف در یک فضای  $p$  بعدی داشت. به طوری که تعداد ابعاد آنها از صفر تا  $p$  تغییر کند. بعنوان مثال  $D0-brane$  یک نقطه است،  $D1-brane$  موجودی شبیه به یک طناب و  $D2-brane$  یک سطح دوبعدی خواهد بود. یکی دیگر از ویژگیهای این موجودات جرم بسیار زیاد آنها می باشد[۴].

## ۱-۶- معرفی جهان سطح<sup>۲</sup> و فضای هدف<sup>۳</sup>

در توصیف حرکت یک ذره می توان مسیر حرکت آن را در یک نمودار فضا زمان می گوئیم نشان داد. مسیر حرکت ذره در این نمودار جهان خط<sup>۴</sup> ذره خواهد بود. براین اساس نمودار فضا زمان یک ذره در حرکت یک بعدی نموداری دو بعدی و در حرکت دو بعدی، نموداری سه بعدی

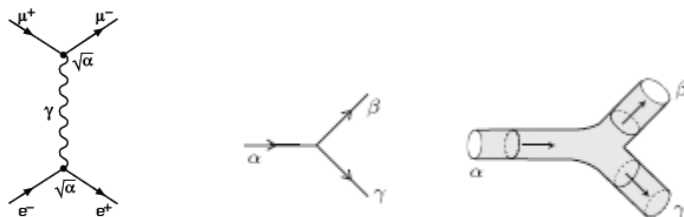
<sup>۱</sup> Membrane

<sup>۲</sup> World Sheet

<sup>۳</sup> Target Space

<sup>۴</sup> World Line

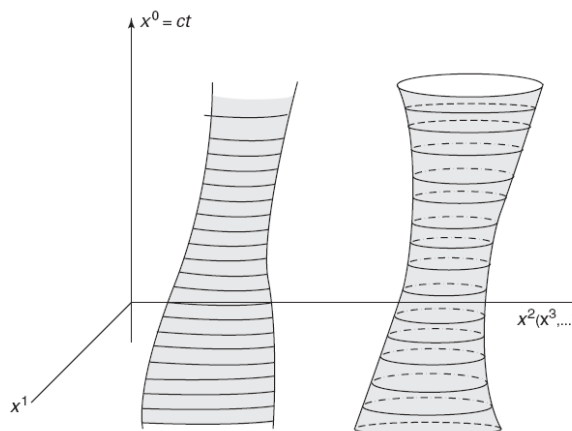
خواهد بود. از این نمودار می توان برای نشان دادن برهمکنش این ذرات نیز استفاده کرد ، که از آن جمله می توان به نمودارهای فاینمن<sup>۱</sup> اشاره نمود



شکل (۶-۱) جهان خط ذره در نمودارهای فاینمن و جهان سطح ریسمان

به همین طریق می توان حرکت ریسمان ها را در نمودارهای فضا زمانی نشان داد. به عنوان مثال یک ریسمان بسته و مسطح را در نظر می گیریم. نمودار فضا زمان این ریسمان مانند لوله ای است که با گذشت زمان بر طول آن افزوده می شود. شکست و یا اتصال ریسمان ها را می توان در این نمودار به صورت منشعب شدن و یا متصل شدن این لوله ها نشان داد. در یک زمان خاص وضعیت و شکل ریسمان را می توان توسط عبور صفحه ای فرضی عمود بر محور زمان از لوله بدست آورد ، به این صفحه ها ، جهان سطح گویند .

صفحه های جهان سطح در فضا زمانی قرار دارند که به آن فضای هدف گفته می شود.



شکل (۷-۱) جهان سطح مربوط به ریسمان های بسته و باز و فضای هدف

<sup>۱</sup> Feynman Diagrams

## ۱-۷- دوگانی<sup>۱</sup> ها در نظریه ریسمان

قبل از سال ۱۹۹۰، پنج نظریه متفاوت در مورد ریسمان وجود داشت، ولی اعتقاد اکثر فیزیکدانان این بود که تنها یک نظریه می‌تواند گزینه‌ای مناسب برای نظریه همه چیز<sup>۲</sup> باشد که در سطوح انرژی پائین و فضا زمان چهار بعدی می‌تواند توصیف کامل از جهان فیزیکی را ارائه دهد. پس از سال ۱۹۹۰ نظریه پردازان ریسمان و در راس آنها ویتن<sup>۳</sup> نشان دادند که این پنج نظریه توصیفی مشترک و یکسان و در حقیقت حالتی خاص از یک نظریه کاملتر می‌باشند که وی آن را نظریه ام<sup>۴</sup> نام نهاد. نظریه‌های ریسمان توسط تبدیلاتی به یکدیگر مرتبط می‌شوند که به این تبدیلات، دوگانی گویند.

پنج نظریه اصلی در زمینه ریسمان عبارتند از:

نظریه‌های ریسمان		
نوع	ابعاد فضا زمان	جزئیات
Bosonic	26	فقط شامل بوزون‌ها بوده و فرمیون‌ها را شامل نمی‌شود. در نتیجه نیروها را توصیف کرده و ماده را توصیف نمی‌کند. شامل هر دو نوع ریسمان‌های باز و بسته است و به دلیل ظاهر شدن ذراتی با جرم موهومی به نام تاکیون، در این نظریه شاهد ناپایداری هستیم.
I	10	ابر تقارن بین ماده و نیروها، شامل هر دو نوع ریسمان‌های باز و بسته است و تاکیون‌ها در آن وجود ندارند. گروه تقارنی آن $SO(32)$ است.
IIA	10	ابر تقارن بین ماده و نیروها، فقط شامل ریسمان‌های بسته‌ای است که دو انتهای آنها به D-branes متصل است. تاکیون‌ها در آن وجود ندارند و فرمیون‌ها بدون جرم غیر دستیده <sup>۵</sup> می‌باشند.
IIB	10	ابر تقارن بین ماده و نیروها، فقط شامل ریسمان‌های بسته‌ای است که دو انتهای آنها به D-branes متصل است. تاکیون‌ها در آن وجود ندارند و فرمیون‌ها بدون جرم دستیده <sup>۶</sup> می‌باشند.
HO	10	ابر تقارن بین ماده و نیروها، فقط شامل ریسمان‌های بسته است و تاکیون‌ها در آن وجود ندارند. ریسمان‌های چپ گرد و راستگرد در آن متفاوتند (heterotic) و گروه تقارنی آن $SO(32)$ است.
HE	10	ابر تقارن بین ماده و نیروها، فقط شامل ریسمان‌های بسته است و تاکیون‌ها در آن وجود ندارند. ریسمان‌های چپ گرد و راستگرد در آن متفاوتند (heterotic) و گروه تقارنی آن $E_8 \times E_8$ است.

<sup>۱</sup> Duality

<sup>۲</sup> Theory Of Everything

<sup>۳</sup> Edd Witten

<sup>۴</sup> M-Theory

<sup>۵</sup> Non Chiral

<sup>۶</sup> Chiral

اگر دو نظریه از تبدیلات دوگانی پیروی کنند به معنی آن است که با اعمال تبدیلات ببروی یکی از آنها دیگری بدست می آید. در این صورت این دو نظریه را دوگان یکدیگر تحت آن تبدیلات گویند. در حقیقت دو نظریه که دوگان یکدیگرند، توصیف های متفاوت ریاضی از یک پدیده فیزیکی یکسان می باشند. از جمله دو گانی های مهم می توان به دو گانی های  $S, T$  اشاره کرد که در ادامه به اختصار آنها را توضیح می دهم.

### ۱-۷-۱- دو گانی<sup>۱</sup>

همان گونه که در انواع نظریه های ریسمان گفته شد دو نوع از نظریه ها، نظریه های ابرریسمان نوع  $IIB, IIA$  می باشند. از ویژگی های نظریه ابرریسمان نوع  $IIA$  این است که در این نظریه ابعاد شامه ها زوج است ( $D6, D4, D2, D0$ ). همچنین در این نوع نظریه ابرریسمان، با افزایش جفت شدگی ریسمان ها (افزایش برهمکنش یا تعداد برخوردها) می توان با افزایش تعداد ابعاد فضا زمان از ده به یازده، توصیف بهتری از پدیده ها داشت. به عبارت دیگر نظریه ابرریسمان نوع  $IIA$  در حالتی که برهمکنش ریسمانها قوی است، در یازده بعد بهتر جواب می دهد. از ویژگیهایی نظریه در ریسمان نوع  $IIB$  می توان به موارد زیر اشاره کرد:

اول اینکه در حالتی که برهمکنش بین ریسمان ها قوی باشد ( ثابت جفت شدگی بالا )، در نظریه ابرریسمان نوع  $IIB$  با تعویض ریسمان ها با رویه های  $D1$  می توان بدون افزایش بعد نظریه از ده به یازده توصیف صحیحی از رفتار ریسمان ها بدست آورد. دوم اینکه در نظریه ابرریسمان نوع  $IIB$  تعداد ابعاد شامه ها فرد است ( $D7, D5, D3, D1$ ). دو گانی  $T$ ، نظریه های ابرریسمان نوع  $IIB, IIA$  را به یکدیگر مرتبط می سازد. ولی در ارتباط دادن این دو نظریه یک مشکل اساسی وجوددارد: چگونه می توان رویه هایی با ابعاد فرد را به رویه های با ابعاد زوج نگاشت داد؟ به عنوان مثال چگونه می توان

---

<sup>۱</sup> T - Duality

غیر ممکن بنتظر می رسد. اما برای حل این مشکل می توان از روش زیر استفاده کرد :

یکی از ابعاد ده گانه نظریه ابرریسمان نوع  $IIA$  را می توان به صورت پیچیده شده به دور یک دایره در نظر گرفت. اگر مقیاس و ابعاد دایره در مقایسه با مقیاس فضا زمان بسیار کوچکتر باشد ( اندازه های قابل سنجش توسط ناظری که در این فضا زمان نه بعدی قرارداد بسیار بزرگتر از بعد پیچیده شده باشد ) تعداد ابعاد فضا زمان در نظریه ابرریسمان نوع  $IIA$  به جای ده بعد ، نه بعد خواهد بود. در این دنیای نه بعدی ، تفاوتی بین نظریه های ابرریسمان نوع  $IIB$ ,  $IIA$  وجود ندارد. مثلا اگر رویه  $D1$  در نظریه ابرریسمان نوع  $IIB$  را به دور دایره پیچیده شده درنظر بگیریم برای ناظر مورد نظر این رویه مانند یک رویه  $D0$  در نظریه ابرریسمان نوع  $IIA$  خواهد بود. به همین طریق خواهیم داشت :

نظریه ابررسیمان نوع IIA نظریه ابررسیمان نوع IIB

$$\begin{aligned} D1 &\dashrightarrow D0 \\ D3 &\dashrightarrow D2 \\ D5 &\dashrightarrow D4 \\ D7 &\dashrightarrow D6 \end{aligned}$$

مطالب گفته شده ممکن است این تصور را به ذهن برساند که دو گانی  $T$  یک تقریب است و در صورتی دو نظریه ابرریسمان نوع  $IIB, IIA$  یکسان هستند که قدرت تفکیک / مقیاس ناظر واقع در فضا زمان نه بعدی به مراتب کوچکتر / بزرگتر از بعد پیچش یافته باشد. ولی در حقیقت اینگونه نیست و مطالب گفته شده در حقیقت توصیفی ساده شده از ریاضیاتی سطح بالا دارد که در اینجا به آن اشاره نمی شود [۱]. در دو گانی  $T$  و در ارتباط بین نظریه های ابرریسمان نوع  $IIB, IIA$  می توان آنها را از نظر انرژی به یکدیگر مرتبط ساخت : ریسمان نوع  $IIA$  که به دور یک دایره پیچیده شده را می توان مانند ریسمان نوع  $IIB$  در نظر گرفت که به دور دایره در حال حرکت است و بر عکس البته با این تفاوت که دایره ای که ریسمان های نوع  $IIA, IIB$  به دور آن پیچیده شده و یا در حال چرخش

هستند هم اندازه نبوده و اندازه شعاع آنها عکس یکدیگر است. علت این امر را می توان در اصل عدم قطعیت و جرم ریسمان جستجو کرد. ریسمانی که به دور دایره در حال چرخش است از نظر مکانیک کوانتوم دارای انرژی های معین و کوانتیده می باشد ولی تعیین مکان و ممنتوم آن با عدم قطعیت های  $(\Delta p, \Delta x)$  همراه است. همچنین می دانیم که ممنتوم ریسمان نیز مانند انرژی آن کوانتیده است ، پس :

کاهش شعاع دایره  $\leftarrow (\Delta x \downarrow) \leftarrow (\Delta p \uparrow) \leftarrow$  افزایش ممنتوم ریسمان  $\leftarrow$  افزایش انرژی ریسمان

افزایش شعاع دایره  $\leftarrow (\Delta x \uparrow) \leftarrow (\Delta p \downarrow) \leftarrow$  کاهش ممنتوم ریسمان  $\leftarrow$  کاهش انرژی ریسمان

اکنون ریسمان پیچیده شده به دور دایره را در نظر می گیریم. جرم ریسمان پیچیده شده به دور دایره با طول آن متناسب است ، به عبارتی ریسمان پیچیده شده به دور دایره بزرگتر طول بیشتر و در نتیجه جرم بیشتری دارد. اکنون اگر بخواهیم ریسمان نوع IIA را که ( به دور دایره پیچیده شده / در حال چرخش ) است را با ریسمان نوع IIB ( که در حال چرخش / به دور دایره پیچیده شده ) جایگزین کنیم باید این جایگزینی به گونه ای انجام گیرد که انرژی های آنها با یکدیگر مطابق باشند در نتیجه : افزایش اندازه ریسمان ( IIA یا IIB ) پیچیده شده به دور دایره باعث افزایش جرم و انرژی ریسمان پیچیده شده و در نتیجه افزایش انرژی و ممنتوم ریسمان چرخشی به دور دایره خواهد شد ، پس عدم قطعیت های ممنتوم افزایش و مکان کاهش می یابد و این به معنای آن است که شعاع دایره ای که ریسمان به دور آن می چرخد کم می شود. پس میتوان گفت که :

دوگانی  $T$  مقیاسهای کوچک و بزرگ را به یکدیگر مرتبط می سازد [۴].

## ۱-۷-۲- دو گانی $S^1$

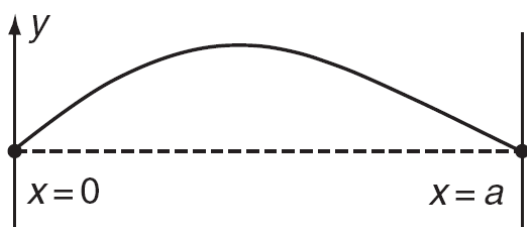
این دو گانی موجودات نظریه ریسمان نوع  $IIB$  را به یکدیگر مرتبط می سازد. به عنوان مثال ریسمان ها را به رویه های  $D1$  نگاشت می دهد. قاعده نگاشت در حالتی که ریسمان ها به صورت مستقیم و راست بوده و تقریبا بدون حرکت باشند به خوبی شناخته شده اند ولی در حالتی که حرکت ریسمان پیچیده و اندرکنش بین آنها زیاد باشد ( انشعابها و به هم پیوستن لوله ها در فضای هدف زیاد باشد ) قواعد نگاشت به خوبی شناخته شده نیست. ولی می دانیم که شدت برهمکنش ریسمان ها با یکدیگر عکس شدت برهمکنش رویه ها با یکدیگر است. به عبارت دیگر هرگاه ریسمان ها به صورت قوی با یکدیگر برهمکنش داشته باشند ، رویه های  $D1$  برهمکنش ضعیفی با یکدیگر خواهند داشت و برعکس. در نتیجه می توان گفت که دو گانی  $S$  برهمکنش هایی با شدت های قوی و ضعیف را به یکدیگر مربوط می سازد. از جمله دو گانی های مهم دیگر می توان به دو گانی  $U$  و دو گانی گرانشی - پیمانه ای<sup>۳</sup> اشاره کرد که دو گانی گرانشی پیمانه ای را در فصل  $AdS/CFT$  که خود نوعی از همین دو گانی می باشد توضیح می دهیم [۴].

---

<sup>۱</sup> S - Duality  
<sup>۲</sup> Gauge Gravity Duality

## ۱-۸- کنش ریسمان غیر نسبیتی<sup>۱</sup>

در این قسمت قصد داریم که لاگرانژی ریسمان غیر نسبیتی را نوشه، و با استفاده از صفر کردن وردش کنش معادله حرکت ریسمان غیر نسبیتی را بدست آوریم. برای این منظور ریسمانی را که بین در امتداد محور  $x$  ها کشیده شده و جرم واحد طول و کشش آن به ترتیب  $T_0, \mu_0$  است را در نظر می گیریم.

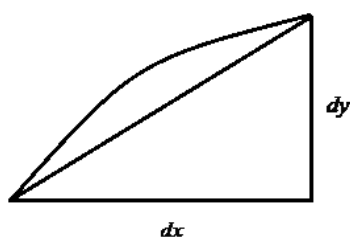


شکل (۱-۸) ریسمان کلاسیکی کشیده شده بین دو نقطه

برای نوشتمن لاگرانژی ابتدا جمله انرژی جنبشی را می نویسیم. با توجه به اینکه حرکت ریسمان عرضی است، انرژی جنبشی، تنها شامل سرعت در راستای  $y$  می باشد درنتیجه:

$$dT = \frac{1}{2} dm v^2 = \frac{1}{2} \mu_0 dx \left( \frac{\partial y}{\partial t} \right)^2 \Rightarrow T = \int_0^a \frac{1}{2} \mu_0 \left( \frac{\partial y}{\partial t} \right)^2 dx \quad (3-1)$$

انرژی پتانسیل ریسمان مقدار کار انجام شده برای کشیدن ریسمان بین  $0, a$  می باشد:



$$\Delta l = \sqrt{dx^2 + dy^2} - dx = dx \sqrt{\left(1 + \left(\frac{\partial y}{\partial x}\right)^2\right)} - dx \Rightarrow \Delta l = \frac{dx}{2} \left(\frac{\partial y}{\partial x}\right)^2$$

---

<sup>۱</sup> Non Relativistic String Action

$$dW = dV = T_0 \cdot \Delta l = T_0 \frac{dx}{2} \left( \frac{\partial y}{\partial x} \right)^2$$

درنتیجه :

$$V = \int_0^a T_0 \frac{dx}{2} \left( \frac{\partial y}{\partial x} \right)^2 \quad (4-1)$$

از (3-1) و (4-1) نتیجه می گیریم :

$$L = T - V = \int_0^a \left( \frac{\mu_0}{2} \left( \frac{\partial y}{\partial t} \right)^2 - T_0 \left( \frac{\partial y}{\partial x} \right)^2 \right) dx \quad (5-1)$$

$$L(t) = \int_0^a \mathfrak{I}(t) dx \Rightarrow S[x(t)] = \int_{t_i}^{t_f} L(t) dt = \int_{t_i}^{t_f} \int_0^a L(t) dx dt \quad (6-1)$$

وردهش<sup>1</sup>  $S$  را حساب کرده و مساوی صفر قرار میدهیم :

با جایگزین  $y + \delta y$  در کنش و صرفنظر از جملات  $(\delta y)^2$  داریم :

$$\delta S = \int_{t_i}^{t_f} dt \int_0^a \left( \mu_0 \frac{\partial y}{\partial t} \frac{\partial \delta y}{\partial t} - T_0 \frac{\partial y}{\partial x} \frac{\partial \delta y}{\partial x} \right) dx \quad (7-1)$$

انتگرال بالا با استفاده از روش جزء به جزء به صورتی می نویسیم که بتوان از  $\delta y$  فاکتور گرفت :

$$\delta S = \int_{t_i}^{t_f} dt \int_0^a \left[ \mu_0 \left( \frac{\partial}{\partial t} \left( \frac{\partial y}{\partial t} \delta y \right) - \frac{\partial^2 y}{\partial t^2} \delta y \right) - T_0 \left( \frac{\partial}{\partial x} \left( \frac{\partial y}{\partial x} \delta y \right) - \frac{\partial^2 y}{\partial x^2} \delta y \right) \right] dx \quad (8-1)$$

جملات نشان داده شده صفر می شوند. جمله اول به این دلیل صفر است که در نقاط مرزی ابتدایی و

نهایی ( $t_f, t_i$ )  $\delta y$  صفر است و جمله دوم نیز با توجه به اینکه باشرط مرزی دیر یکله  $y$  و با شرط

مرزی نویمن  $\frac{\partial y}{\partial x}$  صفر می باشند، صفر است. اکنون با صفر قراردادن  $\delta S$  معامله حرکت به صورت

زیر به دست می آید :

<sup>1</sup> Variation

$$\frac{\partial^2 y}{\partial t^2} - \frac{T_0}{\mu_0} \frac{\partial^2 y}{\partial x^2} = 0 \quad (9-1)$$

## ۹-۱- کنش ذره نسبیتی<sup>۱</sup>

در این بخش ابتدا کنش را برای ذره نسبیتی بدست آورده و سپس معامله حرکت را با صفر کردن وردش محاسبه می کنیم.

می دانیم که کنش دارای دیمانسیون (زمان  $\times$  انرژی) می باشد. حال سوال اینجاست که در مورد ذره نسبیتی به جای انرژی و زمان چه کمیت هایی قرار دهیم تا کنش ناوردای لورنتس باشد. با توجه به

اینکه  $\frac{ds}{c}$  زمان ویژه<sup>۲</sup> و انرژی حالت سکون<sup>۳</sup> ذره ( $mc^2$ ) هر دو ناوردای لورنتس می باشند پس :

$$S \propto m c^2 \frac{ds}{c} \Rightarrow S \propto m c ds \Rightarrow S = -m c \int ds \quad (10-1)$$

علامت منفی به دلیل این است که هنگامی که می خواهیم کنش ریسمان نسبیتی را محاسبه کنیم در حالتی که انرژی جنبشی ( $T = 0$ ) ،  $V$  باید مثبت بدست آید. متريک و تانسور آن عبارتند از :

$$ds^2 = -\eta_{\mu\nu} dx^\mu dx^\nu \quad \eta_{\mu\nu} = \begin{pmatrix} -1 & 0 & 0 & 0 \\ 0 & 1 & 0 & 0 \\ 0 & 0 & 1 & 0 \\ 0 & 0 & 0 & 1 \end{pmatrix} \quad (11-1)$$

چون فضا – زمان تخت است ، تانسور متريک به مختصات فضا – زمان بستگی ندارد. اگر فضا – زمان خمیده باشد ، در اين صورت تانسور متريک به مختصه های فضا – زمان بستگی دارد و تابعی از آنها می باشد. اگر جهان خط ذره را با پارامتر  $\tau$  پارامترize کنیم :

$$ds^2 = -\eta_{\mu\nu} \frac{dx^\mu}{d\tau} \frac{dx^\nu}{d\tau} (d\tau)^2 \Rightarrow ds = \sqrt{-\eta_{\mu\nu} \frac{dx^\mu}{d\tau} \frac{dx^\nu}{d\tau}} d\tau \quad (12-1)$$

<sup>۱</sup> Relativistic Particle Action

<sup>۲</sup> Proper Time

<sup>۳</sup> Rest Energy

$$S = -m c \int ds = -m c \int \sqrt{-\eta_{\mu\nu} \frac{dx^\mu}{d\tau} \frac{dx^\nu}{d\tau}} d\tau \quad (13-1)$$

از طرفی وردش کنش عبارتست از :

$$\delta S = -m c \int \delta ds \quad (14-1)$$

و با استفاده از متریک داریم :

$$ds^2 = -\eta_{\mu\nu} dx^\mu dx^\nu \Rightarrow 2ds \delta(ds) = -\eta_{\mu\nu} \delta(dx^\mu) dx^\nu - \eta_{\mu\nu} dx^\mu \delta(dx^\nu) \quad (15-1)$$

چون ماتریس  $\eta_{\mu\nu}$  با جابجایی اندیس های  $(\nu, \mu)$  بدون تغییر باقی می ماند :

$$\delta(ds) = -\eta_{\mu\nu} \delta(dx^\mu) \frac{dx^\nu}{ds} \quad (16-1)$$

با پارامتریزه کردن مسیر جهان خط ذره با  $\tau$  :

$$\delta(ds) = -\eta_{\mu\nu} \frac{\delta(dx^\mu)}{d\tau} \frac{dx^\nu}{ds} d\tau \quad (17-1)$$

در نتیجه با قرار دادن رابطه بالا در (14-1)، خواهیم داشت :

$$\delta S = +m c \int_{\tau_i}^{\tau_f} \eta_{\mu\nu} \frac{\delta(dx^\mu)}{d\tau} \frac{dx^\nu}{ds} d\tau \quad (18-1)$$

با استفاده از روش جزء به جزء :

$$\delta S = m c \int_{\tau_i}^{\tau_f} \left\{ \eta_{\mu\nu} \frac{d}{d\tau} (\delta x^\mu \frac{dx^\nu}{ds}) - \eta_{\mu\nu} \delta x^\mu \frac{d}{d\tau} (\frac{dx^\nu}{ds}) \right\} d\tau \quad (19-1)$$

$$\delta S = m c \underbrace{\eta_{\mu\nu} \delta x^\mu \frac{dx^\nu}{ds} \Big|_{\tau_i}^{\tau_f}}_{-\delta S} - m c \int_{\tau_i}^{\tau_f} \eta_{\mu\nu} \delta x^\mu \frac{d}{d\tau} (\frac{dx^\nu}{ds}) d\tau \quad (20-1)$$

جمله زیر خط دار صفر می شود چون وردش  $x^\mu$  در نقاط ابتدایی و انتهایی صفر است. در نتیجه :

$$\delta S = -m c \int_{\tau_i}^{\tau_f} \eta_{\mu\nu} \delta x^\mu \frac{d^2 x^\nu}{ds d\tau} d\tau \quad (21-1)$$

با مساوی صفر قرار دادن  $\delta S$  معامله حرکت بدست می آید :

$$\delta S = 0 \Rightarrow \frac{d}{d\tau} \left( m c \frac{dx^\nu}{ds} \right) = 0 \Rightarrow \frac{d}{d\tau} P^\nu = 0 \quad (22-1)$$

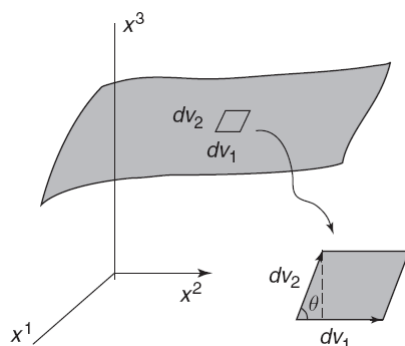
## ۱-۱۰- کنش ریسمان نسبیتی<sup>۱</sup>

در کنش ذره نسبیتی دیدیم که کنش متناسب با ویژه طول ذره در مسیر جهان خط آن ذره است. حال اگر تحول زمانی ریسمان را در نظر بگیریم، ریسمان در حین تحول زمانی خود در فضای هدف مسیری از خود به جای می‌گذارد که به آن جهان سطح می‌گوییم. اگر ریسمان باز باشد جهان سطح یک سطح غیر بسته است، ولی در صورتی که ریسمان بسته باشد جهان سطح آن نیز، سطحی بسته را تشکیل می‌دهد. با مقایسه با ذره نسبیتی می‌توان به نتایج زیر رسید :

۱) کنش ریسمان نسبیتی باید با ویژه سطح آن متناسب باشد.

۲) با توجه به وابستگی کنش با ویژه سطح، باید ضریبی با دیمانسیون عکس طول در کنش ضرب شود تا دیمانسیون کنش حفظ شود.

کنشی که با این ویژگیها برای ریسمان نسبیتی به دست می‌آید، اولین بار توسط نامبو و گوتو بدست آمد و به کنش نامبو- گوتو<sup>۲</sup> معروف است. برای نوشتن کنش ابتدا ویژه سطح را در جهان سطح واقع در فضای هدف بدست می‌آوریم و سپس کنش را می‌نویسیم.



شکل (۱ - ۹) المان سطح رویه

<sup>۱</sup> Relativistic String Action  
<sup>۲</sup> Nambu-Goto Action

$$dA = \left| \overrightarrow{dv_1} \times \overrightarrow{dv_2} \right| = \left| \overrightarrow{dv_1} \right| \left| \overrightarrow{dv_2} \right| \sin \theta = \sqrt{dv_1^2 dv_2^2 - dv_1^2 dv_2^2 \cos^2 \theta} \quad (23-1)$$

$$dA = \sqrt{(\overrightarrow{dv_1} \cdot \overrightarrow{dv_1})(\overrightarrow{dv_2} \cdot \overrightarrow{dv_2}) - (\overrightarrow{dv_1} \cdot \overrightarrow{dv_2})^2} \quad (24-1)$$

اگر جهان سطح را با  $\sigma, \tau$  پارامتریزه کنیم :

$$\begin{cases} \overrightarrow{dv_1} = \frac{\partial \vec{x}}{\partial \sigma} d\sigma \\ \overrightarrow{dv_2} = \frac{\partial \vec{x}}{\partial \tau} d\tau \end{cases} \quad (25-1)$$

$$dA = d\sigma d\tau \sqrt{\left( \frac{\partial \vec{x}}{\partial \sigma} \cdot \frac{\partial \vec{x}}{\partial \sigma} \right) \left( \frac{\partial \vec{x}}{\partial \tau} \cdot \frac{\partial \vec{x}}{\partial \tau} \right) - \left( \frac{\partial \vec{x}}{\partial \sigma} \cdot \frac{\partial \vec{x}}{\partial \tau} \right)^2} \quad (26-1)$$

با توجه به اینکه جمله دوم زیر را دیکال بیشتر از جمله اول آن است، پس برای مثبت شدن زیر را دیکال باید جای جملات عوض شود. چون دیمانسیون سطح است، پس باید کمیتی  $T_0$  در کنش ضرب شود تا دیمانسیون کنش (زمان  $\times$  انرژی) شود. این عبارت خواهد بود که  $T_0 = \frac{c}{c}$  کشش ریسمان و  $c$  سرعت نور است.

$$\begin{cases} [T_0] = \frac{ML}{T^2} \\ [c] = \frac{L}{T} \end{cases} \Rightarrow \left[ \frac{T_0}{c} \right] = \frac{M}{L} \Rightarrow \frac{M}{L} \times L^2 = \frac{ML^2}{T^2} \times T = Energy \times Time$$

در نتیجه کنش ریسمان نسبیتی عبارتست از :

$$S = -\frac{T_0}{c} \int_{\tau_i}^{\tau_f} d\tau \int_0^\sigma d\sigma \sqrt{\left( \frac{\partial \vec{x}}{\partial \sigma} \cdot \frac{\partial \vec{x}}{\partial \tau} \right)^2 - \left( \frac{\partial \vec{x}}{\partial \sigma} \cdot \frac{\partial \vec{x}}{\partial \sigma} \right) \left( \frac{\partial \vec{x}}{\partial \tau} \cdot \frac{\partial \vec{x}}{\partial \tau} \right)} \quad (27-1)$$

با انتخاب ایستا<sup>۱</sup> ( $\sigma = r, \tau = t$ ) کنش نامبو-گوتو به صورت زیر خواهد بود :

---

<sup>۱</sup> Static Gauge

$$S = -\frac{T_0}{c} \int dt \int dr \sqrt{\left(\dot{\vec{x}} \cdot \vec{x}\right)^2 - \vec{x}^2 \vec{x}^2} \quad (28-1)$$

### ۱۱-۱- معادلات حرکت ریسمان نسبیتی<sup>۱</sup>

اکنون که کنش ریسمان نسبیتی (نامبو-گوتو) را بدست آوردیم می توانیم با محاسبه وردش کنش و

صفر کردن آن معادلات حرکت ریسمان نسبیتی را بنویسیم :

$$\begin{cases} S = -\frac{T_0}{c} \int d\tau \int d\sigma \sqrt{\left(\dot{\vec{x}} \cdot \vec{x}\right)^2 - \vec{x}^2 \vec{x}^2} \\ \mathfrak{J} = -\frac{T_0}{c} \sqrt{\left(\dot{\vec{x}} \cdot \vec{x}\right)^2 - \vec{x}^2 \vec{x}^2} \end{cases} \Rightarrow S = \int \int \mathfrak{J} d\tau d\sigma \quad (29-1)$$

$$\mathfrak{J} = \mathfrak{J}(x^\mu, x'^\mu) \Rightarrow \delta \mathfrak{J} = \frac{\partial \mathfrak{J}}{\partial x^\mu} \delta x'^\mu + \frac{\partial \mathfrak{J}}{\partial x'^\mu} \delta x^\mu = \frac{\partial \mathfrak{J}}{\partial x^\mu} \frac{\partial}{\partial \tau} \delta x^\mu + \frac{\partial \mathfrak{J}}{\partial x'^\mu} \delta x'^\mu \quad (30-1)$$

$$\delta S = \int \int \delta \mathfrak{J} d\tau d\sigma = \int \int d\tau d\sigma \left( \frac{\partial \mathfrak{J}}{\partial x^\mu} \frac{\partial}{\partial \tau} \delta x^\mu + \frac{\partial \mathfrak{J}}{\partial x'^\mu} \delta x'^\mu \right) \quad (31-1)$$

با صفر کردن وردش و استفاده از روش جزء به جزء :

$$\begin{aligned} \delta S &= \int \int d\tau d\sigma \left\{ \frac{\partial}{\partial \tau} \left( \frac{\partial \mathfrak{J}}{\partial x^\mu} \delta x^\mu \right) - \frac{\partial^2 \mathfrak{J}}{\partial \tau \partial x^\mu} \right\} + \int \int d\tau d\sigma \\ &\left\{ \frac{\partial}{\partial \sigma} \left( \frac{\partial \mathfrak{J}}{\partial x'^\mu} \delta x'^\mu \right) - \frac{\partial^2 \mathfrak{J}}{\partial x'^\mu \partial \sigma} \delta x'^\mu \right\} = 0 \end{aligned} \quad (32-1)$$

به دلیل صفر شدن وردش در نقاط ابتدا و انتها ، جمله مشخص شده در رابطه بالا صفر می شود.

$$\delta S = \int_{\tau_i}^{\tau_f} d\tau \left( \underline{\delta x^\mu \frac{\partial \mathfrak{J}}{\partial x'^\mu}} \right) \Big|_0^{\sigma_1} - \int_{\tau_i}^{\tau_f} d\tau \int_0^{\sigma_1} d\sigma \delta x^\mu \left( \frac{\partial^2 \mathfrak{J}}{\partial \tau \partial x^\mu} + \frac{\partial^2 \mathfrak{J}}{\partial x'^\mu \partial \sigma} \right) \quad (33-1)$$

<sup>۱</sup> Relativistic String Equations Of Motion

با برقراری شرط مرزی دیریکله یا نیومان ، جمله زیر خط دار صفر می شود [۱]. در نتیجه :

$$\delta S = 0 \Rightarrow \frac{\partial P_\mu^\tau}{\partial \tau} + \frac{\partial P_\mu^\sigma}{\partial \sigma} = 0 \quad \left\{ \begin{array}{l} P_\mu^\tau = \frac{\partial \mathfrak{J}}{\partial \dot{x}^\mu} \\ P_\mu^\sigma = \frac{\partial \mathfrak{J}}{\partial x'^\mu} \end{array} \right. \quad (34-1)$$

# *AdS / CFT Correspondence*

## فصل دوم

### *AdS / CFT*

❖ فضای آنتی دوسيته

❖ نظريه ميدان همديس

❖ تقارن همديس

❖ تبديلات همديس

❖ اصل هولوگرافی

❖ دوگانی  $AdS/CFT$

❖ نگاشت بین پارامترهای نظریه ریسمان و نظریه ابر تقارنی یانگ - میلز

## $AdS/CFT$

پیش از این که به توضیح این دو گانی بپردازیم ، ابتدا توضیح مختصری در مورد هر کدام از واژه های تشکیل دهنده این عبارت ، یعنی فضای آنتی دوسیته<sup>۱</sup> ( $AdS$ ) و نظریه میدان همدیس<sup>۲</sup> ( $CFT$ ) داشت :

### ۱-۲ فضای آنتی دوسیته

فضا - زمان پنج بعدی آنتی دوسیته ، جواب های متقارن معادله میدان اینشتین با ثابت کیهانشناسی منفی هستند. فضای آنتی دوسیته را به صورت  $AdS_5$  نشان می دهند. فضا زمان ده بعدی در این

---

<sup>۱</sup> Anti-De Sitter Space  
<sup>۲</sup> Conformal Field Theory

همسانی به شکل  $AdS_5 \times S^5$  نشان داده می شود که پنج بعد آن روی ابر کره هایی پنج بعدی فشرده شده است و پنج بعد دیگر آن در فضای غیر فشرده آنتی دوسيته  $AdS_5$  قرار دارد. اين فضای پنج بعدی داراي سه بعد مکاني (همان ابعاد معمول فضائي) يك بعد زمانی و يك بعد هولوگرام می باشد. بعد هولوگرام يا بعد شعاعي<sup>۱</sup>، بعدی است که در ابعاد بالاتر قرار دارد.

فضاي پنج بعدی آنتی دوسيته را می توان به صورت زير در نظر گرفت :

$$-X_0^2 - X_1^2 + X_2^2 + X_3^2 + X_4^2 = R^2 \quad (1-2)$$

در نتيجه متريک اين فضا عبارتست از :

$$ds^2 = -dX_0^2 - dX_1^2 + dX_2^2 + dX_3^2 + dX_4^2 \quad (2-2)$$

همان طور که ملاحظه می شود دو مختصه  $(X_0, X_1)$  زمان گونه<sup>۲</sup> می باشند. در حقیقت می توان اين فضا را از ضرب يك فضاي پنج بعدی (مينکوفسکي) در يك بعد شعاعي (بعد هولوگرام) به دست آورد ، با اين تفاوت که فضاي مينکوفسکي پنج بعدی دیگر فضاي تخت<sup>۳</sup> نيست. فاصله بين دو نقطه در اين فضا همان متريک فضا خواهد بود. رابطه (2-1) معادله فوق کره اي به شعاع ( $R$ ) در اين فضا می باشد. می توان اين رابطه را از ترکيب دو رابطه زير به دست آورد :

$$-X_0^2 - X_1^2 = R^2 - r^2, \quad X_2^2 + X_3^2 + X_4^2 = r^2 \quad (3-2)$$

نشان داده می شود که فاصله بين دو نقطه در اين فضا عبارتست از :

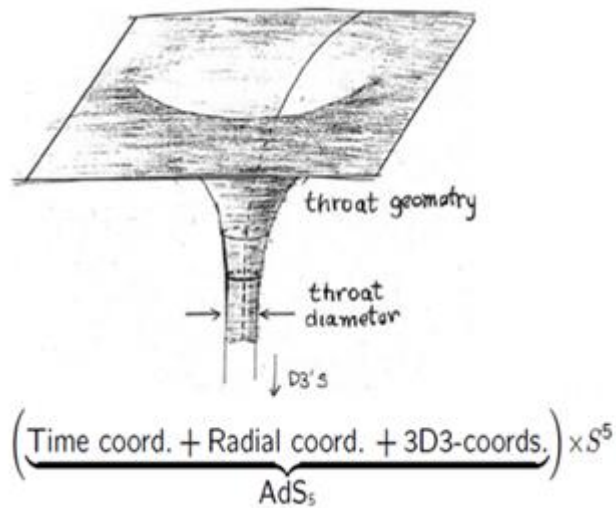
$$ds^2 = -\left(1 + \frac{r^2}{R^2}\right)d\vec{X}^2 + \frac{dr^2}{1 + \frac{r^2}{R^2}} + r^2 dt^2 \quad (4-2)$$

در رابطه متريک بالا ،  $\vec{X}$  مختصات سه بعد فضائي واقعی ،  $r$  مختصه مربوط به بعد شعاعي فضائي يا همان بعد هولوگرام ،  $t$  مختصه زمانی و  $R$  خمس فضا زمان در فضای  $AdS$  است.

<sup>۱</sup> Radial Dimension

<sup>۲</sup> Time Like

<sup>۳</sup> Flat Space



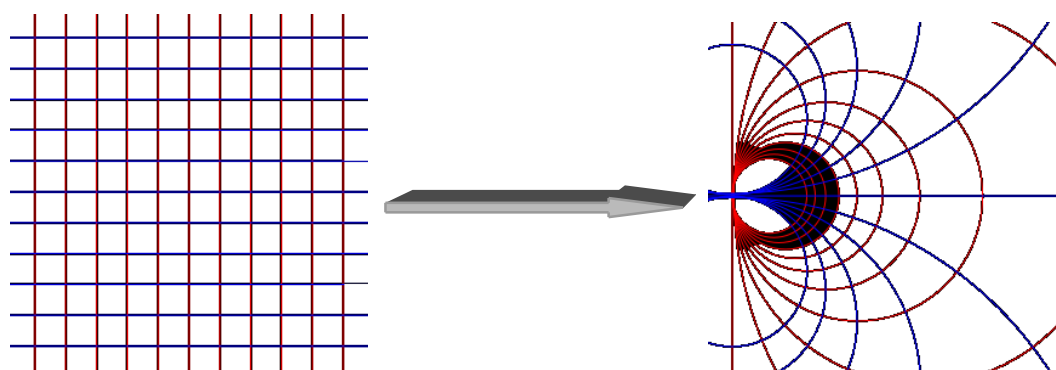
شکل (۱-۲) نمایی از فضای  $AdS$

## ۲-۲ نظریه میدان همدیس<sup>۱</sup>

برای توضیح این نظریه ابتدا اشاره مختصری به تقارن همدیس<sup>۲</sup> خواهیم داشت.

### ۱-۲-۱ تقارن همدیس

تقارن همدیس ، تقارن تحت تغییر مقیاس است. در حقیقت در این نوع تقارن ، فیزیک مسئله تحت تغییر مقیاس تغییر نمی کند.



شکل (۲-۲) نگاشت همدیس

---

<sup>۱</sup> Conformal Field Theory  
<sup>۲</sup> Conformal Symmetry

همانطور که از شکل ها مشخص است در تبدیل همدیس زاویه بین خطوط تشکیل دهنده فضا ثابت است. می توان گفت که این تقارن ، تقارنی واقعی در طبیعت نیست و به این دلیل به آن علاقه داریم که در شرایط بحرانی خاصی چون گذار فاز و شکست تقارن ها می توان از این نوع تقارن برای مطالعه فیزیک مسئله استفاده کرد. چنین پدیده هایی در ماده چگال مطالعه می شوند و به تازگی کاربردهای  $AdS/CFT$  در این شاخه از فیزیک ، بسیار مورد توجه قرار گرفته است[۷].

## ۲-۲-۲ تبدیلات همدیس<sup>۱</sup>

به تبدیل هایی که از تقارن همدیس پیروی می کنند ، تبدیلات همدیس می گویند. این تبدیل ها به همراه تبدیلات لورنتس<sup>۲</sup> ، انتقال<sup>۳</sup> و دوران<sup>۴</sup> یک گروه را تشکیل می دهند که به آن گروه تقارنی همدیس<sup>۵</sup> گفته می شود. نمایش گروه تقارنی همدیس به صورت زیر است :

$$\begin{cases} M_{\mu\nu} = i(x_\mu \partial_\nu - x_\nu \partial_\mu) \\ P_\mu = -i \partial_\mu \\ D = -i x_\mu \partial^\mu \\ K_\mu = i(x^2 \partial_\mu - 2x_\mu x_\nu \partial^\nu) \end{cases} \quad (5-2)$$

که در این روابط  $(M_{\mu\nu})$  مولدهای لورنتس ،  $(P_\mu)$  مولد انتقال ،  $(D)$  مولد تغییر مقیاس ،  $(K_\mu)$  مولد تبدیلات همدیس خاص می باشند. اندیسهای  $\mu, \nu$  با توجه به تعداد ابعاد از ۱ تا  $n$  تغییر میکند. روابط جابجایی<sup>۶</sup> این عملگرها به صورت زیر است :

---

<sup>۱</sup> Conformal Transformations  
<sup>۲</sup> Lorentz Transformations  
<sup>۳</sup> Transmission  
<sup>۴</sup> Rotation  
<sup>۵</sup> Conformal Symmetry Group  
<sup>۶</sup> Commutation Relations

$$\begin{cases} [D, K_\mu] = -i K_\mu \\ [D, P_\mu] = i P_\mu \\ [K_\mu, P_\nu] = 2i \eta_{\mu\nu} D - 2i M_{\mu\nu} \\ [K_\mu, M_{\nu\rho}] = i (\eta_{\mu\nu} K_\rho - \eta_{\mu\rho} K_\nu) \\ [P_\rho, M_{\mu\nu}] = i (\eta_{\rho\mu} P_\nu - \eta_{\rho\nu} P_\mu) \\ [M_{\mu\nu}, M_{\rho\sigma}] = i (\eta_{\nu\rho} M_{\mu\sigma} + \eta_{\mu\sigma} M_{\nu\rho} - \eta_{\mu\rho} M_{\nu\sigma} - \eta_{\nu\sigma} M_{\mu\rho}) \end{cases} \quad (6-2)$$

## ۳-۲ اصل هولوگرافی<sup>۱</sup>

ایده هولوگرافی

خاستگاه این ایده مطالعه ترمودینامیک سیاهچاله ها بود ، و اولین بار توسط ساسکینند<sup>۲</sup> مطرح شد.  
بکنستاین و هاوکینگ نشان دادند که سیاهچاله ها را می توان سیستم هایی از دما و آنتروپی در نظر گرفت. دما مستقیماً به تابش جسم سیاه از سیاهچاله مرتبط است ، در حالی که آنتروپی آن از طریق رابطه زیر به سطح افق سیاهچاله مرتبط میشود.

$$S = \frac{A}{4G} \quad (7-2)$$

که در این رابطه ( $A$ ) مساحت افق سیاهچاله و ( $G$ ) ثابت جهانی گرانش می باشند و در حقیقت هنگامی در فیزیک از آنتروپی و دما صحبت می شود که سیستم مورد مطالعه دارای درجه آزادی باشد. همانطور که می دانیم آنتروپی یک سیستم ، تعداد درجات آزادی سیستم مورد نظر است. سیاهچاله ها موجوداتی فرو رفته در خود هستند که در نقطه تکین آنها هم میدان گرانش بسیار شدید است و هم اندازه ها در محدوده های اتمی و زیر اتمی است. در نتیجه در این نقاط تکین هر دو نظریه نسبیت عام و مکانیک کوانتومی باید برقرار باشند.

---

<sup>۱</sup> Holographic Principle  
<sup>۲</sup> Susskind

بسیار شگفت آور است که برای چنین سیستمی که دارای ذره یا درجه آزادی نیست می توان آنتروپی تعریف کرد و از آن شگفت آورتر این که آنتروپی سیاهچاله طبق رابطه بالا با مساحت افق آن متناسب است. اگر گرانش مانند یک نظریه میدان موضعی<sup>۱</sup> عمل کند ، انتظار می رود که آنتروپی متناسب با حجم باشد . یک تصویر سازگار به ما می گوید که گرانش در  $(d)$  بعد معادل با یک نظریه میدان موضعی در  $(d-1)$  بعد است [۷]. در این صورت آنتروپی در نظریه گرانش که با سطح سیاهچاله متناسب دارد ، در نظریه میدان موضعی متناسب با حجم خواهد بود. این وضعیت مانند عکس های هولوگرام است که تمام اطلاعات فضای سه بعدی را می توان در یک تصویر دو بعدی هولوگرافیک جای داد. در نتیجه بنا به اصل هولوگرافی :

برای هر نظریه میدان پیمانه ای در  $d$  بعد می توان یک نظریه معادل گرانشی در  $(d+1)$  یافت.

## ۴-۲ دوگانی ( $AdS/CFT$ )

این دوگانی اشاره به نوعی دو گانی بین نظریه بدون گرانش و نظریه با وجود نیروی گرانش دارد که نوعی دوگانی پیمانه ای / گرانشی<sup>۲</sup> می باشد . یکی از این تطابق های پیمانه ای / گرانشی در سال ۱۹۹۷ توسط مالدانسا<sup>۳</sup> ارائه شد . بر اساس این نظریه تطابق دقیقی بین نظریه ریسمان نوع ( $IIB$ ) که در فضای  $AdS_5 \times S^5$  فشرده شده است و یک نظریه ابر تقارنی یانگ میلز<sup>۴</sup> با ابر تقارنی  $(N=4)$  وجود دارد. نظریه ابر تقارنی یانگ میلز ، شامل میدان های نابجاست که از جبر غیر آبلی پیروی کرده و تقارن همدیس دارند. از آنجایی که نظریه ابر تقارنی یانگ میلز یک نظریه پیمانه ای با ثابت پیمانه ای بزرگ است و این نظریه برای توصیف محیط هایی با اندر کنش های شدید ، به کار می رود ، از این دوگانی می توان در کلیه مواردی که محیط مورد مطالعه دارای اندر کنش های قوی باشند

---

<sup>۱</sup> Local Field Theory

<sup>۲</sup> Gauge-Gravity Duality

<sup>۳</sup> Maldacena

<sup>۴</sup> Yang-Mills Supersymmetry

استفاده کرد. از جمله این موارد می توان به مطالعه : محیط کوارک – گلوئون پلاسم<sup>۱</sup> ، ابر رساناهای دمای بالا<sup>۲</sup> ، مایع های غیر فرمی<sup>۳</sup> اشاره کرد[۹]. با استفاده از این دوگانی می توان در مواردی ، به جای مطالعه سیستم هایی با اندر کنش بالا ، که مطالعه و تحلیل آنها با روشهای اختلالی میسر نیست از محاسبات در دوگان نظری استفاده کرده و به راحتی ویژگی های دینامیکی محیط را بررسی کرد. به عبارت دیگر می توان در مواردی که ضریب جفت شدگی<sup>۴</sup> در یکی از این دوگان ها بزرگ بوده و محاسبات بسیار پیچیده می شوند ، از دوگان نظریش استفاده کرد. در ادامه نشان خواهیم داد که پیچیدگی محاسبات در یکی از دوگان ها ، در دوگان دیگر منجر به سادگی آنها می شود.

## ۲-۵ نگاشت بین پارامترهای نظریه ریسمان و نظریه ابر تقارنی یانگ میلز

به منظور نشان دادن این نکته که دوگانی ( $AdS/CFT$ ) مثالی از دوگانی بین جفت شدگی های ضعیف و قوی می باشد ، ارتباط بین پارامترها در دو نظریه را بررسی می کنیم.

### پارامترهای نظریه ریسمان

(۱) طول ریسمان ( $l_s$ ) که کمیتی بعد دار است. در حقیقت طول ریسمان را می توان مقیاسی برای میزان افت و خیزهای جهان سطح ریسمان در نظر گرفت که همان

<sup>۱</sup> Quark-Gluon Plasma

<sup>۲</sup> High Temperature Superconductors

<sup>۳</sup> Non Fermi Liquids

<sup>۴</sup> Coupling Constant

محدوده اصل عدم قطعیت ریسمان است. طول ریسمان در محدوده طول پلانک است. ( $l_s = 10^{-35} m$ )

(۲) ثابت جفت شدگی ریسمان ( $g_s$ ) که نشان دهنده شدت بر همکنش ریسمانها به هنگام جدایی و یا اتصال می باشد و کمیتی بدون بعد است.

(۳) شعاع کره  $S^5$  در واحد طول ریسمان که برابر با  $\frac{R}{\sqrt{\alpha'}}$  است. که در آن،  $R$  انحنای فضای  $AdS_5 \times S^5$  و کمیتی بعد دار می باشد.

### پارامترهای نظریه میدان یانگ - میلز<sup>۱</sup>

(۱) ابر تقارنی چهار ( $N = 4$ ) که نشان دهنده مرتبه<sup>۲</sup> تانسورها در گروههای پیمانه ای  $SU(N)$  می باشد.

(۲) ثابت جفت شدگی پیمانه ای<sup>۳</sup> ( $g_{YM}^2$ ) که کمیتی بدون بعد است و شدت بر همکنش ها در نظریه پیمانه ای را نشان می دهد.

### ارتباط بین کمیتها

نظریه ریسمان      تئوری پیمانه ای یانگ - میلز

$$(N, g_{YM}) \quad \left( g_s, \frac{R}{\sqrt{\alpha'}} \right)$$

نشان داده می شود که این دو نظریه زمانی هم ارز هستند که رابطه زیر بین پارامترهای آنها برقرار باشد:

<sup>۱</sup> Yang-Mills Parameters

<sup>۲</sup> Rank

<sup>۳</sup> Gauge Coupling Constant

$$\left( \frac{R}{\sqrt{\alpha'}} \right)^4 = g_{YM}^2 N \equiv \lambda \quad (8-2)$$

$$(g_s = g_{YM}^2) \quad (9-2)$$

در روابط بالا ( $\alpha'$ ) (String Slope) یک ضریب ثابت است.

محاسبات در نظریه ریسمان وقتی ساده است که :

$$g_s \ll 1, \frac{R}{\sqrt{\alpha'}} \gg 1 \quad (10-2)$$

همچنین محاسبات در نظریه ابر تقارنی یانگ - میلز وقتی ساده است که :

$$\lambda \ll 1 \text{ (Small t'Hooft Coupling)}$$

در نتیجه با توجه به روابط بین کمیتها هنگامی که محاسبات در نظریه پیمانه ای بسیار پیچیده است

: (Strongly Coupled) استفاده کرد (Strongly Coupled) استفاده کرد

$$\lambda \gg 1 \Rightarrow \frac{R}{\sqrt{\alpha'}} \gg 1 \quad (11-2)$$

پس در این حالت با توجه به رابطه (10) داریم :

$$g_s \ll 1 \Rightarrow g_{YM}^2 \ll 1 \quad (12-2)$$

یعنی با توجه به اینکه ( $N \gg 1$ ) برای اینکه ( $g_{YM}^2 \ll 1$ ) باشد باید

پس با توجه به روابط ، واضح است که هنگامی که محیط مورد نظر دارای ثابت بر همکنش بالا بوده و

برهمکنش ها در محیط قوی باشند و نتوان در این محیط از بسط های اختلالی استفاده کرد می توان

محاسبات دوگان را با استفاده از نظریه ریسمان با در نظر گرفتن گرانش انجام داد و اطمینان داشت

که محاسبات در این حالت ساده و قابل انجام هستند.

<sup>1</sup> Perturbative Expansions



## نظریه ریسمان و تعیین نیروی کششی وارد بر کوارک

## فصل سوم

### نظریه ریسمان و تعیین نیروی کششی وارد بر کوارک

- ❖ محاسبه نیروی کششی با استفاده از معادلات حرکت ریسمان
- ❖ محاسبات در ابعاد مختلف
- ❖ محاسبات در دو بعد فضا زمانی
- ❖ محاسبات در سه بعد فضا زمانی
- ❖ محاسبات در چهار بعد فضا زمانی
- ❖ محاسبات در چهار بعد فضا زمانی با در نظر گرفتن تصحیحات گاوس بونت
- ❖ زمان واهلش
- ❖ زمان واهلش در دو بعد فضا زمانی
- ❖ زمان واهلش در چهار بعد فضا زمانی
- ❖ زمان واهلش در چهار بعد فضا زمانی با در نظر گرفتن تصحیحات گاوس بونت
- ❖ نتیجه گیری و تحلیل نتایج

## ۱-۳ محاسبه نیروی کششی با استفاده از معادلات حرکت ریسمان

### ۱-۱-۳ تاریخچه :

همان طور که در فصل دوگانی گفته شد یکی از انواع دوگانی ها ، که دو گانی پیمانه ای / گرانشی است ، دوگانی ( $AdS/CFT$ ) است که برای مطالعه محیط هایی با ثابت بر همکنش قوی<sup>۱</sup> بسیار مورد استفاده قرار می گیرد. یکی از این موارد محیط پلاسمای کوارک-گلوئونی<sup>۲</sup> است. همانطور که می دانیم طبق اصل محبوسیت<sup>۳</sup> ، کوارک ها را نمی توان به صورت آزاد یافت. ولی در شرایط خاص و بحرانی و در دماها و فشارهای زیاد می توان کوارک ها و گلوئون های آزاد داشت. این شرایط در لحظات اولیه انفجار بزرگ نیز وجود داشته است. در سال ۲۰۰۴ میلادی فیزیکدانها در برخورد دهنده<sup>۴</sup> توансند شرایط اولیه انفجار بزرگ را مشابه سازی کرده و پلاسمای کوارک گلوئونی را به وجود آورند. این برخورد دهنده که در بروکهیون لانگ آیلند در نزدیکی نیویورک قرار دارد ، می تواند به ذرات تا ۱۰۰ برابر جرم سکون پروتون انرژی بدهد. در این برخورد دهنده ، از یون های طلا استفاده می شود ، که هسته آنها دارای ۲۰۰ نوکلئون است. بر اثر برخورد یون های سنگین طلا و واپاشی آنها شرایط برای شکل گیری پلاسمای کوارک گلوئونی فراهم می شود. در لحظات بسیار کوتاه اولیه ماده در این فاز قرارداده ولی بر اثر گسترش توب آتشین<sup>۵</sup> اولیه و سرد شدن آن هادرونها<sup>۶</sup> شکل می گیرند و ماده وارد فاز هادرونی<sup>۷</sup> می شود. تمامی اطلاعاتی که فیزیکدان ها از این محیط بسیار داغ و چگال کسب می کنند بوسیله تابش الکترومغناطیسی زمینه و رد و اثر باقیمانده از هادرون های خروجی است که توسط چهار آشکارساز (STAR , PHENIX , PHOBOS , BRAHMS ) ثبت می شوند. بر اثر برخورد یونهای طلا به

<sup>۱</sup> Strongly Coupled

<sup>۲</sup> Quark-Gluon Plasma

<sup>۳</sup> Confinement

<sup>۴</sup> Relativistic Heavy Ion Collider

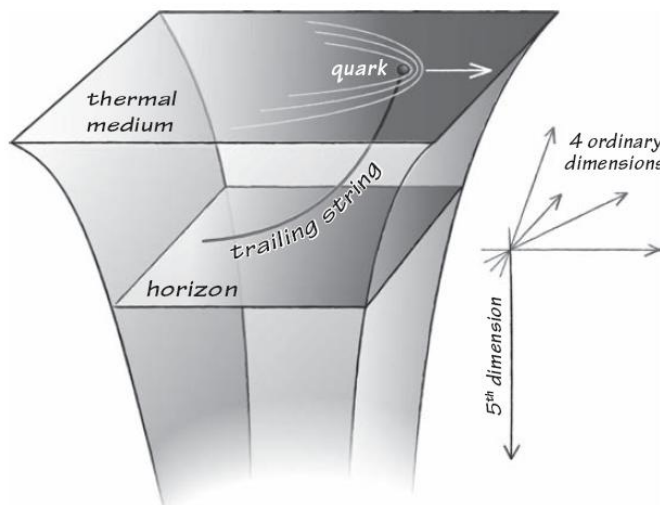
<sup>۵</sup> Fire Ball

<sup>۶</sup> Hadrons

<sup>۷</sup> Hadronic Phase

یکدیگر، دما به حدود ۳۲ تریلیون درجه کلوین ( $300\text{ Mev}$ ) میرسد و پروتون ها و نوترون ها به کوارک ها و گلوبن های تشکیل دهنده خود تفکیک می شوند. در این محیط ، کوارک ها و گلوبن ها به حالت آزاد وجود داشته و بر همکنش ها بین کوارک-کوارک ، کوارک-گلوبن و گلوبن-گلوبن وجود دارند. برای مطالعه این محیط نمی توان از روش های اختلالی استفاده کرد ، زیرا ضریب جفت شدگی زیاد است و نمی توان سهم مراتب بالاتر پراکندگی ها را در نمودارهای فاینمن نادیده گرفت.

یکی از موارد بسیار مفید استفاده از دوگانی ( $AdS/CFT$ ) مطالعه این محیط می باشد. برای مطالعه حرکت کوارک سنگین در این محیط با استفاده از دوگانی و نظریه ریسمان می توان ریسمانی با طول بی نهایت را که از محیط ( فضا زمان چهار بعدی در مرز بی نهایت ) تا افق سیاهچاله کشیده شده است را در نظر گرفت. طول بی نهایت ریسمان متناظر با جرم زیاد کوارک است. در منابع [۱۰] و [۱۱] نشان داده شده است که دمای محیط ، متناظر با در نظر گرفتن سیاهچاله در فضای توده است. در حقیقت دمای محیط با دمای هاوکینگ سیاهچاله متناظر می باشد. به دلیل این که محیط ، دارای بار الکتریکی است ، سیاهچاله در نظر گرفته شده از نوع سیاهچاله  $RN^1$  است که به توصیف هندسه فضای اطراف یک سیاهچاله دارای بار الکتریکی می پردازد .



شکل (۱-۳) نمایی از دوگانی  $AdS/CFT$

<sup>1</sup> Reissner-Nordstrom Black Hole

شکل صفحه قبل نمایی کلی از محیط مورد نظر را نشان می دهد. کوارک در حال حرکت در فضا زمان چهار بعدی و در یک محیط گرمایی با بر همکنش های قوی است که نظریه میدان همدیس (*CFT*) در آن برقرار است. این محیط همان محیط پلاسمای کوارک گلوئونی است که چون ثابت بر همکنش بالا است، نمی توان از روش‌های اختلالی برای محاسبات استفاده کرد. ریسمانی به کوارک متصل است که تا افق سیاهچاله، که در فضای توده قرار گرفته است، امتداد می یابد و سر دیگر آن به افق سیاهچاله می رسد. همان طور که گفته شد، به دلیل وجود دما و بار الکتریکی سیاهچاله ای از نوع  $RN$  در فضای توده، در نظر گرفته شده است. با استفاده از نظریه ریسمان، نیروی کششی وارد بر کوارک را به وسیله مطالعه دینامیک ریسمان متصل به آن تعیین می کنیم [۵] و [۶].

### ۲-۱-۳ مقدمه

برای تعیین نیروی کششی وارد بر کوارک سنگین، همانطور که از دو گانی  $AdS/CFT$  می دانیم، کوارک را انتهای ریسمانی می گیریم که از مرز فضا زمان شروع شده و تا افق سیاهچاله امتداد می یابد. چنان که ذکر شد، سیاهچاله ای مورد نظر، از نوع سیاهچاله  $RN$  است. سیاهچاله های  $AdS$  دارای بار الکتریکی و بدون چرخش می باشند. متريک فضای  $AdS$  در حضور سیاهچاله را نوشه و سپس تانسور متريک را به دست می آوریم. با داشتن تانسور متريک، مشتق های مورد نظر در کنش نامبو - گوتو تعیین شده و با استفاده از آنها، معادلات حرکت را می نویسیم. از معادلات حرکت به ثابت های حرکت می رسیم. از این ثابت های حرکت برای تعیین نیروی کششی استفاده می کنیم. فضا زمان محیط را  $d$  بعدی در نظر می گیریم. متريک فضای  $AdS$  در حضور سیاهچاله  $RN$  به صورت زیر است:

$$ds^2 = G_{\mu\nu} dx^\mu dx^\nu = \frac{r^2}{R^2} (-f dt^2 + \sum_i dx_i^2) + \frac{R^2}{r^2 f} dr^2 \quad (1-3)$$

که در آن،  $\vec{X}$  مختصات ابعاد فضایی،  $r$  مختصه مربوط به بعد هولوگرام،  $t$  مختصه زمانی و  $R$

خمش فضا زمان در فضای  $AdS$  است. افق سیاهچاله در  $r_0$  قرار دارد. همچنین  $f$  عبارتست از :

$$f(r) = 1 - \frac{M}{r^d} + \frac{Q^2}{r^{2d-2}} \quad (2-3)$$

که در آن ،  $M$  و  $Q$  جرم و بار سیاهچاله هستند.

با استفاده از متریک ، می توان تانسور متریک را به صورت زیر نوشت :

$$G_{\mu\nu} = \begin{pmatrix} -\frac{r^2 f}{R^2} & 0 & 0 & 0 \\ 0 & \frac{r^2}{R^2} & 0 & 0 \\ 0 & 0 & \frac{r^2}{R^2} & 0 \\ 0 & 0 & 0 & \frac{r^2}{R^2} \end{pmatrix} \quad (3-3)$$

همچنین دمای سیاهچاله از رابطه زیر به دست می آید [۹] :

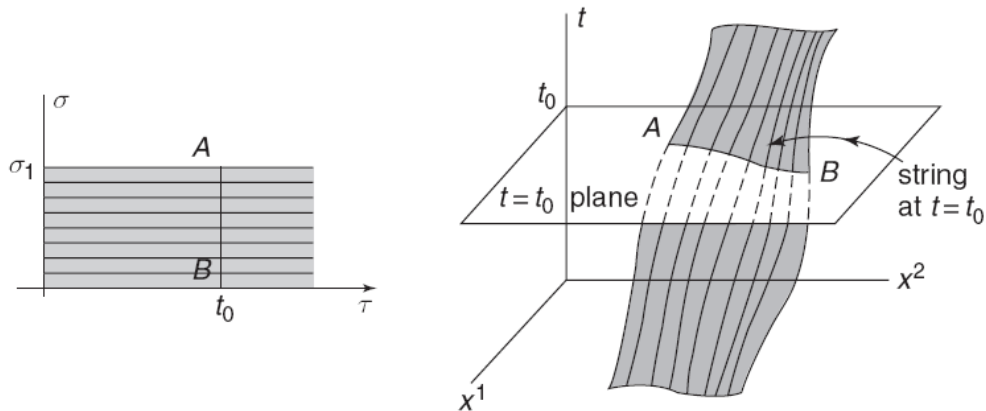
$$T = \frac{dr_0}{4\pi R^2} \left( 1 - \frac{(d-2)Q^2}{dr_0^{2d-2}} \right) \quad (4-3)$$

ریسمان را می توان به صورت های مختلف پارامتریزه کرد و از آنجایی که کنش ریسمان مستقل از این پارامتریزه کردن است ، به دنبال پارامترهایی هستیم که حل معادلات حرکت در آنها آسان تر باشد . استقلال کنش ریسمان از انتخاب پارامتر بندی آن <sup>۱</sup> ، مشابه استقلال معادلات دینامیکی از انتخاب پیمانه ها در الکترومغناطیس یا نظریه میدان های پیمانه ای می باشد. یکی از این انتخاب ها پیمانه ایستا <sup>۲</sup> است. برای درک پیمانه ایستا ، مطابق شکل (۲-۳) ، ابر سطح  $t = t_0$  را در فضای هدف در نظر می گیریم. تلاقی این ابر سطح با جهان سطح ریسمان ، یک منحنی است که همان شکل ریسمان در زمان  $t_0$  از نگاه ناظر لورنتزی است. به این نوع پیمانه که پارامتر  $\sigma$  طوری انتخاب می شود

---

<sup>۱</sup> Reparameterization Invariance  
<sup>۲</sup> Static Gauge

که در مقدار ثابت آن ، از دیدگاه ناظر لورنتزی ، ریسمان حالت ایستا داشته باشد و  $\tau = t$  زمان موضعی ریسمان باشد را پیمانه ایستا گویند. به عبارت دیگر ، در این پیمانه ، ریسمان را طوری پارامتریزه می کنیم که در هر لحظه زمانی ریسمان را در راستایی که جهان سطح آن ، با صفحه زمانی قطع کننده ، تلاقی دارد مشاهده کنیم.



شکل (۲-۳) فضای هدف ، جهان سطح و پیمانه ایستا

با انتخاب پیمانه ایستا و در نظر گرفتن حرکت خطی و یکنواخت کوارک در راستای محور  $x$  ، مشتق نسبت به زمان را با  $\dot{X}$  ، و مشتق نسبت به مختصه بعد هولوگرام را با  $\dot{X}'$  نشان می دهیم [۱۲].

در نتیجه خواهیم داشت :

$$X = X(t, x, 0, 0, \dots, r) \quad , \quad x = v t + x_0 \quad (5-3)$$

$$\begin{cases} \dot{X}_\mu = (1, \dot{x}, 0, \dots, 0) \\ \dot{X}'_\mu = (0, \dot{x}', 0, \dots, 1) \end{cases} \quad (6-3)$$

و کمیت های مورد نیاز در کنش نامبو - گوتورا می توان به دست آورد :

$$\left\{ \begin{array}{l} \dot{X}^{\mu} \cdot X^{\nu} = \dot{X}^{\mu} X^{\nu} G_{\mu\nu} = \frac{r^2}{R^2} \dot{x}^{\mu} \dot{x}^{\nu} \\ \dot{X}^{\mu} \dot{X}^{\nu} = \dot{X}^{\mu} \dot{X}^{\nu} G_{\mu\nu} - \frac{r^2}{R^2} f + \frac{r^2}{R^2} \dot{x}^{\mu} \dot{x}^{\nu} = \frac{r^2}{R^2} (-f + \dot{x}^{\mu} \dot{x}^{\nu}) \\ X^{\mu} \cdot X^{\nu} = X^{\mu} X^{\nu} G_{\mu\nu} = \frac{r^2}{R^2} x^{\mu} \cdot x^{\nu} + \frac{R^2}{r^2 f} \end{array} \right. \quad (7-3)$$

$$-g = (\dot{X}^{\mu} \cdot X^{\nu})^2 - X^{\mu} \cdot X^{\nu} = 1 - \frac{v^2}{f} + \frac{r^4}{R^4} x^{\mu} \cdot x^{\nu} \quad (8-3)$$

چگالی لاغرانژی عبارتست از :

$$\mathfrak{J} = -T_0 \sqrt{-g} = -T_0 \left( 1 - \frac{v^2}{f} + \frac{r^4}{R^4} x^{\mu} \cdot x^{\nu} \right)^{\frac{1}{2}} \quad (9-3)$$

اکنون با استفاده از چگالی لاغرانژی می توان معادلات حرکت کوارک را نوشت

که در معادلات حرکت  $P_{\mu}^{\tau}, P_{\mu}^{\sigma}$  ، ممتد های تعمیم یافته هستند که به صورت زیر تعریف می شوند :

$$\begin{aligned} P_{\mu}^{\tau} &= \frac{\partial \mathfrak{J}}{\partial \dot{x}^{\mu}} = -\frac{T_0}{c} G_{\mu\nu} \frac{x^{\nu} \left( \dot{x}^{\mu} \cdot \dot{x}^{\nu} \right) - x^{\mu} \dot{x}^{\nu}}{\sqrt{\left( \dot{x}^{\mu} \cdot \dot{x}^{\nu} \right)^2 - x^{\mu} \dot{x}^{\nu}}} \\ P_{\mu}^{\sigma} &= \frac{\partial \mathfrak{J}}{\partial x^{\mu}} = -\frac{T_0}{c} G_{\mu\nu} \frac{\dot{x}^{\nu} \left( \dot{x}^{\mu} \cdot \dot{x}^{\nu} \right) - x^{\mu} \dot{x}^{\nu}}{\sqrt{\left( \dot{x}^{\mu} \cdot \dot{x}^{\nu} \right)^2 - x^{\mu} \dot{x}^{\nu}}} \end{aligned} \quad (10-3)$$

$$P_{\mu}^t = \frac{\partial \mathfrak{J}}{\partial \dot{x}^t} \Rightarrow P_{\mu}^t = \frac{T_0}{\sqrt{-g}} \frac{\dot{x}^{\mu}}{f} \quad (11-3)$$

$$P_{\mu}^r = \frac{\partial \mathfrak{J}}{\partial x^r} \Rightarrow P_{\mu}^r = \frac{-T_0 r^4 f}{R^4 \sqrt{-g}} \dot{x}^{\mu} \quad (12-3)$$

با جایگزاری در معادله حرکت :

$$\frac{\partial}{\partial t} \left( \frac{T_0 v}{\sqrt{-g} f} \right) + \frac{\partial}{\partial r} \left( \frac{-T_0 r^4 f}{R^4 \sqrt{-g}} \dot{x}^r \right) = 0 \quad (13-3)$$

جمله زیر خط دار صفر است چون عوامل داخل پرانتز مستقل از زمان هستند.

$$\frac{r^4 f' x'}{\sqrt{-g}} = C \Rightarrow x'^2 = \frac{C^2 (-g)}{r^8 f^2} \quad (14-3)$$

با استفاده از روابط (8-3) و (3) :

$$-g = \frac{R^4 r^4 (f - v^2)}{r^4 R^4 f - C^2} \quad (15-3)$$

$$x'^2 = \frac{R^4 C^2 v^2 (1 - v^2 f^{-1})}{(r^4 R^4 f - C^2 v^2) r^4 f} \quad (16-3)$$

چون  $(r)$  در افق سیاهچاله صفر است :

$$f(r_0) = 0 \Rightarrow 1 - \frac{M}{r_0^d} + \frac{Q^2}{r_0^{2d-2}} = 0 \Rightarrow M = r_0^d + \frac{Q^2}{r_0^{d-2}} \quad (17-3)$$

با جایگزاری  $M$  از رابطه (17-3) در (2-3) :

$$f(r) = 1 - \left(\frac{r_0}{r}\right)^d + \frac{Q^2}{r^{2d-2}} - \frac{Q^2}{r^d r_0^{d-2}} \quad (18-3)$$

اگر  $f(r)$  را از (18-3) در (15-3) قرار دهیم :

$$-g = \frac{1 - \left(\frac{r_0}{r}\right)^d + \frac{Q^2}{r^{2d-2}} - \frac{Q^2}{r^d r_0^{d-2}} - v^2}{1 - \left(\frac{r_0}{r}\right)^d + \frac{Q^2}{r^{2d-2}} - \frac{Q^2}{r^d r_0^{d-2}} - C^2 r^{-4} R^{-4}} \quad (19-3)$$

در ادامه رفتار  $(-g)$  را در دو حالت حدی بررسی می کنیم. این دو حالت حدی عبارتند از:

۱) حالتی که  $r$  به سمت افق سیاهچاله  $(r_0)$  میل می کند.

$$r \rightarrow r_0 \Rightarrow \begin{cases} Num \Rightarrow -v^2 < 0 \\ Den \Rightarrow -C^2 r_0^{-4} R^{-4} < 0 \end{cases} \Rightarrow -g > 0 \quad (20-3)$$

۲) حالتی که  $r$  به سمت محیطی که کوارک در آن قرار دارد  $(\infty)$  میل می کند.

$$r \rightarrow \infty \Rightarrow \begin{cases} Num \Rightarrow 1 - v^2 > 0 \\ Den \Rightarrow 1 > 0 \end{cases} \Rightarrow -g > 0 \quad (21-3)$$

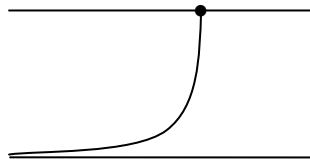
در این روابط ، صورت کسر را با  $Num$  و مخرج آن را با  $Den$  نمایش داده ایم. چون علامت  $(-g)$  در همه جا مثبت است ، پس باید در صورت وجود ریشه ، برای صورت و مخرج آن ، این ریشه ها بر یکدیگر منطبق باشند. در نتیجه برای تعیین ثابت  $C$  در رابطه  $(-g)$  باید ابتدا ریشه یا ریشه های صورت کسر  $(-g)$  را بدست آوریم و سپس آنها را در مخرج قرار دهیم :

$$f -v^2 = 0 \Rightarrow 1 - \frac{M}{r_C^d} + \frac{Q^2}{r_C^{2d-2}} - v^2 = 0 \Rightarrow A r_C^{2d-2} - M r_C^{d-2} + Q^2 = 0 \quad (22-3)$$

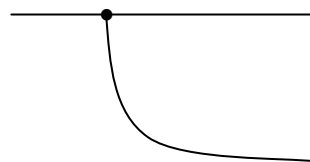
که در رابطه بالا  $(A = 1 - v^2)$  است

$$v^2 - C^2 r_C^{-4} R^{-4} = 0 \Rightarrow C^2 = v^2 r_C^4 R^4 \Rightarrow C = \pm v r_C^2 R^2 \quad (23-3)$$

آهنگ شارش انرژی ریسمان از بالا به پایین با  $P_x^r$  متناسب است و چون  $(P_x^r)$  با  $(C)$  متناسب است پس این شارش انرژی با  $(C)$  متناسب خواهد بود. علامت مثبت  $(C)$  نشان دهنده شارش انرژی از بالا به پایین یعنی از محیطی که کوارک در آن قرار دارد به سمت افق سیاهچاله است :



در حالی که علامت منفی  $(C)$  نشان دهنده شارش انرژی از افق سیاهچاله به سمت بالا می باشد :



در نتیجه علامت مثبت  $(C)$  که دارای مفهوم فیزیکی درست است ، قابل قبول می باشد. نیروی کششی وارد بر کوارک از رابطه زیر به دست می آید [۱۲] :

$$F = -T_0 C \quad (24-3)$$

هدف ما در ادامه ، حل معادله (3-22) و تعیین ریشه های آن به منظور تعیین ( $C$ ) و سپس بدست آوردن نیروی کششی در ابعاد ۲ و ۳ و ۴ با استفاده از رابطه (3-24) می باشد. در هر حالت می توان با حل عددی معادله دیفرانسیل (3-16) شکل ریسمان را تعیین نمود.

### ۲-۳ محاسبات در ابعاد مختلف

در این قسمت با استفاده از نتایج روش گفته شده در قسمت مقدمه ، می خواهیم نیروی کششی وارد بر کوارک را با استفاده از معادله (3-24) ، با حل معادله (3-22) در ابعاد مختلف به دست آوریم. در هر بعد ، می توان محاسبات را در دو حالت دمای غیر صفر و دمای صفر پی گرفت و نیروی کششی را تعیین کرد. شرایط دمای صفر را نمی توان برای محیط هایی نظیر محیط های کوارک گلوئون پلاسما در نظر گرفت ، ولی سیستم هایی وجود دارد که می توان از این محاسبات در آنها استفاده کرد. این شرایط و سیستمها را بیشتر می توان در حوزه ماده چگال یافت. سیستمها و شرایطی که به رغم پایین بودن دما ، ذرات بر همکنش قوی دارند و با تقریب خوبی می توان از محاسبات دمای صفر دوگانی  $AdS / CFT$  در مورد آنها استفاده کرد. ابررساناهای دمای بالا نمونه ای از این محیط ها هستند. در هر یک از حالت هایی که در ابعاد مختلف محاسبات را انجام می دهیم ، با حل عددی معادله (3-16) شکل ریسمان را رسم کرده ایم. برای شروع از فضا زمان دو بعدی شروع می کنیم :

### ۱-۲-۳ محاسبات در دو بعد فضا زمانی

در این حالت ذره می تواند در یک بعد مکانی حرکت کند. تعبیر این ذره به کوارک صحیح نیست و این که آیا چنین شرایطی در مسائل فیزیکی پدید می آید یا خیر ، بحث جداگانه ای است. هدف ما در نظر گرفتن ذره ای متحرک است که نیروی کششی بر آن وارد می شود.

### ۱-۱-۲-۳ دمای غیر صفر

همانطور که در مقدمه بیان شد ، ابتدا معادله (22-3) را حل می کنیم و سپس جوابهای آن را (23-3)

قرار می دهیم :

$$\begin{cases} f(r) = 1 - \frac{M}{r^d} + \frac{Q^2}{r^{2d-2}} \Rightarrow 1 - \frac{M}{r_c^2} + \frac{Q^2}{r_c^2} - v^2 = 0 \\ f - v^2 = 0 \end{cases} \quad (25-3)$$

با استفاده از رابطه بالا و همچنین ( $A = 1 - v^2$ ) خواهیم داشت :

$$r_c^2 = \frac{M - Q^2}{A} \quad (26-3)$$

با جایگزاری رابطه بالا در رابطه (23-3) و قرار دادن عبارت بدست آمده برای ( $C$ ) در رابطه (24-3)

نیروی کششی بدست می آید :

$$F = \frac{-T_0 R^2 v (M - Q^2)}{A} \quad (27-3)$$

با توجه به اینکه مقدار ( $r$ ) در افق سیاهچاله صفر است :

$$f(r_0) = 0 \Rightarrow 1 - \frac{M}{r_0^2} + \frac{Q^2}{r_0^2} = 0 \Rightarrow r_0^2 = M - Q^2 \quad (28-3)$$

با قرار دادن (28-3) در (26-3) و سپس جایگزاری عبارت حاصل در (23-3) و (24-3) داریم :

$$\begin{cases} C = \frac{R^2 v r_0^2}{A} \\ F = -\frac{T_0 R^2 v r_0^2}{A} \end{cases} \quad (29-3)$$

با استفاده از روابط زیر :

$$\begin{cases} T_0 = \frac{1}{2\pi\alpha} \\ \frac{R^2}{\alpha} = \sqrt{g_{YM} N} \end{cases} \quad (30-3)$$

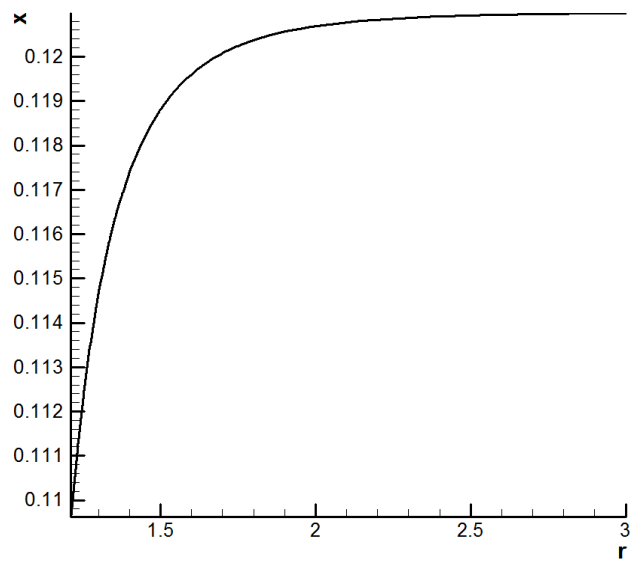
نیروی کششی عبارتست از :

$$F = -\frac{\nu r_0^2 \sqrt{g_{YM}^2 N}}{2\pi A} \quad (31-3)$$

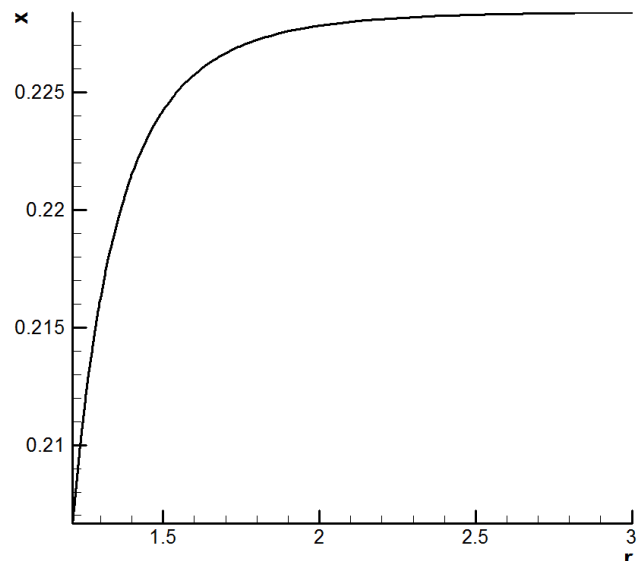
### ۲-۱-۲-۳ محاسبات در دمای صفر

چون در رابطه دما ( رابطه 4-3 ) دما تنها در صورتی می تواند صفر باشد که  $(r_0 = 0)$  باشد و طبق رابطه (28-3) ،  $f(r_0) \neq 0$  در نتیجه در دو بعد دما نمی تواند صفر شود.

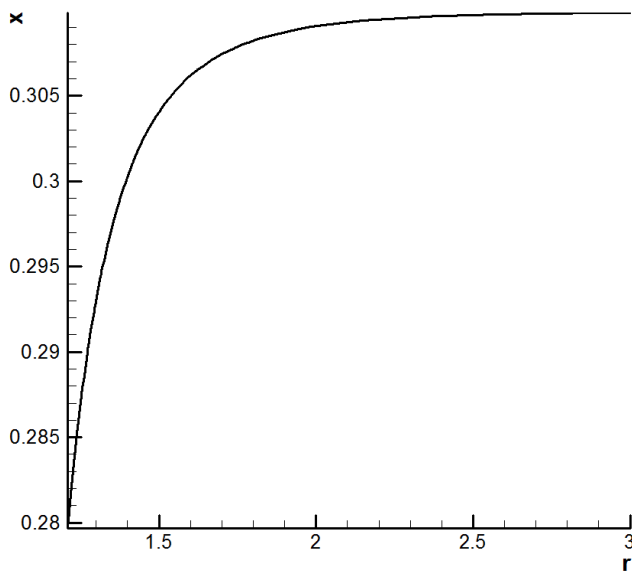
شکل ریسمان با توجه به تغییر سرعت ، با حل عددی معادله (16-3) در دو بعد در صفحه بعد آورده شده است. در این شکل ها جهت حرکت ذره در جهت مثبت محور  $x$  است. بعد هولوگرام  $r$  از  $1/01$  تا  $3$  مدرج سازی شده است ، که عدد  $3$  مربوط به مرز محیطی است که ذره در آن قرار دارد و افق سیاهچاله در  $1/0$  قرار دارد. از شکل ها کاملا پیداست که با افزایش سرعت ذره ، محدوده بازه ای  $x$  که در آن محدوده ، ریسمان از محیط تا افق سیاهچاله کشیده می شود ، در حال افزایش است و یا به عبارت دیگر خمس ریسمان با افزایش سرعت ذره در حال افزایش می باشد. این نتیجه در سازگاری کامل با رابطه (31-3) است. زیرا انتظار داریم با افزایش سرعت ، نیروی وارد بر ذره بربطق این رابطه افزایش یابد و شکل ریسمان هم نشان دهنده همین نتیجه گیری است ، زیرا با افزایش سرعت ، لختی ریسمان منجر به افزایش خمس آن و در نتیجه افزایش نیروی کششی می شود.



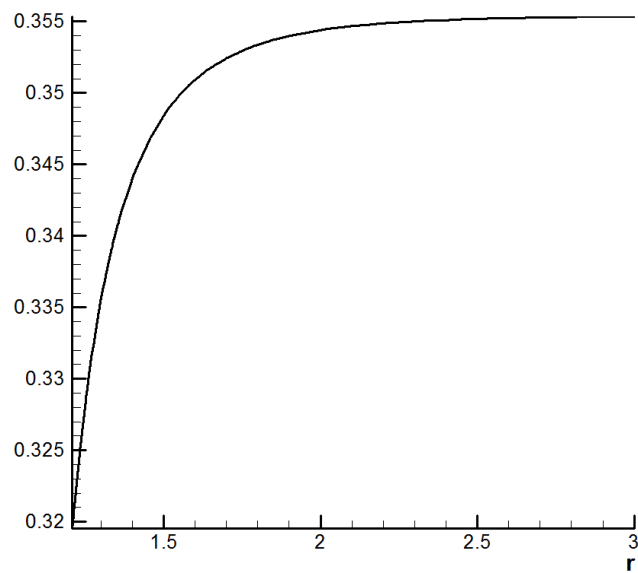
$$\nu = 0.1$$



$$\nu = 0.2$$



$$\nu = 0.3$$



$$\nu = 0.4$$

شکل (3-3) شکل ریسمان (نمودار  $X$  (جهت حرکت کوارک) بر حسب  $r$  (بعد هولوگرام) در دو بعد به ازای سرعتهای مختلف) (ادامه نمودارها در پیوست)

## ۲-۲-۳ محاسبات در سه بعد فضا زمانی

در این حالت ذره می تواند در دو بعد مکانی حرکت کند. باز هم مسئله مهم محاسبه نیروی کششی است و هدف این نبیست که به مطالعه فیزیک مساله در این ابعاد پرداخته شود. چون مانند حالت دو بعد از وجود چنین شرایطی در محیط های فیزیکی اطلاعی در دست نداریم، از این که ذره کوارک نامیده شود اجتناب کرده ایم

با توجه به رابطه (22-3) در سه بعد باید معادله زیر را حل کرد :

$$Ar_C^4 - Mr_C + Q^2 = 0 \quad (32-3)$$

در حالت دمای صفر داریم :

$$T = 0 \Rightarrow T = \frac{3r_0}{4\pi R^2} \left( 1 - \frac{Q^2}{3r_0^4} \right) = 0 \Rightarrow Q^2 = 3r_0^4 \quad (33-3)$$

با توجه به اینکه  $(f(r_0) = 0)$

$$1 - \frac{M}{r_0^3} + \frac{Q^2}{r_0^4} = 0 \Rightarrow M = r_0^3 + \frac{Q^2}{r_0} \Rightarrow M = 4r_0^3 \quad (34-3)$$

با جایگزاری (33-3) و (34-3) در رابطه (32-3)

$$Ar_C^4 - 4r_0^3 r_C + 3r_0^4 = 0 \quad (35-3)$$

که در این حالت می بایستی به حل معادلات (32-3) و (35-3) پرداخت.

از آنجا که محاسبات در بخش بعدی نیز منجر به چنین معادلاتی می شوند، حل آنها در این ابعاد را

ادامه نمی دهیم.

### ۳-۲-۳ محاسبات در چهار بعد فضا زمانی

در این حالت می خواهیم به مطالعه کوارک در حال حرکت ، در محیطی با دمای صفر بپردازیم. البته طبق مطالب گفته شده ، انتظار می رود که به دلیل وجود دمای صفر محیط ، سیاهچاله ای در فضای توده نداشته باشیم ، ولی ما در این حالت نیز سیاهچاله ای در فضای توده در نظر گرفتیم که سیاهچاله فرینه<sup>۱</sup> ( $T = 0$ ) است.

### ۱-۳-۲-۳ دمای صفر

با توجه به صفر بودن دما ، از صفر قرار دادن رابطه (3-4) در چهار بعد خواهیم داشت :

$$T = 0 \Rightarrow 1 - \frac{Q^2}{2r_0^6} \Rightarrow Q^2 = 2r_0^6 \quad (36-3)$$

از طرفی با توجه به صفر شدن رابطه (2-3) در چهار بعد داریم :

$$f(r_0) = 0 \Rightarrow 1 - \frac{M}{r_0^4} + \frac{Q^2}{r_0^6} = 0 \Rightarrow M = r_0^4 + \frac{Q^2}{r_0^2} \quad (37-3)$$

با جایگزاری (36-3) در (37-3) :

$$M = 3r_0^4 \quad (38-3)$$

اگر معادله (22-3) را در چهار بعد نوشته و روابط (36-3) و (38-3) را در آن قرار دهیم :

$$Ar_C^6 - 3r_0^4r_C^2 + 2r_0^6 = 0 \quad (39-3)$$

با تغییر متغیر ( $x = r_C^2$ ) :

$$Ax^3 - 3r_0^4x + 2r_0^6 = 0 \quad (40-3)$$

روش حل معادله درجه سوم در پیوست الف آورده شده است. با استفاده از مطالب گفته شده در این پیوست ، معادله (40-3) را حل می کنیم.

---

<sup>۱</sup> Extremal

$$x^3 - \frac{3r_0^4}{A}x = -\frac{2r_0^6}{A} \quad (41-3)$$

از مقایسه (41-3) با شکل کلی معادله درجه سوم (الف-3) داریم :

$$\begin{cases} p = -\frac{3r_0^4}{A} \\ q = -\frac{2r_0^6}{A} \end{cases} \quad (42-3)$$

با جایگزاری این مقدارها در مبین معادله درجه سوم :

$$D = \frac{p^3}{27} + \frac{q^2}{4} = -\frac{27r_0^{12}}{27A^3} + \frac{4r_0^{12}}{4A^2} \Rightarrow D = \frac{r_0^{12}}{A^2} \left( 1 - \frac{1}{A} \right) \quad (43-3)$$

$$0 \langle A \langle 1 \Rightarrow \frac{1}{A} \rangle 1 \Rightarrow \left( 1 - \frac{1}{A} \right) \langle 0 \quad (44-3)$$

با توجه به (44-3)، در نتیجه با توجه به پیوست، سه ریشه حقیقی خواهیم داشت که از رابطه (الف-28) پیوست الف به دست می آیند.

$$\begin{cases} x_1 = 2\sqrt{-Q'} \cos\left(\frac{\theta}{3}\right) \\ x_2 = 2\sqrt{-Q'} \cos\left(\frac{2\pi+\theta}{3}\right) \\ x_3 = 2\sqrt{-Q'} \cos\left(\frac{4\pi+\theta}{3}\right) \end{cases} \quad Q' = \frac{p}{3}, \theta = \cos^{-1}\left(\frac{R'}{\sqrt{-Q'^3}}\right), R' = \frac{q}{2} \quad (45-3)$$

با جایگزاری  $(q, p)$  در روابط (45-3) خواهیم داشت :

$$\begin{cases} R' = \frac{q}{2} = -\frac{r_0^6}{A} \\ Q' = -\frac{r_0^4}{A} \end{cases} \Rightarrow \theta = \cos^{-1}\left(\frac{-\frac{r_0^6}{A}}{\frac{r_0^6}{A\sqrt{A}}}\right) \Rightarrow \theta = \cos^{-1}\left(-\sqrt{A}\right) \quad (46-3)$$

در نتیجه ریشه ها عبارتند از :

$$\begin{cases} x_1 = \frac{2r_0^2}{\sqrt{A}} \cos\left(\frac{\cos^{-1}(-\sqrt{A})}{3}\right) \\ x_2 = \frac{2r_0^2}{\sqrt{A}} \cos\left(\frac{2\pi + \cos^{-1}(-\sqrt{A})}{3}\right) \\ x_3 = \frac{2r_0^2}{\sqrt{A}} \cos\left(\frac{4\pi + \cos^{-1}(-\sqrt{A})}{3}\right) \end{cases} \quad (47-3)$$

### بحث در مورد جوابها

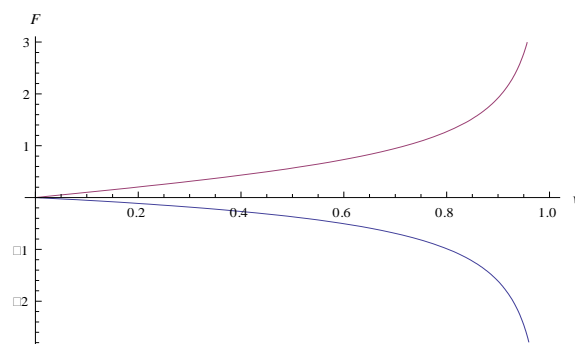
چون سرعت ذره بین صفر و یک متغیر است، پس:

$$-\sqrt{A} < 0 \Rightarrow \frac{\pi}{2} < \theta < \frac{3\pi}{2} \Rightarrow \frac{\pi}{6} < \frac{\theta}{3} < \frac{\pi}{2} \Rightarrow \frac{5\pi}{6} < \left(\frac{\theta}{3} + \frac{2\pi}{3}\right) < \frac{7\pi}{6} \quad (48-3)$$

چون  $(x = r_c^2 \propto \cos(\theta))$  و همچنین طبق رابطه (47-3) پس  $(x_2)$  قابل قبول

نیست. با استفاده از (47-3) و همچنین روابط (23-3) و (24-3) دو نیروی کششی به دست می آیند:

$$\begin{cases} F_1 = \frac{-2T_0 R^2 v r_0^2}{\sqrt{A}} \cos\left(\frac{\cos^{-1}(-\sqrt{A})}{3}\right) \\ F_3 = \frac{-2T_0 R^2 v r_0^2}{\sqrt{A}} \cos\left(\frac{4\pi + \cos^{-1}(-\sqrt{A})}{3}\right) \end{cases} \quad (49-3)$$



شکل (4-3) : نیروهای کششی وارد بر کوارک از رابطه (49-3)

منحنی پایین و  $F_2$  منحنی بالا است.

چون نیروی کششی<sup>۱</sup> یک نیروی اتلافی است ، پس با توجه به نمودار صفحه قبل ، پاسخ فیزیکی قابل قبول برای آن  $F_1$  می باشد :

$$F = -\frac{2T_0 R^2 v r_0^2}{\sqrt{A}} \cos\left(\frac{\cos^{-1}(-\sqrt{A})}{3}\right) \quad (50-3)$$

با استفاده از روابط زیر نیروی کششی را به شکل دیگری می نویسیم :

$$\begin{cases} T_0 = \frac{1}{2\pi\alpha} \\ \frac{R^2}{\alpha} = \sqrt{g_{YM} N} \end{cases} \quad (51-3)$$

$$F = -\frac{\sqrt{g_{YM}^2 N} v r_0^2}{\pi \sqrt{A}} \cos\left(\frac{\cos^{-1}(-\sqrt{A})}{3}\right) \quad (52-3)$$

با استفاده از روابط زیر که در مرجع [18] آمده است :

$$\begin{cases} Q^2 = \frac{8}{3} \pi^4 \mu^2 n r_0^4 \\ r_0 = \frac{8}{3} \pi^4 \mu^2 n \left( \sqrt{\pi^2 T^2 + \frac{16}{3} \pi^4 \mu^2 n} - \pi T \right)^{-1} \end{cases} \quad (53-3)$$

و در نظر گرفتن دمای صفر خواهیم داشت :

$$\begin{cases} Q^2 = \frac{8}{3} \pi^4 \mu^2 n r_0^4 \\ r_0 = 2 \pi^2 \mu \sqrt{\frac{n}{3}} \end{cases} \quad (54-3)$$

در نتیجه می توان نیروی کششی را بر حسب بار الکتریکی یا پتانسیل شیمیایی و شماره رنگ بیان کرد :

---

<sup>۱</sup> Drag Force

$$F = -\sqrt{\frac{3}{8}} \frac{v \sqrt{g_{YM}^2 N} Q}{\pi^3 \mu \sqrt{n A}} \cos \left( \frac{\cos^{-1}(-\sqrt{A})}{3} \right) \quad (55-3)$$

$$F = -\frac{4\pi^3 \mu^2 n v \sqrt{g_{YM}^2 N}}{3\sqrt{A}} \cos \left( \frac{\cos^{-1}(-\sqrt{A})}{3} \right) \quad (56-3)$$

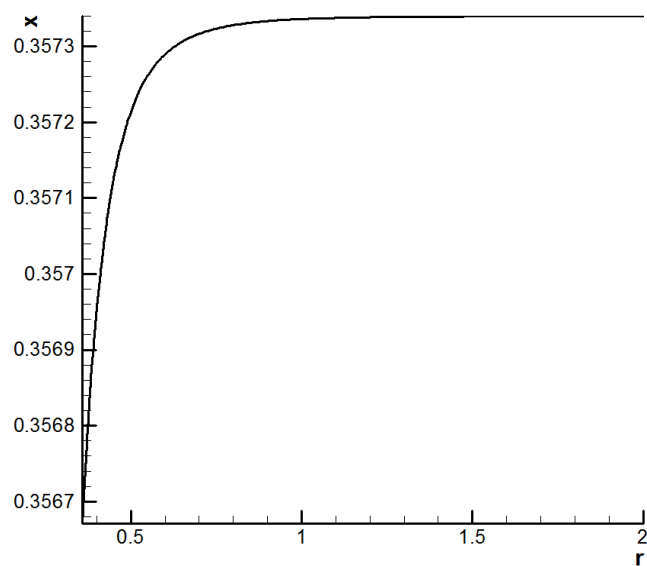
در تحلیل روابط به دست آمده برای نیروی کششی می توان گفت که :

۱- با توجه به رابطه (55-3) ، نیروی کششی ، با بار الکتریکی محیط ، نسبت مستقیم دارد و این نتیجه قابل انتظار بود ، زیرا با افزایش بار الکتریکی محیط اندر کنش بین کوارک و محیط افزایش می یابد.

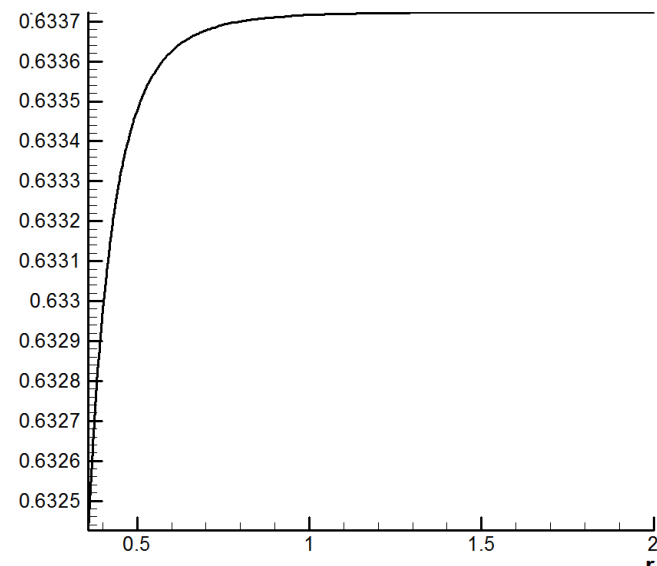
۲- با توجه به رابطه (56-3) ، نیروی کششی با پتانسیل شیمیایی محیط ، نسبت مستقیم دارد و دلیل آن این است که افزایش پتانسیل شیمیایی به معنی افزایش ذرات محیط و درنتیجه افزایش اندر کنش ها است.

۳- با توجه به رابطه (56-3) ، نیروی کششی با شماره رنگ ، نسبت مستقیم دارد و این نتیجه منطقی است ، زیرا با افزایش شماره رنگ ، افزایش بر همکنش های قوی و در نتیجه افزایش نیروی کششی را خواهیم داشت.

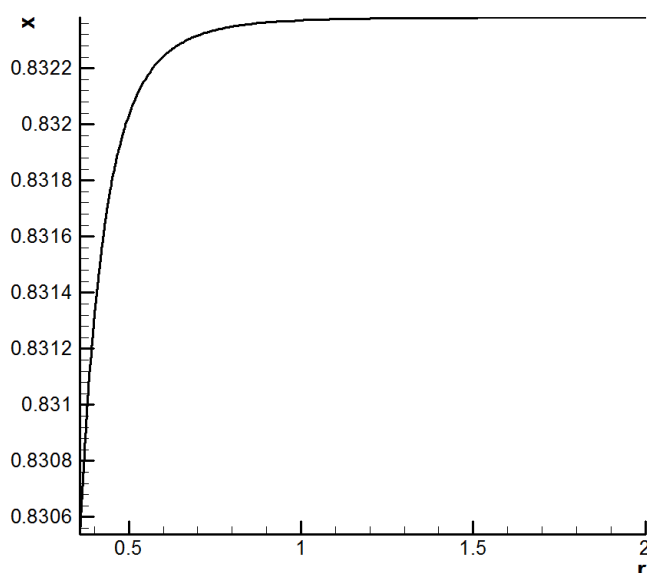
شكل ریسمان با توجه به تغییر سرعت ، با حل عددی معادله (16-3) در چهار بعد و دمای صفر در صفحه بعد آورده شده است. در این شکل ها نیز ، جهت حرکت ذره در جهت مثبت محور  $x$  است. بعد هولوگرام ۲ از ۰/۱ تا ۰/۰ قرار گرفته است. از شکل ها کاملا پیداست که با افزایش سرعت ذره ، محدوده بازه ای  $x$  که در آن محدوده ، ریسمان از محیط تا افق سیاهچاله کشیده می شود ، در حال افزایش است و یا به عبارت دیگر خمس ریسمان با افزایش سرعت ذره در حال افزایش می باشد. این نتیجه در سازگاری کامل با روابط (3-55) و (3-56) است . زیرا انتظار داریم با افزایش سرعت نیروی وارد بر ذره ، طبق این رابطه افزایش یابد و شکل ریسمان هم نشان دهنده همین نتیجه گیری است ، زیرا با افزایش سرعت ، لختی ریسمان منجر به افزایش خمس آن و در نتیجه افزایش نیروی کششی می شود.



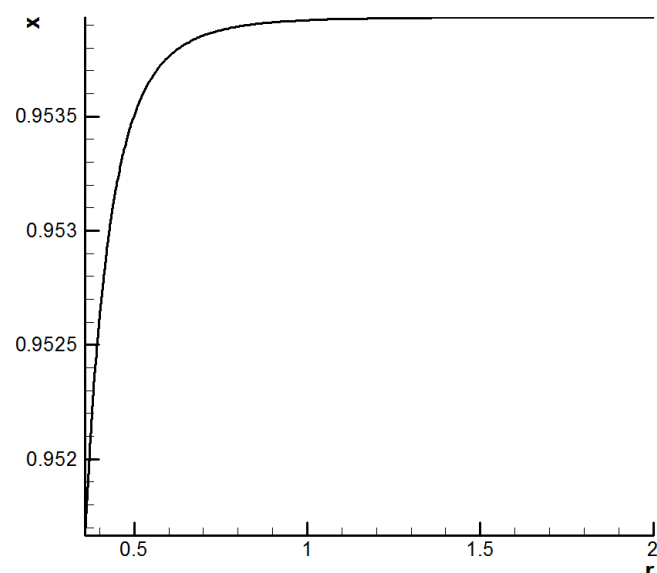
$$\nu = 0.1$$



$$\nu = 0.2$$



$$\nu = 0.3$$



$$\nu = 0.4$$

شکل (5-3) شکل ریسمان (نمودار  $X$  (جهت حرکت کوارک) بر حسب  $r$  (بعد هولوگرام) در سرعتهای مختلف) در چهار بعد و دمای صفر

### ۲-۳-۲-۳ دمای غیر صفر

در این حالت با توجه به غیر صفر بودن دما و همچنین وجود بار الکتریکی در محیط ، سیاهچاله ای از نوع  $RN$  را در فضای توده در نظر می گیریم و با استفاده از روش شرح داده شده در ابتدای فصل نیروی کششی وارد بر کوارک در حال حرکت در محیط را با حل معادله (22-3) و سپس جایگزاری در روابط (23-3) و (24-3) به دست می آوریم. با استفاده از رابطه (22-3) در چهار بعد و تغییر متغیر  $(x = r_C^2)$  خواهیم داشت :

$$x^3 - \frac{M}{A}x = -\frac{Q^2}{A} \quad (57-3)$$

از مقایسه این رابطه با شکل کلی معادله درجه سه :

$$\begin{cases} p = -\frac{M}{A} \\ q = -\frac{Q^2}{A} \end{cases} \Rightarrow D = \frac{p^3}{27} + \frac{q^2}{4} = -\frac{M^3}{27A^3} + \frac{Q^4}{4A^2} \Rightarrow D = \frac{1}{A^2} \left( \frac{Q^4}{4} - \frac{M^3}{27A} \right) \quad (58-3)$$

با توجه به اندازه های  $M, Q$  و همچنین با در نظر گرفتن حالت  $(T = 0)$  که در آن  $(D = 0)$  می توان به این نتیجه رسید که در حالت  $(T \neq 0)$  نیز  $(D \neq 0)$  در نتیجه سه ریشه خواهیم داشت :

$$\begin{cases} R = \frac{q}{2} = -\frac{Q^2}{2A} \\ Q' = \frac{p}{3} = -\frac{M}{3A} \end{cases} \Rightarrow \theta = \cos^{-1} \left( \frac{-\frac{Q^2}{2A}}{\sqrt{\frac{M^3}{27A^3}}} \right) \Rightarrow \theta = \cos^{-1} \left( \frac{-3\sqrt{3A}Q^2}{2M^{\frac{3}{2}}} \right) \quad (59-3)$$

در نتیجه ریشه های معادله (57-3) با توجه به روابط (الف 28) عبارتند از :

$$\begin{cases} x_1 = 2\sqrt{\frac{M}{3A}} \cos \left( \frac{1}{3} \cos^{-1} \left( \frac{-3\sqrt{3A}Q^2}{2M^{\frac{3}{2}}} \right) \right) \\ x_2 = 2\sqrt{\frac{M}{3A}} \cos \left( \frac{1}{3} \cos^{-1} \left( \frac{-3\sqrt{3A}Q^2}{2M^{\frac{3}{2}}} \right) + \frac{2\pi}{3} \right) \\ x_3 = 2\sqrt{\frac{M}{3A}} \cos \left( \frac{1}{3} \cos^{-1} \left( \frac{-3\sqrt{3A}Q^2}{2M^{\frac{3}{2}}} \right) + \frac{4\pi}{3} \right) \end{cases} \quad (60-3)$$

$$-\frac{3\sqrt{3}AQ^2}{2M^{\frac{3}{2}}} < 0 \Rightarrow \frac{\pi}{2} < \theta < \frac{3\pi}{2} \Rightarrow \frac{\pi}{6} < \frac{\theta}{3} < \frac{\pi}{2}$$

با توجه به اینکه :

در نتیجه مشابه بحثی که در مورد حالت  $(T = 0)$  مطرح شد ، ریشه های  $(x_3, x_2)$  قابل قبول نبوده و با استفاده از جواب  $x_1$  خواهیم داشت :

$$F = -T_0 R^2 v_x = \frac{-\sqrt{g_{YM}^2 N} \sqrt{M} v}{\pi \sqrt{3A}} \cos \left( \frac{1}{3} \cos^{-1} \left( \frac{-3\sqrt{3}AQ^2}{2M^{\frac{3}{2}}} \right) \right) \quad (61-3)$$

چون در افق سیاهچاله  $(f(r_0) = 0)$  پس :

$$f(r_0) = 0 \Rightarrow 1 - \frac{M}{r_0^4} + \frac{Q^2}{r_0^6} = 0 \Rightarrow M = r_0^4 + \frac{Q^2}{r_0^2} \quad (62-3)$$

همچنین با استفاده از روابط (10) و (13) در مرجع [۱۸] :

$$\begin{cases} Q^2 = \frac{8}{3}\pi^4\mu^2 n r_0^4 \\ r_0 = \frac{8}{3}\pi^4\mu^2 n \left( \sqrt{\pi^2 T^2 + \frac{16}{3}\pi^4\mu^2 n} - \pi T \right)^{-1} \end{cases} \quad (63-3)$$

با جایگزاری رابطه (61-3) در (62-3) همچنین استفاده از روابط (63-3) می توان نیروی کششی را بر حسب پارامترهای  $(T, n, \mu)$  محاسبه کرد.

$$\alpha = \frac{v \sqrt{g_{YM}^2 N} \cos \left( \frac{1}{3} \cos^{-1} \left( -\frac{4\sqrt{3A}\pi^4\mu^2 n r_0^4}{\left( \frac{4096n^4\pi^{16}\mu^8}{(-3\pi T + \sqrt{9\pi^2 T^2 + 48n\pi^4\mu^2})^4} + \frac{3n r_0^4 (-\pi T + \sqrt{\pi^2 T^2 + \frac{16}{3}n\pi^4\mu^2})^2}{8n^2\pi^4\mu^2} \right)^{\frac{3}{2}}} \right) \right)}{\sqrt{3A}\pi} \quad (64-3)$$

$$\beta = \sqrt{\left( \frac{4096n^4\pi^{16}\mu^8}{(-3\pi T + \sqrt{9\pi^2 T^2 + 48n\pi^4\mu^2})^4} + \frac{3n r_0^4 (-\pi T + \sqrt{\pi^2 T^2 + \frac{16}{3}n\pi^4\mu^2})^2}{8n^2\pi^4\mu^2} \right)}$$

در منابع [۱۲] و [۱۳] نیروی کششی وارد بر کوارک در دمای غیر صفر و در محیطی که بار الکتریکی

وجود ندارد ، به دست آمده است. محاسبات زیر نشان می دهد که رابطه (61-3) در حالتی که بار

الکتریکی محیط صفر باشد ، دقیقاً به رابطه (1.2) در این مقاله تبدیل می شود.

با صفر قرار دادن  $Q$  در رابطه (4-3) در چهار بعد خواهیم داشت :

$$Q = 0 \Rightarrow T = \frac{r_0}{\pi R^2} \Rightarrow r_0^2 = \pi^2 R^2 T^2 \quad (65-3)$$

حال اگر بار الکتریکی را در رابطه (61-3) مساوی صفر قرار دهیم :

$$F = \frac{-\sqrt{g_{YM}^2 N} \sqrt{M} v}{\pi \sqrt{3A}} \cos\left(\frac{1}{3} \cos^{-1}(0)\right) \quad (66-3)$$

در نتیجه :

$$F = \frac{-\sqrt{g_{YM}^2 N} \sqrt{M} v}{2\pi \sqrt{1-v^2}} \quad (67-3)$$

چون تابع  $f(r)$  در افق سیاهچاله صفر است پس با مساوی صفر قرار دادن رابطه (3-2) داریم :

$$\begin{cases} Q = 0 \\ f(r_0) = 0 \end{cases} \Rightarrow M = r_0^4 \quad (68-3)$$

حال رابطه (65-3) را در رابطه (68-3) و سپس نتیجه را در (67-3) جایگزاری می کنیم :

$$F = -\frac{\pi}{2} T^2 \frac{v}{\sqrt{1-v^2}} \sqrt{g_{YM}^2 N} \quad (69-3)$$

که با در نظر گرفتن این که  $g_{YM}^2 N = \lambda$  دقیقاً این رابطه همان رابطه (2.1) مقاله یاد شده است.

شکل ریسمان با توجه به تغییر سرعت ، با حل عددی معادله ( 16-3 ) در چهار بعد و دمای غیر صفر در صفحه بعد آورده شده است.

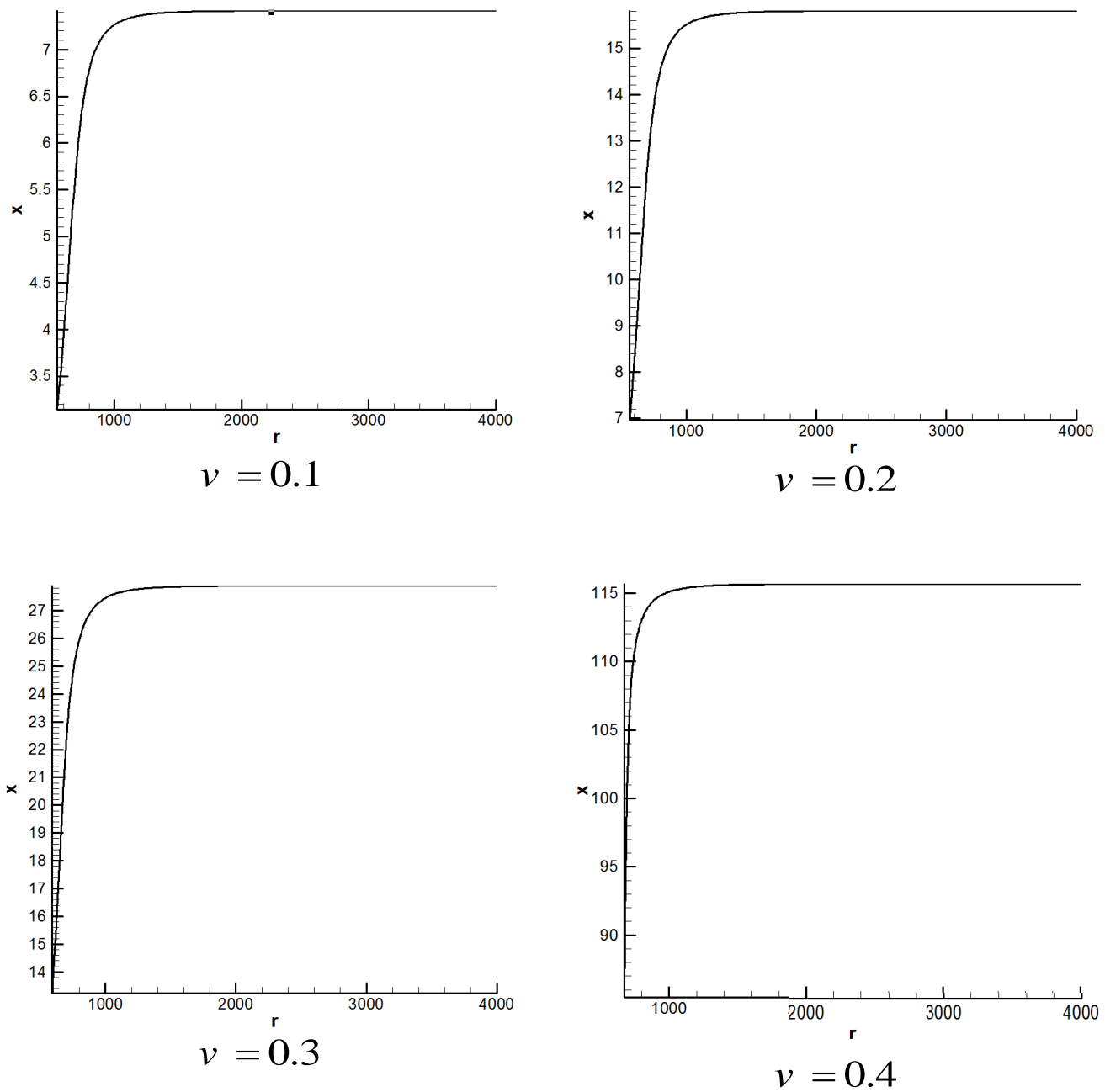
در این شکل ها نیز ، جهت حرکت ذره در جهت مثبت محور  $x$  است . بعد هولوگرام ۲ از ۱/۰ تا ۴۰۰۰ مدرج سازی شده است ، که عدد ۴۰۰۰ مربوط به مرز محیطی است که ذره در آن قرار دارد. از شکل ها کاملا پیداست که با افزایش سرعت ذره ، محدوده بازه ای  $x$  که در آن محدوده ، ریسمان از محیط تا افق سیاهچاله کشیده می شود ، در حال افزایش است و یا به عبارت دیگر خمش ریسمان با افزایش سرعت ذره در حال افزایش می باشد.

این نتیجه در سازگاری کامل با روابط ( 64-3 ) است . زیرا انتظار داریم با افزایش سرعت نیروی وارد بر ذره برابر این رابطه افزایش یابد و شکل ریسمان هم نشان دهنده همین نتیجه گیری است ، زیرا با افزایش سرعت ، لختی ریسمان منجر به افزایش خمش آن و در نتیجه افزایش نیروی کششی می شود. همچنین در صفحات بعد نیز نمودارهای نیروی کششی وارد بر کوارک در چهار بعد و دمای غیر صفر ، بر حسب سرعت در دو حالت مختلف :

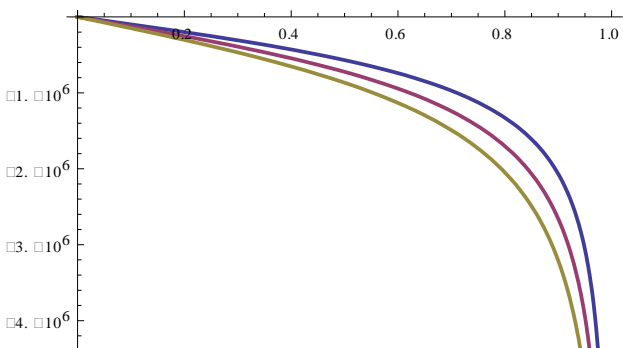
۱- دما ثابت ، پتانسیل شیمیایی و شماره رنگ ، متغیر

۲- پتانسیل شیمیایی ثابت ، دما و شماره رنگ ، متغیر

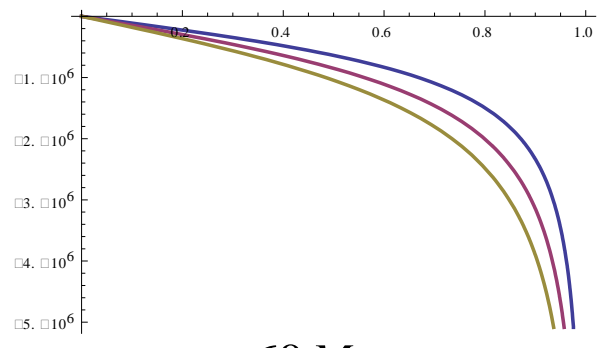
آورده شده است و در نهایت نمودارهای نیروی کششی بر حسب پتانسیل شیمیایی در سرعت های مختلف رسم شده است.



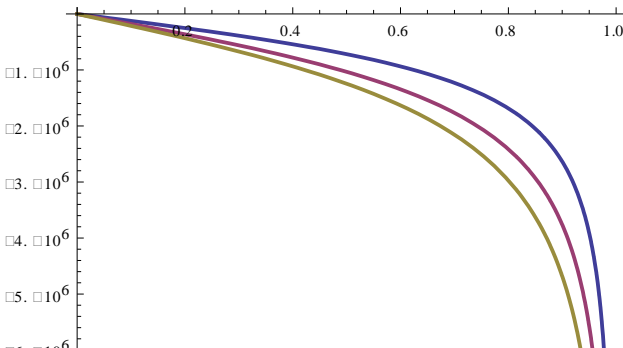
شکل (6-3) شکل ریسمان (نمودار  $X$  (جهت حرکت کوارک) بر حسب  $r$  (بعد هولوگرام) در سرعتهای مختلف در چهار بعد و دمای غیر صفر



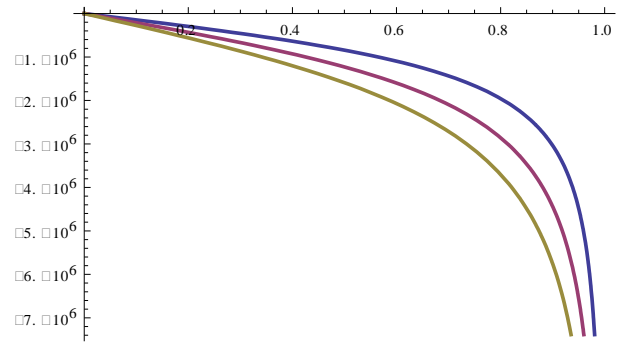
$\mu = 50 \text{ Mev}$   
 $T = 200 \text{ Mev}$



$\mu = 60 \text{ Mev}$   
 $T = 200 \text{ Mev}$



$\mu = 70 \text{ Mev}$   
 $T = 200 \text{ Mev}$

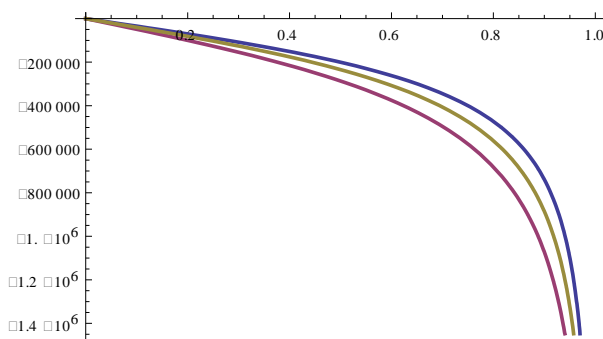


$\mu = 80 \text{ Mev}$   
 $T = 200 \text{ Mev}$

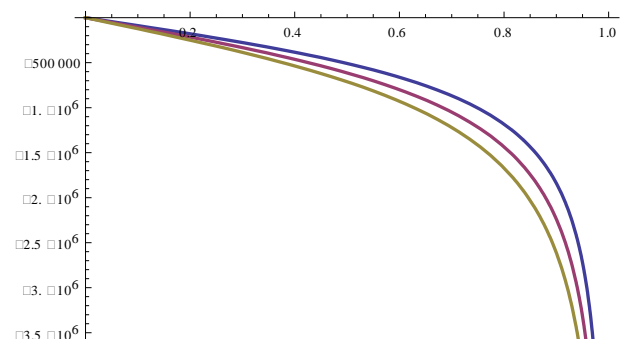
شکل (7-3) نمودار نیروی کششی  $F$  (محور عمودی) بر حسب  $v$  (محور افقی) در چهار بعد بر حسب سرعتهای متفاوت

دما ثابت ، پتانسیل شیمیایی و شماره رنگ ، متغیر

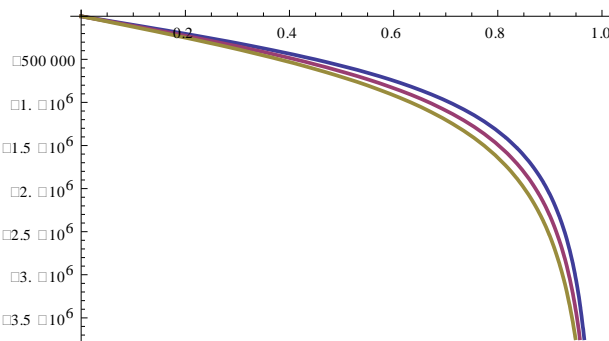
(شماره رنگ در نمودارها از بالا به پایین عبارتست از :  $1, \frac{2}{3}, \frac{1}{3}$ )



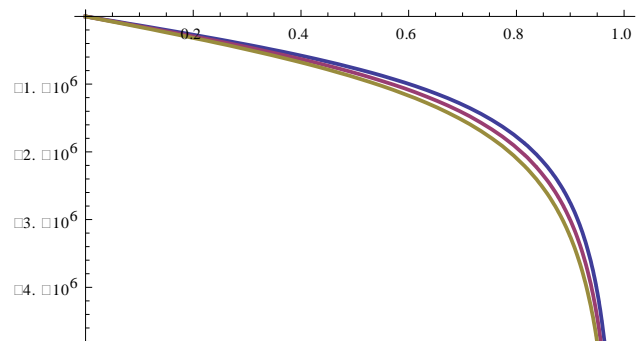
$\mu = 40 \text{ Mev}$   
 $T = 100 \text{ Mev}$



$\mu = 40 \text{ Mev}$   
 $T = 200 \text{ Mev}$



$\mu = 40 \text{ Mev}$   
 $T = 300 \text{ Mev}$

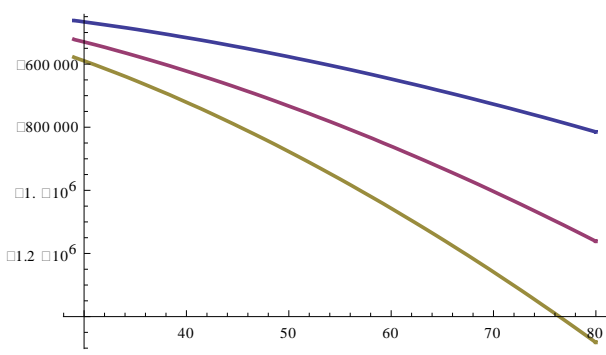


$\mu = 40 \text{ Mev}$   
 $T = 350 \text{ Mev}$

شکل (8-3) نمودار نیروی کششی  $F$  (محور عمودی) بر حسب  $v$  (محور افقی) در چهار بعد بر حسب سرعتهای متفاوت

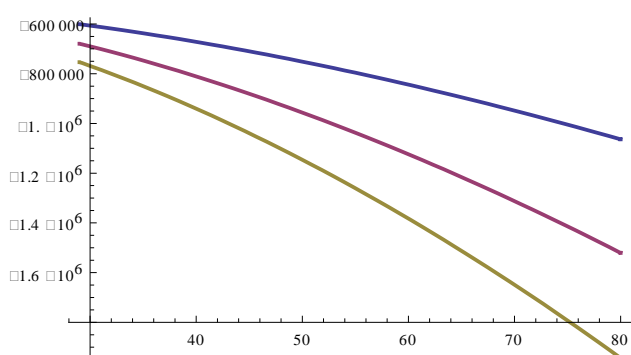
پتانسیل شیمیایی ثابت ، دما و شماره رنگ ، متغیر

(شماره رنگ در نمودارها از بالا به پایین عبارتست از :  $1, \frac{2}{3}, \frac{1}{3}$ )



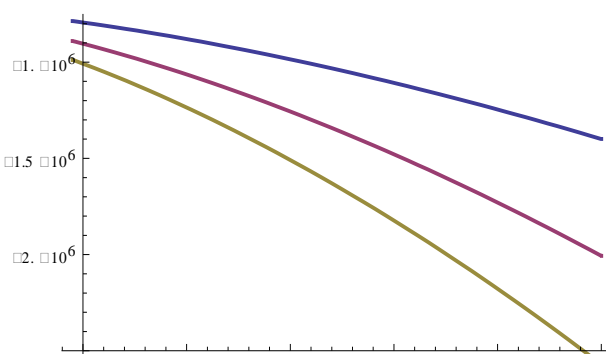
$T = 200 \text{ Mev}$

$\nu = 0.5$



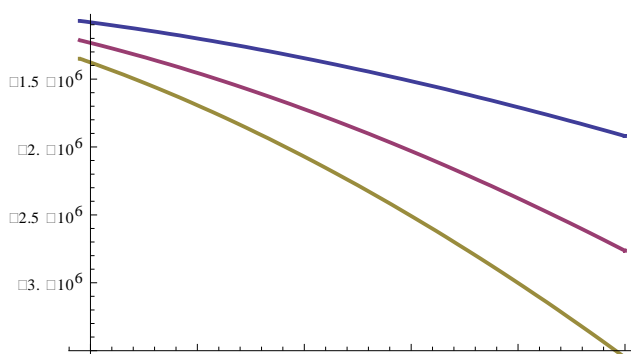
$T = 200 \text{ Mev}$

$\nu = 0.6$



$T = 200 \text{ Mev}$

$\nu = 0.7$



$T = 200 \text{ Mev}$

$\nu = 0.8$

شکل (9-3) نمودار نیروی کششی  $F$  (محور عمودی) بر حسب  $\nu$  پتانسیل های شیمیایی متفاوت در چهار بعد

(شماره رنگ در نمودارها از بالا به پایین عبارتست از : )

$$(1, \frac{2}{3}, \frac{1}{3})$$

از شکل های (7-3) تا (9-3) می توان به نکات و نتایج زیر دست یافت :

- ۱- در نمودارهای رسم شده در شکل های (7-3) تا (9-3) در صفحه های ۶۹ تا ۶۷، همان طور که ملاحظه می شود ، با افزایش سرعت ، نیروی کششی نیز افزایش می یابد ، که این مطلب در توافق با دست آوردهای قبلی است.
- ۲- از این شکل ها پیداست که با افزایش شماره رنگ ، نیروی کششی افزایش می یابد و این مطلب نیز قابل قبول است ، زیرا افزایش شماره رنگ ، افزایش بر همکنش ها را در پی خواهد داشت.
- ۳- از نمودارهای شکل (7-3) مشخص است که با افزایش پتانسیل شیمیایی ، نیروی کششی افزایش می یابد و این مطلب قابل قبول است ، زیرا افزایش پتانسیل شیمیایی بر اثر افزایش تعداد ذرات محیط است که این افزایش باعث زیاد شدن نیروی کششی می شود.
- ۴- با دقت در نمودارهای شکل (8-3) مشخص است که با افزایش دما ، نیروی کششی افزایش می یابد زیرا با افزایش دمای محیط ، تعداد بrixوردها و اندر کنش بین ذرات و در نتیجه نیروی کششی افزایش می یابد.

### ۳-۳ محاسبات در چهار بعد فضا زمانی با در نظر گرفتن تصحیحات گاووس بونت

در پنج بعد فضا زمانی ، مهمترین تصحیحات گرانشی ، جملات گاووس بونت باردار می باشند. جواب های سیاهچاله در این گرانش و همچنین خواص ترمودینامیکی آن ، در منبع [۱۴] آمده است. در ادامه کار ، قصد ما در نظر گرفتن اثر این تصحیحات بر روی متریک ، و در نتیجه تاثیر آن ها بر دینامیک ریسمان و کوارک متصل به آن است. برای این منظور دو حالت دمای صفر و غیر صفر را در نظر می گیریم.

### ۱-۳-۳ محاسبات در دمای غیر صفر

با در نظر گرفتن این تصحیحات متریک فضا زمان و همچنین تابع ( $r$ )  $f$  به صورت زیر خواهد بود :

$$ds^2 = G_{\mu\nu} dx^\mu dx^\nu = -\frac{N^2 r^2 f}{R^2} dt^2 + \frac{r^2}{R^2} dx^2 + \frac{R^2}{r^2 f} dr^2 \quad (70-3)$$

$$f(r) = \frac{1}{2\lambda_{GB}} \left( 1 - \sqrt{1 - 4\lambda_{GB} \left( 1 - \frac{M R^2}{r^4} + \frac{Q^2 R^2}{r^6} \right)} \right) \quad (71-3)$$

که در این روابط ( $Q, M$ ) به ترتیب حرم و بار سیاهچاله و ( $\lambda_{GB}$ ) ثابت گاووس-بونت می باشند.

همچنین ضریب ( $N^2$ ) در متریک با رابطه زیر تعریف می شود :

$$N^2 = \frac{1}{2} \left( 1 + \sqrt{1 - 4\lambda_{GB}} \right) \quad (72-3)$$

با استفاده از روش گفته شده در فصل قبل چگالی لاغرانژی و سپس معادلات حرکت را به دست می آوریم :

$$-g = (\dot{X} \cdot X')^2 - \dot{X}^2 X'^2 = N^2 - \frac{v^2}{f} + \frac{N^2 r^4}{R^4} x'^2 f \quad (73-3)$$

$$\mathfrak{I} = -T_0 \sqrt{-g} \quad , P_\mu^t = \frac{\partial \mathfrak{I}}{\partial x} \quad , P_\mu^r = \frac{\partial \mathfrak{I}}{\partial x} \quad (74-3)$$

$$\frac{\partial P_\mu^t}{\partial t} + \frac{\partial P_\mu^r}{\partial r} = 0 \Rightarrow \frac{N^2 r^4 f}{\sqrt{-g}} = C \Rightarrow x^2 = \frac{C^2 (-g)}{N^2 r^4 f} \quad (75-3)$$

با استفاده از روابط (73-3) و (75-3) :

$$-g = \frac{R^4 N^2 r^4 (N^2 f - v^2)}{R^4 N^2 r^4 f - C^2} = \frac{(N^2 f - v^2)}{f - C^2 R^{-4} N^{-2} r^{-4}} \quad (76-3)$$

با توجه به این که  $f(r_0) = 0$  داریم :

$$\frac{1}{2\lambda_{GB}} \left( 1 - \sqrt{1 - 4\lambda_{GB} \left( 1 - \frac{M R^2}{r_0^4} + \frac{Q^2 R^2}{r_0^6} \right)} \right) = 0 \Rightarrow M R^2 = r_0^4 + \frac{Q^2 R^2}{r_0^2} \quad (77-3)$$

با جایگزاری (77-3) در (71-3) :

$$f(r) = \frac{1}{2\lambda_{GB}} \left( 1 - \sqrt{1 - 4\lambda_{GB} \left( 1 - \frac{r_0^4}{r^4} - \frac{Q^2 R^2}{r^4 r_0^2} + \frac{Q^2 R^2}{r^6} \right)} \right) \quad (78-3)$$

با استفاده از روابط (76-3) و (78-3) رفتار حدی  $(-g)$  را بررسی می کنیم :

$$r \rightarrow r_0 \Rightarrow f(r) \rightarrow 0 \Rightarrow \begin{cases} Num \Rightarrow -v^2 < 0 \\ Den \Rightarrow -C^2 N^{-2} r_0^{-4} R^{-4} < 0 \end{cases} \Rightarrow -g > 0 \quad (79-3)$$

$$r \rightarrow \infty \Rightarrow f(r) \rightarrow 1 \Rightarrow \begin{cases} Num \Rightarrow N^2 - v^2 > 0 \\ Den \Rightarrow 1 > 0 \end{cases} \Rightarrow -g > 0 \quad (80-3)$$

چون علامت  $(-g)$  در همه جا مثبت است، پس باید در صورت وجود ریشه برای صورت و مخرج آن، این ریشه ها بر یکدیگر منطبق باشند. در نتیجه برای تعیین ثابت  $C$  در رابطه  $(-g)$  باید ابتدا ریشه یا ریشه های صورت کسر  $(-g)$  را بدست آوریم و سپس آنها را در مخرج قرار دهیم :

$$\left\{ \begin{array}{l} f = \frac{v^2}{N^2} \\ C^2 = R^4 N^2 r^4 f \end{array} \right\} \Rightarrow C = \pm R^2 r^2 v \quad (81-3)$$

مشابه بحثی که در بخش های قبلی آورده شده است ، تنها علامت مثبت قابل قبول است. در نتیجه باید ریشه صورت را به دست آورده و در رابطه (81-3) جایگزاری کنیم تا  $C$  و سپس  $F$  تعیین شوند.

$$f = \frac{v^2}{N^2} \Rightarrow \frac{1}{2\lambda_{GB}} \left( 1 - \sqrt{1 - 4\lambda_{GB} \left( 1 - \frac{M R^2}{r^4} + \frac{Q^2 R^2}{r^6} \right)} \right) = \frac{v^2}{N^2} \quad (82-3)$$

با تغییر متغیر ( $X = r^2$ ) خواهیم داشت :

$$X^3 - \frac{MR^2}{1 - \frac{v^2}{N^2} + \lambda_{GB} \frac{v^4}{N^4}} X = - \frac{Q^2 R^2}{1 - \frac{v^2}{N^2} + \lambda_{GB} \frac{v^4}{N^4}} \quad (83-3)$$

از مقایسه رابطه (83-3) با شکل کلی معادله درجه سوم که در پیوست الف آمده است داریم :

$$\left\{ \begin{array}{l} p = - \frac{MR^2}{1 - \frac{v^2}{N^2} + \lambda_{GB} \frac{v^4}{N^4}} \\ q = - \frac{Q^2 R^2}{1 - \frac{v^2}{N^2} + \lambda_{GB} \frac{v^4}{N^4}} \end{array} \right. \quad (84-3)$$

مبین معادله (83-3) عبارتست از :

$$D = \frac{p^3}{27} + \frac{q^2}{4} = \frac{R^4}{\left( 1 - \frac{v^2}{N^2} + \lambda_{GB} \frac{v^4}{N^4} \right)^2} \left( \frac{-M^3 R^2}{27 \left( 1 - \frac{v^2}{N^2} + \lambda_{GB} \frac{v^4}{N^4} \right)} + \frac{Q^2}{4} \right) \quad (85-3)$$

از آنجاییکه حالت بدون در نظر گرفتن تصحیحات گرانشی وقتی بدست می آید که ( $\lambda_{GB} \rightarrow 0$ ) و چون در این حالت ( $D \langle 0 \rangle$  پس می توان نتیجه گرفت که در رابطه (85-3) نیز ( $D \langle 0 \rangle$  است.

در نتیجه معادله ، سه ریشه حقیقی دارد که از روابط زیر به دست می آیند:

$$\begin{cases} R' = \frac{q}{2} = -\frac{Q^2 R^2}{2 \left( 1 - \frac{v^2}{N^2} \left( 1 - \lambda_{GB} \frac{v^2}{N^2} \right) \right)} \\ Q' = \frac{p}{3} = -\frac{MR^2}{3 \left( 1 - \frac{v^2}{N^2} \left( 1 - \lambda_{GB} \frac{v^2}{N^2} \right) \right)} \end{cases} \Rightarrow \theta = \cos^{-1} \left( \frac{R'}{\sqrt{-Q'^3}} \right) \quad (86-3)$$

در نتیجه :

$$\theta = \cos^{-1} \left( \frac{-3\sqrt{3}Q^2 \left( 1 - \frac{v^2}{N^2} \left( 1 - \lambda_{GB} \frac{v^2}{N^2} \right) \right)^{\frac{1}{2}}}{2RM^{\frac{3}{2}}} \right) \quad (87-3)$$

و سه ریشه عبارتند از :

(88-3)

$$\begin{cases} X_1 = \frac{2R\sqrt{M}}{\sqrt{3} \left( 1 - \frac{v^2}{N^2} \left( 1 - \lambda_{GB} \frac{v^2}{N^2} \right) \right)^{\frac{1}{2}}} \cos \left( \frac{1}{3} \cos^{-1} \left( \frac{-3\sqrt{3}Q^2 \left( 1 - \frac{v^2}{N^2} \left( 1 - \lambda_{GB} \frac{v^2}{N^2} \right) \right)^{\frac{1}{2}}}{2RM^{\frac{3}{2}}} \right) \right) \\ X_2 = \frac{2R\sqrt{M}}{\sqrt{3} \left( 1 - \frac{v^2}{N^2} \left( 1 - \lambda_{GB} \frac{v^2}{N^2} \right) \right)^{\frac{1}{2}}} \cos \left( \frac{1}{3} \cos^{-1} \left( \frac{-3\sqrt{3}Q^2 \left( 1 - \frac{v^2}{N^2} \left( 1 - \lambda_{GB} \frac{v^2}{N^2} \right) \right)^{\frac{1}{2}}}{2RM^{\frac{3}{2}}} \right) + \frac{2\pi}{3} \right) \\ X_3 = \frac{2R\sqrt{M}}{\sqrt{3} \left( 1 - \frac{v^2}{N^2} \left( 1 - \lambda_{GB} \frac{v^2}{N^2} \right) \right)^{\frac{1}{2}}} \cos \left( \frac{1}{3} \cos^{-1} \left( \frac{-3\sqrt{3}Q^2 \left( 1 - \frac{v^2}{N^2} \left( 1 - \lambda_{GB} \frac{v^2}{N^2} \right) \right)^{\frac{1}{2}}}{2RM^{\frac{3}{2}}} \right) + \frac{4\pi}{3} \right) \end{cases}$$

با توجه به اینکه اگر ( $\lambda_{GB} \rightarrow 0$ ) باید به جواب های گذشته بررسیم ، پس تنها جواب  $X_1$  قابل قبول

است. با تعیین ریشه ، ثابت  $C$  و در نتیجه نیروی کششی از رابطه (24-3) تعیین می شود.

( 89-3)

$$F = -\frac{v \sqrt{g_{YM}^2 N} R \sqrt{M}}{\pi \sqrt{3} \left(1 - \frac{v^2}{N^2} \left(1 - \lambda_{GB} \frac{v^2}{N^2}\right)\right)^{\frac{1}{2}}} \cos \left( \frac{1}{3} \cos^{-1} \left( \frac{-3\sqrt{3} Q^2 \left(1 - \frac{v^2}{N^2} \left(1 - \lambda_{GB} \frac{v^2}{N^2}\right)\right)^{\frac{1}{2}}}{2RM^{\frac{3}{2}}} \right) \right)$$

با استفاده از روابط ( 63-3 ) نیروی کششی بر حسب پتانسیل شیمیایی ( $\mu$ ) ، شماره رنگ ( $n$ ) و دما

(  $T$  ) تعیین می شود.

( 90-3)

$$F = -\alpha \beta$$

$$\alpha = -\frac{v R \sqrt{g_{YM}^2 N} \cos \left( \frac{1}{3} \cos^{-1} \left( -\frac{4 \sqrt[3]{3} \left(1 - \frac{v^2 \lambda_{GB}}{N^2}\right) \pi^4 \mu^2 n r_0^4}{R \left( \frac{4096 n^4 \pi^{16} \mu^8}{81 R^2 \left(-\pi T + \sqrt{\pi^2 T^2 + \frac{16}{3} n \pi^4 \mu^2}\right)^4} + \frac{3 n r_0^4 \left(-\pi T + \sqrt{\pi^2 T^2 + \frac{16}{3} n \pi^4 \mu^2}\right)^2}{8 n^2 \pi^4 \mu^2} \right)^{\frac{3}{2}}} \right) \right)}{\sqrt{\left( \frac{v^2 \lambda_{GB}}{N^2} \right) \pi}}$$

$$\beta = \sqrt{\left( \frac{4096 n^4 \pi^{16} \mu^8}{81 R^2 \left(-\pi T + \sqrt{\pi^2 T^2 + \frac{16}{3} n \pi^4 \mu^2}\right)^4} + \frac{3 n r_0^4 \left(-\pi T + \sqrt{\pi^2 T^2 + \frac{16}{3} n \pi^4 \mu^2}\right)^2}{8 n^2 \pi^4 \mu^2} \right)}$$

### ۲-۳-۳ محاسبات در دمای صفر

در این حالت نیز ما سیاهچاله فرینه  $RN$  را در نظر می گیریم که اثر تصحیحات گاووس بونت در متريک آن وجود دارد. با استفاده از رابطه (7) در منبع [16] :

$$f = \frac{v^2}{N^2} \Rightarrow \frac{1}{2\lambda_{GB}} \left( 1 - \sqrt{1 - 4\lambda_{GB} (1-U)(1+U-2U^2)} \right) = \frac{v^2}{N^2} \quad (91-3)$$

با توجه به این که در حالت دمای صفر  $\tilde{q} = 2$  است ، در نتیجه رابطه بالا به شکل زیر تبدیل می شود :

$$\left( 1 - \sqrt{1 - 4\lambda_{GB} (1-U)(1+U-2U^2)} \right) = \frac{2\lambda_{GB} v^2}{N^2} \quad (92-3)$$

در این حالت با اعمال تغییر متغیر  $U = \frac{r_0^2}{r^2}$  و  $X = r^2$  به یک معادله درجه سوم رسیده و خواهیم

داشت :

$$X^3 + \frac{-3r_0^4}{1 - \frac{v^2}{N^2} \left( 1 - \lambda_{GB} \frac{v^2}{N^2} \right)} X = \frac{-2r_0^6}{1 - \frac{v^2}{N^2} \left( 1 - \lambda_{GB} \frac{v^2}{N^2} \right)} \quad (93-3)$$

$$\begin{cases} R' = \frac{q}{2} = \frac{-3r_0^4}{1 - \frac{v^2}{N^2} \left( 1 - \lambda_{GB} \frac{v^2}{N^2} \right)} \\ Q' = \frac{p}{3} = \frac{-2r_0^6}{1 - \frac{v^2}{N^2} \left( 1 - \lambda_{GB} \frac{v^2}{N^2} \right)} \end{cases} \quad (94-3)$$

در نتیجه مبین و آرگومان در ریشه ها عبارتند از :

$$D = \frac{p^3}{27} + \frac{q^2}{4} = \frac{-r_0^{12} \frac{v^2}{N^2} \left( 1 - \lambda_{GB} \frac{v^2}{N^2} \right)}{\left( 1 - \frac{v^2}{N^2} \left( 1 - \lambda_{GB} \frac{v^2}{N^2} \right) \right)^3} < 0 \quad (95-3)$$

$$\theta = \cos^{-1} \left( \frac{R}{\sqrt{-Q^3}} \right) = \cos^{-1} \left( - \left( 1 - \frac{v^2}{N^2} \left( 1 - \lambda_{GB} \frac{v^2}{N^2} \right) \right)^{\frac{1}{2}} \right) \quad (96-3)$$

پس سه ریشه حقیقی داریم که عبارتند از :

$$\begin{cases} X_1 = 2r_0^2 \left( 1 - \frac{v^2}{N^2} \left( 1 - \lambda_{GB} \frac{v^2}{N^2} \right) \right)^{-\frac{1}{2}} \cos \left( \frac{1}{3} \cos^{-1} \left( - \left( 1 - \frac{v^2}{N^2} \left( 1 - \lambda_{GB} \frac{v^2}{N^2} \right) \right)^{\frac{1}{2}} \right) \right) \\ X_2 = 2r_0^2 \left( 1 - \frac{v^2}{N^2} \left( 1 - \lambda_{GB} \frac{v^2}{N^2} \right) \right)^{-\frac{1}{2}} \cos \left( \frac{1}{3} \cos^{-1} \left( - \left( 1 - \frac{v^2}{N^2} \left( 1 - \lambda_{GB} \frac{v^2}{N^2} \right) \right)^{\frac{1}{2}} \right) + \frac{2\pi}{3} \right) \\ X_3 = 2r_0^2 \left( 1 - \frac{v^2}{N^2} \left( 1 - \lambda_{GB} \frac{v^2}{N^2} \right) \right)^{-\frac{1}{2}} \cos \left( \frac{1}{3} \cos^{-1} \left( - \left( 1 - \frac{v^2}{N^2} \left( 1 - \lambda_{GB} \frac{v^2}{N^2} \right) \right)^{\frac{1}{2}} \right) + \frac{4\pi}{3} \right) \end{cases}$$

$$-\left( 1 - \frac{v^2}{N^2} \left( 1 - \lambda_{GB} \frac{v^2}{N^2} \right) \right)^{\frac{1}{2}} < 0 \Rightarrow \frac{\pi}{6} < \frac{\theta}{3} < \frac{\pi}{2} \quad \text{با توجه به اینکه :}$$

در نتیجه مانند حالتهای قبل تنها جواب  $(X_1)$  قابل قبول است

با صفر قرار دادن دما در رابطه (63-3) خواهیم داشت :

$$r_0 = 2\pi^2 \mu \sqrt{\frac{n}{3}} \quad (98-3)$$

و با جایگزاری آن در رابطه  $(X_1)$  و  $(r_c)$  و  $(F)$  و  $(C)$  به دست می آیند :

$$F = -\frac{4\pi^3 \mu^2 n v}{3} \sqrt{g_{YM}^2 N} \left( 1 - \frac{v^2}{N^2} \left( 1 - \lambda_{GB} \frac{v^2}{N^2} \right) \right)^{-\frac{1}{2}} \cos \left( \frac{1}{3} \cos^{-1} \left( - \left( 1 - \frac{v^2}{N^2} \left( 1 - \lambda_{GB} \frac{v^2}{N^2} \right) \right)^{\frac{1}{2}} \right) \right) \quad (99-3)$$

در این رابطه ، همان طور که دیده می شود نیروی کششی با پتانسیل شیمیایی و شماره رنگ ، نسبت

مستقیم دارد.

### ۴-۳ زمان واهلش

زمان واهلش<sup>۱</sup> مدت زمانی است که طول می کشد تا اندازه حرکت ذره  $(e^{-1})$  به مقدار اولیه اش کاهش می یابد.

در این فصل می خواهیم با استفاده از نیروهای کششی به دست آمده در ابعاد مختلف زمان واهلش را در هر حالت به دست آوریم.

### ۱-۴-۳ زمان واهلش در دو بعد فضا زمانی

در دو بعد فضا زمانی ، تنها در حالت دمای غیر صفر نیروی کششی با استفاده از رابطه (31-3) به دست می آید. درنتیجه با استفاده از رابطه نیروی کششی می توان زمان واهلش را تعیین کرد :

$$\begin{cases} F = \frac{dP}{dt} = -\frac{\nu r_0^2 \sqrt{g_{YM}^2 N}}{2\pi A} \\ P = \frac{mv}{\sqrt{1-\nu^2}} = \frac{mv}{\sqrt{A}} \end{cases} \Rightarrow \frac{dP}{dt} = -\frac{P r_0^2 \sqrt{g_{YM}^2 N}}{2\pi m \sqrt{A}} \quad (1-4)$$

$$\frac{dP}{P} = -\frac{r_0^2 \sqrt{g_{YM}^2 N}}{2\pi m \sqrt{A}} dt \Rightarrow P(t) = P(0) EXP\left(-\frac{r_0^2 \sqrt{g_{YM}^2 N}}{2\pi m \sqrt{A}} t\right) \quad (2-4)$$

در نتیجه زمان واهلش عبارتست از :

$$t_D = \frac{2\pi m \sqrt{A}}{r_0^2 \sqrt{g_{YM}^2 N}} \quad (3-4)$$

ثابت پخش<sup>۲</sup> در این محیط را میتوان از رابطه (۳) در منبع [۱۳] به صورت زیر به دست آورد :

$$D = \frac{T}{m} t_D \quad (4-4)$$

<sup>۱</sup> Relaxation Time  
<sup>۲</sup> Diffusion Coefficient

با جایگزاری (3-4) در (4-4) :

$$D = \frac{2\pi T \sqrt{A}}{r_0^2 \sqrt{g_{YM}^2 N}} \quad (5-4)$$

### ۲-۴-۳ زمان واهلش در چهار بعد فضا زمانی

در این حالت نیز با استفاده از نیروی کششی به دست آمده در دو حالت دمای صفر و غیر صفر، زمان واهلش کوارک سنگین را در محیط به دست می آوریم :

### ۱-۲-۴ دمای صفر

با استفاده از نتایج به دست آمده در حالت چهار بعد و دمای صفر :

$$\begin{cases} F = -\frac{4\pi^3 \mu^2 n v \sqrt{g_{YM}^2 N}}{3\sqrt{A}} \cos\left(\frac{\cos^{-1}(-\sqrt{A})}{3}\right) \\ P = \frac{mv}{\sqrt{1-v^2}} = \frac{mv}{\sqrt{A}} \end{cases} \quad (6-4)$$

در نتیجه :

$$\frac{dP}{P} = -\frac{4\pi^3 \mu^2 n \sqrt{g_{YM}^2 N}}{3m} \cos\left(\frac{\cos^{-1}(-\sqrt{A})}{3}\right) dt \quad (7-4)$$

$$P(t) = P(0) \exp\left(-\frac{4\pi^3 \mu^2 n \sqrt{g_{YM}^2 N}}{3m} t \cos\left(\frac{\cos^{-1}(-\sqrt{A})}{3}\right)\right) \quad (8-4)$$

در نتیجه زمان واهلش عبارتست از :

$$t_D = \frac{3m}{4\pi^3 \mu^2 n \sqrt{g_{YM}^2 N} \cos\left(\frac{\cos^{-1}(-\sqrt{A})}{3}\right)} \quad (9-4)$$

همچنین ثابت پخش با استفاده از رابطه (4-4) به صورت زیر است :

$$D = \frac{3T}{4\pi^3 \mu^2 n \sqrt{g_{YM}^2 N} \cos \left( \frac{\cos^{-1}(-\sqrt{A})}{3} \right)} \quad (10-4)$$

### ۲-۲-۴-۳ دمای غیر صفر

در دمای غیر صفر با استفاده از رابطه (61-3) داریم :

$$F = \frac{dP}{dt} = -\frac{mv}{\sqrt{1-v^2}} \frac{\sqrt{g_{YM}^2 N}}{m \pi} \sqrt{\frac{M}{3}} \cos \left( \frac{1}{3} \cos^{-1} \left( \frac{-3\sqrt{3A} Q^2}{2M^{3/2}} \right) \right)$$

$$\frac{dP}{P} = -\frac{t \sqrt{g_{YM}^2 N}}{m \pi} \sqrt{\frac{M}{3}} \cos \left( \frac{1}{3} \cos^{-1} \left( \frac{-3\sqrt{3A} Q^2}{2M^{3/2}} \right) \right)$$

$$P(t) = P(0) \exp \left( -\frac{t \sqrt{g_{YM}^2 N}}{\pi m} \sqrt{\frac{M}{3}} \cos \left( \frac{1}{3} \cos^{-1} \left( \frac{-3\sqrt{3A} Q^2}{2M^{3/2}} \right) \right) \right)$$

و در نتیجه زمان و اهلش و ثابت پخش عبارتند از :

$$t_D = \frac{\pi m \sqrt{3}}{\sqrt{M} \sqrt{g_{YM}^2 N}} \left( \cos \left( \frac{1}{3} \cos^{-1} \left( \frac{-3\sqrt{3A} Q^2}{2M^{3/2}} \right) \right) \right)^{-1} \quad (11-4)$$

$$D = \frac{\sqrt{3} \pi T}{\sqrt{M} \sqrt{g_{YM}^2 N}} \left( \cos \left( \frac{1}{3} \cos^{-1} \left( \frac{-3\sqrt{3A} Q^2}{2M^{3/2}} \right) \right) \right)^{-1} \quad (12-4)$$

با استفاده از روابط به دست آمده برای زمان واهلش و ثابت پخش ، این دو کمیت را برای حرکت کوارک در چهار بعد تعیین کرده و در جداول پیوست آورده ایم. جدول صفحه های ۱۰۱ و ۱۰۲ مربوط به مقادیر به دست آمده برای زمان واهلش به ازای پتانسیل های شیمیایی مختلف و شماره رنگ های متفاوت است . همچنین در جدول صفحه های ۱۰۳ ، ۱۰۴ و ۱۰۵ زمان واهلش به ازای پتانسیل های شیمیایی ۳۰ و ۴۰ مگا الکترون ولت و برای شماره رنگ های متفاوت محاسبه شده است و نتایج با نتایج به دست آمده در منبع [۱۳] مقایسه شده است. در این مقاله سه رژیم مختلف مورد بحث قرار گرفته اند که ما در هر مورد نتایج خود را با نتایج به دست آمده در آن مقایسه کرده ایم که مقادیر مورد نظر در جدول صفحه های ۱۰۳ ، ۱۰۴ و ۱۰۵ آورده شده است.

### ۳-۴-۳ زمان واهلش در چهار بعد فضا زمانی با در نظر گرفتن تصحیحات گاووس بونت

#### ۱-۳-۴-۳ دمای غیر صفر

با استفاده از رابطه ( 89-3 ) :

$$F = -\frac{v \sqrt{g_{YM}^2 N} R \sqrt{M}}{\pi \sqrt{3} \left(1 - \frac{v^2}{N^2} \left(1 - \lambda_{GB} \frac{v^2}{N^2}\right)\right)^{\frac{1}{2}}} \cos \left( \frac{1}{3} \cos^{-1} \left( \frac{-3\sqrt{3}Q^2 \left(1 - \frac{v^2}{N^2} \left(1 - \lambda_{GB} \frac{v^2}{N^2}\right)\right)^{\frac{1}{2}}}{2R M^{\frac{3}{2}}} \right) \right)$$

$$\frac{dP}{P} = -\frac{\sqrt{g_{YM}^2 N} R \sqrt{M} \sqrt{1-v^2} dt}{m \sqrt{3} \left(1 - \frac{v^2}{N^2} \left(1 - \lambda_{GB} \frac{v^2}{N^2}\right)\right)^{\frac{1}{2}}} \cos \left( \frac{1}{3} \cos^{-1} \left( \frac{-3\sqrt{3}Q^2 \left(1 - \frac{v^2}{N^2} \left(1 - \lambda_{GB} \frac{v^2}{N^2}\right)\right)^{\frac{1}{2}}}{2R M^{\frac{3}{2}}} \right) \right)$$

و زمان واهلش و ثابت پخش عبارتند از :

$$t_D = \frac{m\sqrt{3} \left( 1 - \frac{v^2}{N^2} \left( 1 - \lambda_{GB} \frac{v^2}{N^2} \right) \right)^{\frac{1}{2}}}{\sqrt{g_{YM}^2 N} R \sqrt{M} \sqrt{1-v^2} \cos \left( \frac{1}{3} \cos^{-1} \left( \frac{-3\sqrt{3}Q^2 \left( 1 - \frac{v^2}{N^2} \left( 1 - \lambda_{GB} \frac{v^2}{N^2} \right) \right)^{\frac{1}{2}}}{2RM^{\frac{3}{2}}} \right) \right)} \quad (13-4)$$

$$D = \frac{\sqrt{3}T \left( 1 - \frac{v^2}{N^2} \left( 1 - \lambda_{GB} \frac{v^2}{N^2} \right) \right)^{\frac{1}{2}}}{R \sqrt{M} \sqrt{g_{YM}^2 N} \sqrt{1-v^2} \cos \left( \frac{1}{3} \cos^{-1} \left( \frac{-3\sqrt{3}Q^2 \left( 1 - \frac{v^2}{N^2} \left( 1 - \lambda_{GB} \frac{v^2}{N^2} \right) \right)^{\frac{1}{2}}}{2RM^{\frac{3}{2}}} \right) \right)} \quad (14-4)$$

### ۴-۳-۴-۳ دمای صفر

در این حالت با استفاده از رابطه (99-3) :

$$F = \frac{dP}{dt} = \frac{mv}{\sqrt{1-v^2}} \frac{-4\pi^3 \mu^2 n \sqrt{g_{YM}^2 N} \sqrt{1-v^2}}{3m \left( 1 - \frac{v^2}{N^2} \left( 1 - \lambda_{GB} \frac{v^2}{N^2} \right) \right)^{\frac{1}{2}}} \cos \left( \frac{1}{3} \cos^{-1} \left( - \left( 1 - \frac{v^2}{N^2} \left( 1 - \lambda_{GB} \frac{v^2}{N^2} \right) \right)^{\frac{1}{2}} \right) \right)$$

در نتیجه :

$$\frac{dP}{P} = \frac{-4\pi^3 \mu^2 n \sqrt{g_{YM}^2 N} \sqrt{1-v^2} dt}{3m \left( 1 - \frac{v^2}{N^2} \left( 1 - \lambda_{GB} \frac{v^2}{N^2} \right) \right)^{\frac{1}{2}}} \cos \left( \frac{1}{3} \cos^{-1} \left( - \left( 1 - \frac{v^2}{N^2} \left( 1 - \lambda_{GB} \frac{v^2}{N^2} \right) \right)^{\frac{1}{2}} \right) \right) \quad (15-4)$$

در نتیجه زمان واهلش و ثابت پخش عبارتند از :

$$t_D = \frac{3m \left( 1 - \frac{v^2}{N^2} \left( 1 - \lambda_{GB} \frac{v^2}{N^2} \right) \right)^{\frac{1}{2}}}{4\pi^3 \mu^2 n \sqrt{g_{YM}^2 N} \sqrt{1-v^2} \cos \left( \frac{1}{3} \cos^{-1} \left( - \left( 1 - \frac{v^2}{N^2} \left( 1 - \lambda_{GB} \frac{v^2}{N^2} \right) \right)^{\frac{1}{2}} \right) \right)} \quad (16-4)$$

$$D = \frac{\sqrt{3} T \left( 1 - \frac{v^2}{N^2} \left( 1 - \lambda_{GB} \frac{v^2}{N^2} \right) \right)^{\frac{1}{2}}}{4\pi^3 \mu^2 n \sqrt{g_{YM}^2 N} \sqrt{1-v^2} \cos \left( \frac{1}{3} \cos^{-1} \left( - \left( 1 - \frac{v^2}{N^2} \left( 1 - \lambda_{GB} \frac{v^2}{N^2} \right) \right)^{\frac{1}{2}} \right) \right)} \quad (17-4)$$

## ۳-۵ نتیجه گیری و تحلیل نتایج

در این فصل ما با استفاده از نظریه ریسمان و دوگانی  $AdS/CFT$  ، به مطالعه حرکت ذره در ابعاد مختلف و در محیط هایی که برهمکنش ها قوی هستند پرداختیم. این ذره در چهار بعد فضا زمانی کوارک می باشد. معادلات حرکت را برای آن به دست آورده و سپس نیروی کششی را تعیین کردیم. با استفاده از نیروی کششی ، زمان واهلش را نیز به دست آوردیم. تمامی محاسبات در دو حالت دمای صفر و دمای غیر صفر انجام شده است.

با توجه به روابط به دست آمده از این محاسبات می توان به نتایج زیر دست یافت :

- (۱) با دقت در رابطه می توان به این نتیجه رسید که نیروی کششی در حد سرعت های کلاسیکی ( $v \ll 1$ ) ، با سرعت ذره رابطه مستقیم دارد ولی در حد سرعتهای نزدیک به

$$\text{سرعت نور این رابطه به شکل پیچیده } F \propto \frac{v}{\sqrt{1-v^2}} \text{ تبدیل می شود.}$$

- (۲) در دو بعد فضا زمانی دمای محیط نمی تواند صفر باشد ، زیرا در این صورت تابع  $f(r)$  در افق سیاهچاله غیر صفر است.

- (۳) با حل عددی معادله (۳-۱۶) در دو بعد شکل ریسمان را رسم کرده و در نمودارهای صفحه ۴۵ آورده ایم. شکل ریسمان نشان می دهد که در حد سرعت های کمتر از سرعت نور چون نیروی کششی با سرعت ذره رابطه مستقیم دارد ، با افزایش سرعت ، خمس ریسمان بیشتر می شود ولی در حد سرعتهای نزدیک به سرعت نور ، چون وابستگی نیروی کششی به سرعت

$$\text{به صورت } F \propto \frac{v}{\sqrt{1-v^2}} \text{ می باشد ، با افزایش سرعت ، خمس ریسمان کاهش می یابد.}$$

- (۴) محاسبات در چهار بعد فضا زمانی و در دمای صفر نشان می دهد که نیروی کششی در این حالت ( رابطه (۳-۵۶)) با شماره رنگ و مجدور پتانسیل شیمیایی رابطه مستقیم دارد و

$$\text{رابطه آن با سرعت به شکل پیچیده } F \propto \frac{v}{\sqrt{1-v^2}} \cos \left( \frac{\cos^{-1}(-\sqrt{1-v^2})}{3} \right) \text{ می باشد.}$$

(۵) با حل عددی معادله (۳-۱۶) در چهار بعد و دمای صفر ، شکل ریسمان را به ازاء سرعتهای مختلف در صفحه ۶۲ رسم کرده ایم. دقت در این شکل ها نشان می دهد که با افزایش سرعت کوارک ، خمش ریسمان افزایش می یابد.

(۶) محاسبات در چهار بعد فضا زمانی و در دمای غیر صفر نشان می دهد که نیروی کششی در این حالت ( رابطه (۳-۶۴)) با شماره رنگ و پتانسیل شیمیایی و سرعت رابطه بسیار پیچیده تری نسبت به حالت دمای صفر دارد که این رابطه به صورت یک جمله رادیکالی در یک جمله کسینوسی می باشد.

(۷) از حل عددی معادله (۳-۱۶) در چهار بعد و دمای غیر صفر توانستیم در این حالت نیز شکل ریسمان را رسم کنیم. دقت در شکلهای صفحه ۶۷ نشان می دهد که با افزایش سرعت کوارک در محیط خمش ریسمان متصل به کوارک نیز افزایش می یابد.

(۸) با رسم نمودار نیروی کششی در چهار بعد بر حسب سرعت ، در دمای ثابت و پتانسیل شیمیایی متفاوت ( نمودارهای صفحه ۶۸ ) مشخص شد که با افزایش شماره رنگ و همچنین پتانسیل شیمیایی ، نیروی کششی افزایش می یابد و این مطلب قابل توجیه است ، زیرا افزایش پتانسیل شیمیایی بر اثر افزایش تعداد ذرات محیط و افزایش شماره رنگ نیز منجر به افزایش برهمکنش های قوی می شود که نتیجه آنها نیز افزایش نیروی کششی است.

(۹) با رسم نمودار نیروی کششی در چهار بعد بر حسب سرعت ، در پتانسیل شیمیایی ثابت و دمای متفاوت ( نمودارهای صفحه ۶۹ ) مشخص شد که با افزایش شماره رنگ و همچنین دما نیروی کششی افزایش می یابد و این مطلب نیز از نظر فیزیکی درست است ، زیرا افزایش دما باعث افزایش برخوردها و افزایش شماره رنگ نیز منجر به افزایش برهمکنش های قوی می شود که نتیجه آنها نیز افزایش نیروی کششی است.

- ۱۰) با رسم نمودار نیروی کششی در چهار بعد بر حسب پتانسیل شیمیایی ، در دمای ثابت و سرعت های متفاوت ( نمودارهای صفحه ۷۰ ) مشخص شد که با افزایش شماره رنگ و همچنین سرعت ، نیروی کششی افزایش می یابد.
- ۱۱) محاسبه نیروی کششی با در نظر گرفتن اثر تصحیحات گرانشی گاووس بونت نیز انجام شد و مشخص است که برای حالتی که اثر این تصحیحات کم شود  $\lambda_{GB} \rightarrow 0$  ، روابط ( ۹۴-۳ ) و ( ۸۵-۳ ) دقیقا به روابط ( ۵۶-۳ ) و ( ۶۴-۳ ) تبدیل می شوند.
- ۱۲) در منابع [ ۱۲ ] و [ ۱۳ ] نیروی کششی در چهار بعد و دمای غیر صفر برای حرکت کوارک در محیطی که بار الکتریکی ندارد ، نشان شده است. محاسبات صفحه ۶۵ نشان می دهد که در حالتی که بار الکتریکی محیط صفر شود ، رابطه به دست آمده برای چهار بعد و دمای غیر صفر در این رساله ( رابطه ( ۶۱-۳ ) ) دقیقا با رابطه ( ۱ ) در منبع [ ۱۳ ] یکسان است.

## پیوستہا

## پیوست الف

حل معادله درجه سوم

شكل کلی معادله درجه سوم عبارتست از:

$$Z^3 + a_2 Z^2 + a_1 Z + a_0 = 0 \quad (\text{الف - 1})$$

با تغییر متغیر  $(Z = X - \lambda)$  داریم :

$$(X - \lambda)^3 + a_2(X - \lambda)^2 + a_1(X - \lambda) + a_0 = 0$$

$$(X^3 - 3\lambda X^2 + 3\lambda^2 X - \lambda^3) + a_2(X^2 - 2\lambda X + \lambda^2) + a_1(X - \lambda) + a_0 = 0$$

$$X^3 + (a_2 - 3\lambda)X^2 + (a_1 - 2a_2\lambda + 3\lambda^2)X + (a_0 - a_1\lambda + a_2\lambda^2 - \lambda^3) = 0 \quad (\text{الف - 2})$$

می توان جمله  $X^2$  در معادله (الف - 2) را با انتخاب  $\lambda = \frac{a_2}{3}$  حذف کرد :

$$\lambda = \frac{a_2}{3} \Rightarrow Z = X - \frac{a_2}{3}$$

با جایگزاری در معادله (الف - 2) خواهیم داشت :

$$X^3 + \left( \frac{3a_1 - a_2^2}{3} \right)X - \frac{9a_1a_2 - 27a_0 - 2a_2^3}{27} = 0$$

در نتیجه معادله به شکل زیر تبدیل می شود :

$$X^3 + pX = q \quad (\text{الف - 3})$$

که در آن :

$$\begin{cases} p = \frac{3a_1 - a_2^2}{3} \\ q = \frac{9a_1a_2 - 27a_0 - 2a_2^3}{27} \end{cases} \quad (\text{الف - 4})$$

اکنون تغییر متغیر دیگری را انجام می دهیم :

اگر این تغییر متغیر را در معادله (الف-3) اعمال کنیم :

$$\left(W - \frac{p}{3W}\right)^3 + p\left(W - \frac{p}{3W}\right) - q = 0$$

در نتیجه پس از کمی عملیات جبری خواهیم داشت :

$$(W^3)^2 - qW^3 - \frac{p^3}{27} = 0 \quad (\text{الف-5})$$

با حل این معادله درجه سوم :

$$W^3 = \frac{q \pm \sqrt{q^2 + \frac{4p^3}{27}}}{2} = \frac{q}{2} \pm \sqrt{\frac{q^2}{4} + \frac{p^3}{27}} \quad (\text{الف-6})$$

$$\begin{cases} \frac{q}{2} = R \\ \frac{p}{3} = Q \end{cases} \Rightarrow W^3 = R \pm \sqrt{R^2 + Q^3} \quad (\text{الف-7})$$

در نتیجه :

$$\begin{cases} R = \frac{q}{2} = \frac{9a_1a_2 - 27a_0 - 2a_2^3}{27} \\ Q = \frac{p}{3} = \frac{3a_1 - a_2^2}{3} \end{cases} \quad (\text{الف-8})$$

اکنون رابطه (الف-3) را بر حسب  $(Q, R)$  می نویسیم :

$$X^3 + 3QX - 2R = 0 \quad (\text{الف-9})$$

در این مرحله هدف این است که این معادله را به صورت حاصل ضرب دو عامل درجه یک و دو بر حسب  $(X)$  بنویسیم. پس در این مرحله سعی ما پیدا کردن عامل فاکتور است.

$$X^3 - B^3 = (X - B)(X^2 + BX + B^2) \quad \text{می دانیم :}$$

$$X^3 - B^3 + C(X - B) = (X - B)(X^2 + BX + B^2 + C) \quad \text{در نتیجه:}$$

$$X^3 + CX - (B^3 + BC) = (X - B)(X^2 + BX + (B^2 + C)) \quad (\text{الف-10})$$

از مقایسه (الف-9) و (الف-10) :

$$\begin{cases} C = 3Q \\ B^3 + BC = 2R \end{cases} \Rightarrow B^3 + 3QB = 2R \quad (\text{الف-11})$$

پس عامل فاکتور ( $B$ ) در شرط (الف-11) صدق می کند. هدف، تعیین ( $B$ ) است. لزومی به حل

معادله (الف-11) نیست، بلکه یکی از جواب های این معادله نیز کافی است تا بتوانیم عامل فاکتور

( $B$ ) را یافته معادله درجه سوم را حل کنیم. یکی از جوابهای معادله (الف-11) عبارتست از:

$$B = \left( R + \sqrt{R^2 + Q^3} \right)^{\frac{1}{3}} + \left( R - \sqrt{R^2 + Q^3} \right)^{\frac{1}{3}} \quad (\text{الف-12})$$

با جایگزاری (الف-12) در (الف-11) و عملیات جبری می توان پی برد که (الف-12) یکی از ریشه

های (الف-11) است. با پیدا کردن عامل فاکتور و قرار دادن آن در رابطه (الف-10) ریشه ها به دست

می آیند:

(الف-13)

$$(X - B)(X^2 + BX + (B^2 + 3Q)) = 0 \Rightarrow \begin{cases} X_1 = B = \left( R + \sqrt{R^2 + Q^3} \right)^{\frac{1}{3}} + \left( R - \sqrt{R^2 + Q^3} \right)^{\frac{1}{3}} \\ X^2 + BX + (B^2 + C) = 0 \end{cases}$$

(الف-14)

$$X^2 + BX + (B^2 + C) = 0 \Rightarrow X = \frac{-B \pm \sqrt{B^2 - 4(B^2 + 3Q)}}{2} = -\frac{B}{2} \pm \frac{1}{2} \sqrt{-3B^2 - 12Q}$$

در نتیجه ریشه ها عبارتند از :

$$\begin{cases} X_1 = B = \left( R + \sqrt{R^2 + Q^3} \right)^{\frac{1}{3}} + \left( R - \sqrt{R^2 + Q^3} \right)^{\frac{1}{3}} \\ X_2 = -\frac{B}{2} + \frac{1}{2}\sqrt{3}i\sqrt{B^2 + 4Q} \\ X_3 = -\frac{B}{2} - \frac{1}{2}\sqrt{3}i\sqrt{B^2 + 4Q} \end{cases} \quad (\text{الف-15})$$

سودمند است که متغیر  $A$  را به صورت زیر تعریف کنیم :

$$A = \left( R + \sqrt{R^2 + Q^3} \right)^{\frac{1}{3}} - \left( R - \sqrt{R^2 + Q^3} \right)^{\frac{1}{3}} \quad (\text{الف-16})$$

در نتیجه :

$$A^2 = \left( R + \sqrt{R^2 + Q^3} \right)^{\frac{2}{3}} + \left( R - \sqrt{R^2 + Q^3} \right)^{\frac{2}{3}} - 2Q \quad (\text{الف-17})$$

از طرفی با استفاده از رابطه (الف-12) :

$$B^2 = \left( R + \sqrt{R^2 + Q^3} \right)^{\frac{2}{3}} + \left( R - \sqrt{R^2 + Q^3} \right)^{\frac{2}{3}} - 2Q \quad (\text{الف-18})$$

در نتیجه خواهیم داشت :

$$A^2 = B^2 + 4Q \quad (\text{الف-19})$$

با جایگزاری در ریشه ها (روابط (الف-11) و (الف-11)) :

$$\begin{cases} X_1 = B \\ X_2 = -\frac{B}{2} + \frac{1}{2}\sqrt{3}iA \\ X_3 = -\frac{B}{2} - \frac{1}{2}\sqrt{3}iA \end{cases} \quad (\text{الف-20})$$

حال تغییر متغیرهای  $(T, S, D)$  را به صورت زیر تعریف می کنیم :

$$\begin{cases} D = Q^3 + R^2 \\ S = (R + \sqrt{D})^{\frac{1}{3}} \\ T = (R - \sqrt{D})^{\frac{1}{3}} \end{cases} \quad (\text{الف-21})$$

در نتیجه :

$$\begin{cases} B = S + T \\ A = S - T \end{cases} \quad (\text{الف-22})$$

پس ریشه های معادله (الف-1) عبارتند از :

$$\begin{cases} Z_1 = X_1 - \lambda = X_1 - \frac{a_2}{3} = S + T - \frac{a_2}{3} \\ Z_2 = X_2 - \lambda = -\frac{1}{2}(S + T) + \frac{1}{2}\sqrt{3}i(S - T) - \frac{a_2}{3} \\ Z_3 = X_3 - \lambda = -\frac{1}{2}(S + T) - \frac{1}{2}\sqrt{3}i(S - T) - \frac{a_2}{3} \end{cases} \quad (\text{الف-23})$$

روابط (الف-23) به فرمولهای کاردانو (*Cardano's Formula*) مشهورند.

در حالتی که شکل معادله درجه سوم مشابه رابطه (الف-3) باشد (حالتی که در محاسبات نیروی

کششی به آن می رسیم) ریشه ها از روابط (الف-23) بدست می آیند :

$$\begin{cases} X_1 = B = (R + \sqrt{R^2 + Q^3})^{\frac{1}{3}} + (R - \sqrt{R^2 + Q^3})^{\frac{1}{3}} \\ X_2 = -\frac{B}{2} + \frac{1}{2}\sqrt{3}i\sqrt{B^2 + 4Q} \\ X_3 = -\frac{B}{2} - \frac{1}{2}\sqrt{3}i\sqrt{B^2 + 4Q} \end{cases} \quad \begin{cases} R = \frac{q}{2} \\ Q = \frac{p}{3} \end{cases} \quad (\text{الف-24})$$

بحث در مورد جوابهای معادله درجه سوم :

مبین  $(D)$  را به صورت مقابل تعریف می کنیم :

$$D = Q^3 + R^2 \quad (\text{الف-25})$$

حالتهای مختلف عبارتند از :

$$\text{IF } D > 0 \Rightarrow \begin{cases} X_1 = (R + \sqrt{D})^{\frac{1}{3}} + (R - \sqrt{D})^{\frac{1}{3}} \\ X_2, X_3 \end{cases} \Rightarrow \begin{array}{l} \text{is Real} \\ \text{Are Complex Conjugate} \end{array} \quad (\text{الف-26})$$

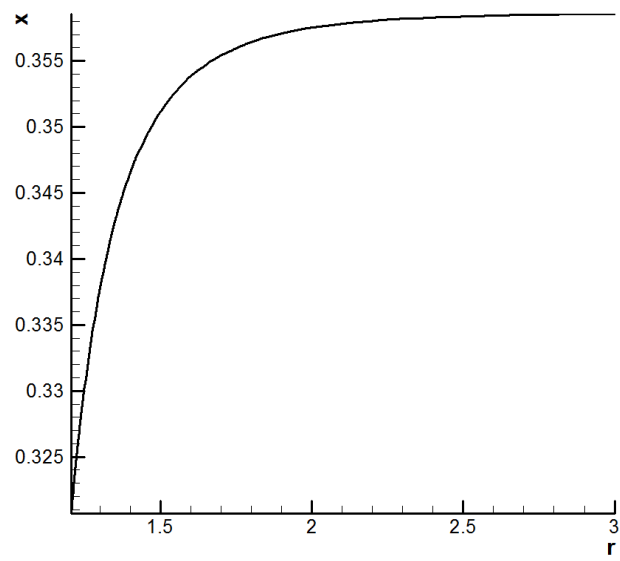
$$\text{IF } D = 0 \Rightarrow Q^3 = -R^2 \Rightarrow \begin{cases} X_1 = B = 2R^{\frac{1}{3}} \\ X_2 = X_3 = -R^{\frac{1}{3}} \end{cases} \quad (\text{الف-27})$$

$$\text{IF } D < 0 \Rightarrow \text{All Roots Are Real} \Rightarrow \begin{cases} X_1 = 2\sqrt{-Q} \cos\left(\frac{\theta}{3}\right) \\ X_2 = 2\sqrt{-Q} \cos\left(\frac{\theta + 2\pi}{3}\right) \\ X_3 = 2\sqrt{-Q} \cos\left(\frac{\theta + 4\pi}{3}\right) \end{cases} \quad (\text{الف-28})$$

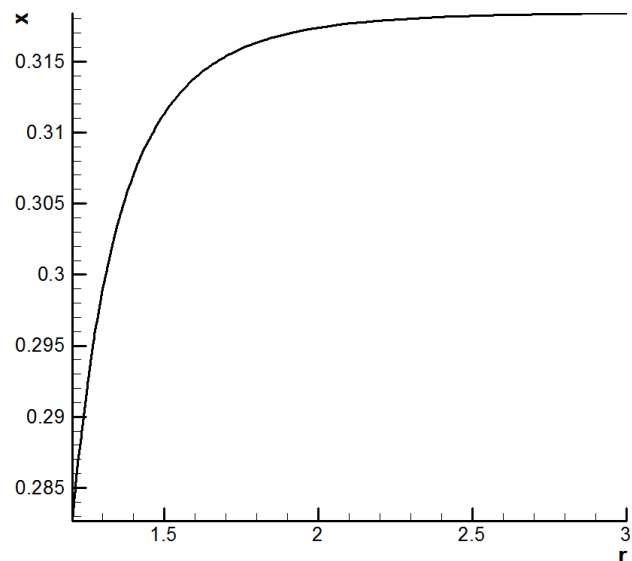
$$\theta = \cos^{-1}\left(\frac{R}{\sqrt{-Q^3}}\right) \quad \text{که:}$$

## پیوست ب

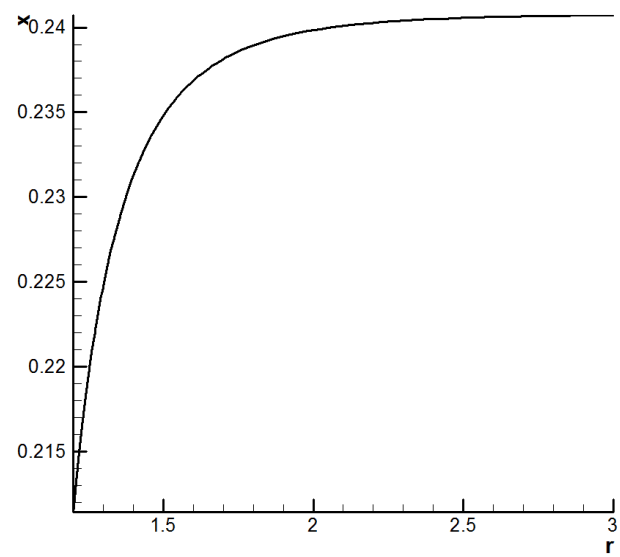
### ادامه نمودارهای فصل سوم



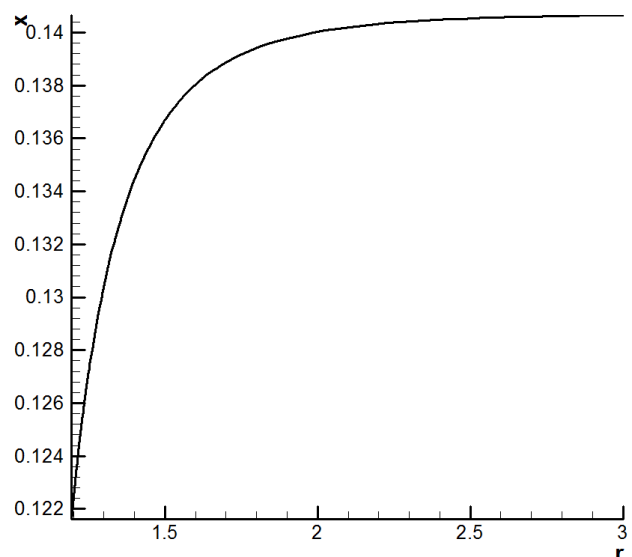
$$\nu = 0.5$$



$$\nu = 0.6$$

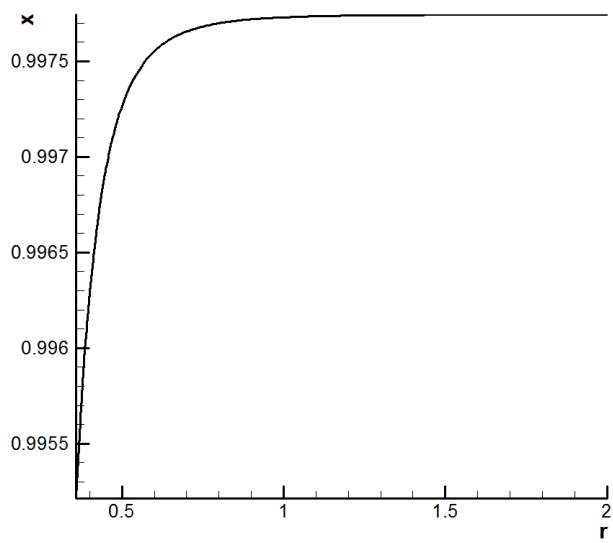


$$\nu = 0.7$$

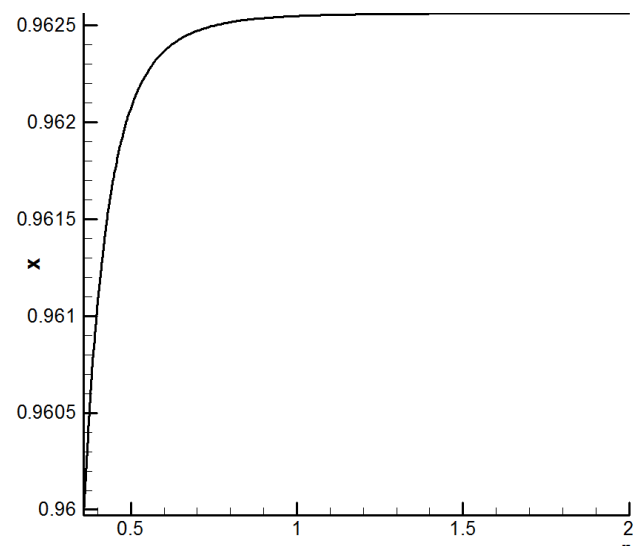


$$\nu = 0.8$$

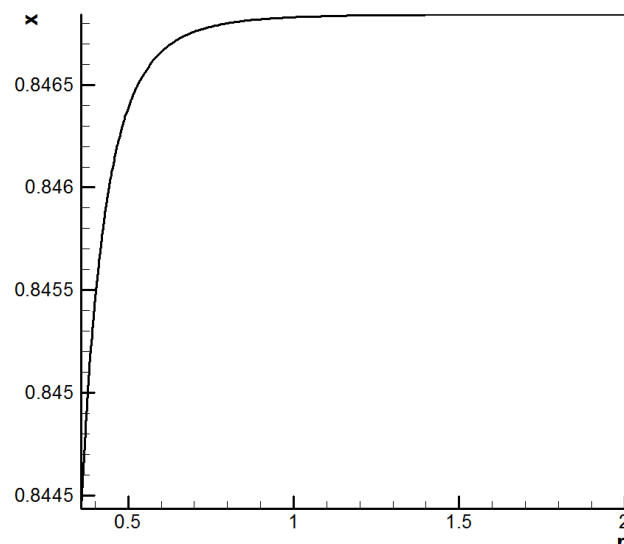
ب-۱ شکل ریسمان در سرعتهای مختلف ( ادامه نمودارها در دو بعد )



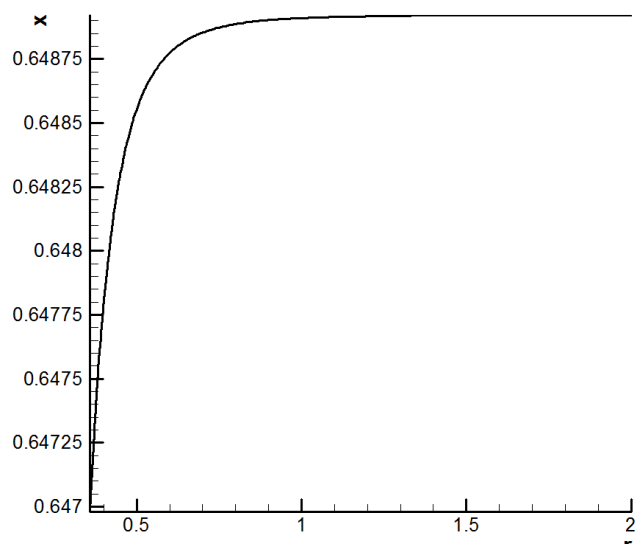
$$\nu = 0.5$$



$$\nu = 0.6$$

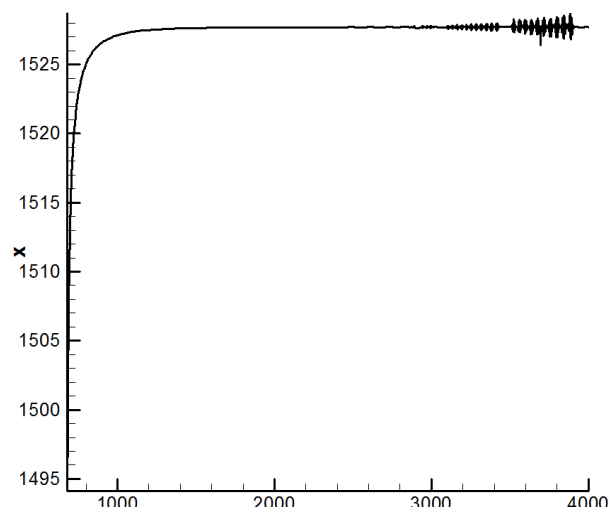


$$\nu = 0.7$$

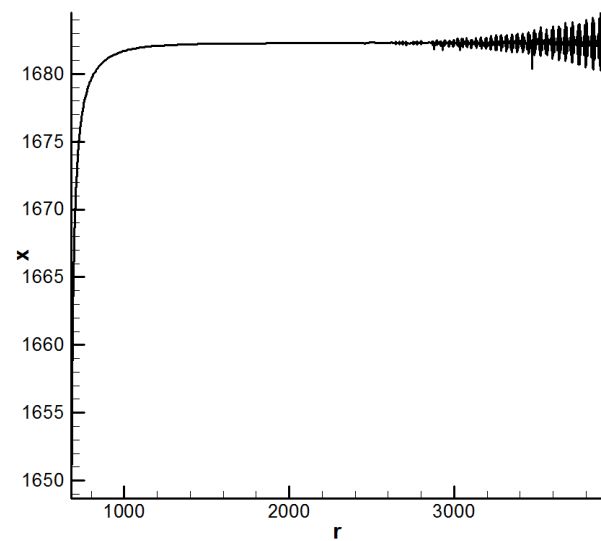


$$\nu = 0.8$$

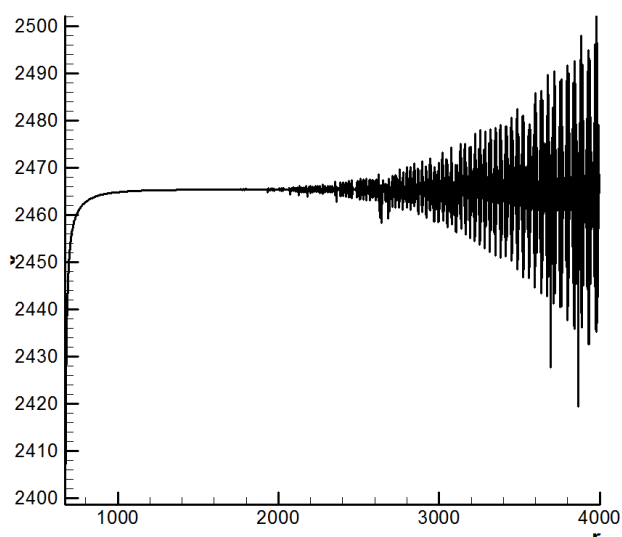
ب-۲ شکل ریسمان در سرعتهای مختلف ( ادامه نمودارها در چهار بعد و دمای صفر )



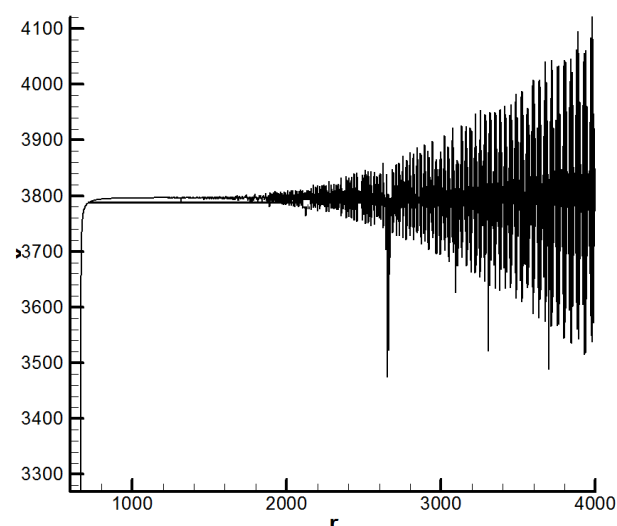
$$\nu = 0.404966$$



$$\nu = 0.404970$$



$$\nu = 0.404980$$



$$\nu = 0.404985$$

ب-۳ شکل ریسمان در سرعتهای مختلف (ادامه نمودارها در چهار بعد و دمای غیر صفر)

## پیوست ب

جدولهای مقادیر بدست آمده در رژیمهای مختلف

# *Fixed Temperature Comparison & Equal Energy Density*

$$\left\{ \left( T = 0 \right) \left( m = 1.4 GeV \right) \left( \sqrt{g_{YM}^2 N} = \sqrt{5.5} \right) \right\}$$

	$\mu = 52 Mev$	$\mu = 60 Mev$	$\mu = 70 Mev$	$\mu = 80 Mev$	$\mu = 90 Mev$	$\mu = 100 Mev$
$n = \frac{1}{3}$	$6.328 fm$	$4.753 fm$	$3.492 fm$	$2.673 fm$	$2.112 fm$	$1.711 fm$
$n = \frac{2}{3}$	$3.164 fm$	$2.376 fm$	$1.746 fm$	$1.336 fm$	$1.056 fm$	$0.855 fm$
$n = 1$	$2.109 fm$	$1.584 fm$	$1.164 fm$	$0.891 fm$	$0.704 fm$	$0.570 fm$

## *Obvious Prescription*

$$\left\{ \left( T = 0 \right) \left( m = 1.4 GeV \right) \left( \sqrt{g_{YM}^2 N} = \sqrt{6\pi} \right) \right\}$$

	$\mu = 52 Mev$	$\mu = 60 Mev$	$\mu = 70 Mev$	$\mu = 80 Mev$	$\mu = 90 Mev$	$\mu = 100 Mev$
$n = \frac{1}{3}$	$3.418 fm$	$2.567 fm$	$1.886 fm$	$1.444 fm$	$1.141 fm$	$0.924 fm$
$n = \frac{2}{3}$	$1.709 fm$	$1.283 fm$	$0.943 fm$	$0.722 fm$	$0.570 fm$	$0.462 fm$
$n = 1$	$1.139 fm$	$0.855 fm$	$0.628 fm$	$0.481 fm$	$0.380 fm$	$0.308 fm$

## *Obvious Prescription*

$$\left\{ \left( T = 250 Mev \right) \left( m = 1.4 Gev \right) \left( \sqrt{g_{YM}^2 N} = \sqrt{6\pi} \right) \right\}$$

$\mu = 30 Mev$	$n = \frac{1}{3}$	$t_D \approx 0.577 fm$	$n = \frac{2}{3}$	$t_D \approx 0.523 fm$	$n = 1$	$t_D \approx 0.479 fm$	$t_D \approx 0.6 fm$
		$2\pi t_D \approx 0.818$		$2\pi t_D \approx 0.742$		$2\pi t_D \approx 0.679$	
$\mu = 40 Mev$	$n = \frac{1}{3}$	$t_D \approx 0.534 fm$	$n = \frac{2}{3}$	$t_D \approx 0.459 fm$	$n = 1$	$t_D \approx 0.404 fm$	$2\pi t_D \approx 0.9$
		$2\pi t_D \approx 0.757$		$2\pi t_D \approx 0.651$		$2\pi t_D \approx 0.573$	

## Fixed Energy Comparison

$$\left\{ \left( T = 250 Mev \right) \left( m = 1.4 Gev \right) \left( \sqrt{g_{YM}^2 N} = \sqrt{5.5} \right) \right\}$$

$\mu = 30 Mev$	$n = \frac{1}{3}$	$t_D \approx 1.069 fm$	$n = \frac{2}{3}$	$t_D \approx 0.968 fm$	$n = 1$	$t_D \approx 0.887 fm$	$t_D \approx 1.2 fm$
		$2\pi t_D \approx 1.517$		$2\pi t_D \approx 1.373$		$2\pi t_D \approx 1.258$	
$\mu = 40 Mev$	$n = \frac{1}{3}$	$t_D \approx 0.989 fm$	$n = \frac{2}{3}$	$t_D \approx 0.849 fm$	$n = 1$	$t_D \approx 0.749 fm$	$2\pi t_D \approx 1.7$
		$2\pi t_D \approx 1.403$		$2\pi t_D \approx 1.205$		$2\pi t_D \approx 1.063$	

## Equal Energy Density

$$\left\{ \left( T \approx 3^{\frac{-1}{4}} T_{QCD} \sim 189.75 Mev \right) \left( m = 1.4 Gev \right) \left( \sqrt{g_{YM}^2 N} = \sqrt{5.5} \right) \right\}$$

$\mu = 30 Mev$	$n = \frac{1}{3}$	$t_D \approx 1.723 fm$ $2\pi t_D \approx 1.408$	$n = \frac{2}{3}$	$t_D \approx 1.484 fm$ $2\pi t_D \approx 1.212$	$n = 1$	$t_D \approx 1.311 fm$ $2\pi t_D \approx 1.071$	$t_D \approx 2.1 fm$ $2\pi t_D \approx 1.717$
$\mu = 40 Mev$	$n = \frac{1}{3}$	$t_D \approx 1.530 fm$ $2\pi t_D \approx 1.251$	$n = \frac{2}{3}$	$t_D \approx 1.233 fm$ $2\pi t_D \approx 1.007$	$n = 1$	$t_D \approx 1.040 fm$ $2\pi t_D \approx 0.849$	

## مراجع و منابع

[1] A First Course In String Theory by : Barton Zwiebach Cambridge University Press 2009

[2] Particle Physics by : B.R.Martin & G.Shaw 3<sup>rd</sup> Edition

[3] Introduction To Elementary Particles by : David Jeffery Griffids

[4] The Little Book Of String Theory by : Steven S. Gubser Princeton University Press 2010

[5] بی تقصیر فدافن، کاظم، مطالعه خواص پلاسمای کوارک گلوئونی با استفاده از نظریه ریسمان، طرح پژوهشی (تیر ماه ۱۳۸۷) دانشگاه صنعتی شاهروود.

[6] بی تقصیر فدافن، کاظم، محاسبه تصحیحات وارد بر نیروی کششی از طریق مطالعه سیاهچاله گاوس - بونت دار، طرح پژوهشی (تیر ماه ۱۳۸۸) دانشگاه صنعتی شاهروود.

[7] Subir Sachdev , "What can gauge-gravity duality teach us about condensed matter physics? " [arXiv:1108.1197 v3](https://arxiv.org/abs/1108.1197)

[8] J. M. Maldacena, “The large N limit of superconformal field theories and supergravity,” Adv.Theor. Math. Phys. 2 (1998) 231 [Int. J. Theor. Phys. 38 (1999) 1113 ] [[arXiv:hep-th/9711200](https://arxiv.org/abs/hep-th/9711200)]

[9] Nabil Iqbal, Hong Liu, Márk Mezei "Lectures on holographic non-Fermi liquids and quantum phase transitions"[\[arXiv: hep-th /1110.3814 v1\]](https://arxiv.org/abs/hep-th/1110.3814)

[10] E. Witten, "Anti-de Sitter space and holography," Adv. Theor. Math. Phys. 2 (1998) 253 [[arXiv:hep-th/9802150](https://arxiv.org/abs/hep-th/9802150)].

[11] E. Witten, "Anti-de Sitter space, thermal phase transition, and confinement in gauge theories," Adv. Theor. Math. Phys. 2 (1998) 505 [[arXiv:hep-th/9803131](https://arxiv.org/abs/hep-th/9803131) ].

[12] C.P. Herzog, A. Karch, P. Kovtun, C. Kozcaz, L.G. Yaffe," Energy loss of a heavy quark moving through  $N=4$  supersymmetric Yang–Mills plasma" J. High Energy Phys. 0607, 013 (2006)

- [13] Steven S. Gubser "Comparing the drag force on heavy quarks in  $N = 4$  super Yang-Mills theory and QCD " Phys.Rev.D76:126003,2007 [arXiv: hep-th /0611272 v2].
- [14] M. R. Douglas and S. Kachru, "Flux compactification," Rev. Mod. Phys. 79 (2007) 733
- [15] Xian-Hui Ge , Yoshinori Matsuo , Fu-Wen -Shu , Sang-Jin Sin & Takuya Tsukioka "Density Dependence Of Transport Coefficients From Holographic Hydrodynamics" Prog.Theor.Phys.120:833-863,2008 [arXiv:hep-th/0806.44 60 V 2 – 7 Jul 2008]
- [16] K. B. Fadafan, "Charge effect and finite 't Hooft coupling correction on drag force and Jet Quenching Parameter," Eur. Phys. J. C. 68 (2010) 505 [arXiv: hep-th /0809.1336 ].
- [17] Quark – Gluon Plasma by : Kohsuke Yagi , Tetsuo Hatsuda , Yasuo Miake Cambridge University Press 2005
- [18] Chanyong Park , "Dissociation Of a Heavy Meson in the quark medium" PHYSICAL REVIEW D 81, 045009 (2010)
- [19] S.S. Gubser, "Drag force in AdS/CFT". Phys. Rev. D 74, 126005 (2006). [arXiv:hep-th/0605182 ]
- [20] Steven S. Gubser & Amos Yarom , "Pointlike Probes Of Superstring-Theoretic Superfluids" JHEP 1003:041,2010 [arXiv:hep-th/0908.1392 V 2 – 26 Aug 2009 ]
- [21] Kazem Bitaghsir Fadafan " , R2 curvature-squared corrections on drag force "JHEP 0812:051,2008 [arXiv:0803.2777 hep-th]
- [22] E.V. Shuryak," What RHIC experiments and theory tell us about properties of quark-gluon plasma?" Nucl. Phys. A 750, 64 (2005). [arXiv:hep-ph/0405066 ].
- [23] J. Casalderrey-Solana and D. Teaney, "Heavy quark diffusion in strongly coupled  $N = 4$  Yang Mills," Phys. Rev. D 74 (2006) 085012 [arXiv:hep-ph/0605199 ]

## **Abstract**

With using string theory and AdS/CFT correspondence, the extremal RN AdS black holes bring more attention in the strongly coupled condensed matter systems. In these studies the field theory is at zero temperature. In this thesis, we study energy loss of a moving heavy point particle. Although the temperature is zero, but the entropy is finite and we express the final results in terms of entropy and chemical potential. The relaxation time, friction coefficient and drag force are calculated, carefully. We also consider the gravitational corrections which are correspond to finite coupling corrections and find effect of them in the above parameters.



**Shahrood University of Technology  
Faculty of physics**

## **Master of Science Thesis**

# **On Energy Loss Of Heavy Quark using RN Black Holes**

**HASAN NEAZI**

Supervisors:  
**Dr.KAZEM BITAGHSIR FADAFAN**

**February – 2012**